

INSTITUTUL POLITEHNIC "TRAIAN VUIA" TIMISOARA

FACULTATEA DE CONSTRUCTII

Ing. GAVRIL TURZO

CONTRIBUTII LA STUDIUL MISCARII FLUIDELOR REALE

INCOMPRESIBILE IN REGIM TURBULENT PRIN

SEMIDIFUZOARE PLANE

T E Z A

pentru obținerea titlului de

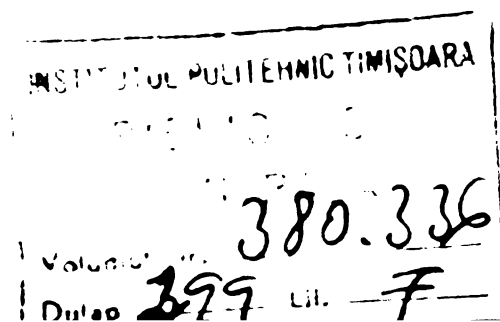
DOCTOR INGINER

Conducător științific

Prof.em.ing. VICTOR GHEORGHIU

BIBLIOTECA CENTRALĂ
UNIVERSITATEA "POLITEHNICA"
TIMIȘOARA

- 1978 -



P R E F A T A

Difuzoarele, definite ca domenii în care sensul mișcării coincide cu sensul creșterii secțiunii, sînt elemente constructive des întîlnite în construcția de turbomășini și motoare reactive, în construcții hidrotehnice, instalații de transport fluide ș.a.

Intrucît trecerea fluidelor prin domenii de tip difuzor este însoțită de pierderi energetice însemnate, studiul lor constituie o problemă de stringentă actualitate și din punct de vedere energetic.

Directivele Congresului al XI-lea al PCR, Programul privind măsurile suplimentare de dezvoltare economico-socială a României pînă în 1980, adoptat de către Conferința Națională a PCR din 7/9 decembrie 1977, accentuează sarcinile din domeniul cercetării științifice și dezvoltării tehnologice, al asimilării de produse și tehnologii noi, al valorificării superioare a resurselor energetice, prevăzînd o severă economie de energie termică, hidraulică, pneumatică etc., ridicarea randamentelor mașinilor, agregatelor, instalațiilor și utilajelor.

În acest sens, în spiritul tradițiilor școlii românești de mecanica fluidelor, lucrarea de față reprezintă o modestă contribuție în domeniul cercetării științifice teoretice și aplicate.

Domeniile de mișcare tip difuzor prezintă o mare varietate constructivă, iar studiul lor unitar cu modele fizico-matematice existente este dificil, în special în cazul mișcării turbulente.

În cadrul lucrării a fost abordat studiul mișcării fluidelor reale incompresibile în regim turbulent prin semidifuzoare plane, definite prin următoarele proprietăți: mișcarea fluidului este planparalelă și vectorul viteză își păstrează direcția pe una dintre granițele domeniului fluid.

Pornind de la ipoteza că diferențele între cîmpurile de vi-

INSTITUTUL DE RECHERȚE ȘI ÎNCALZIRE
1977

teză ale fluidului ideal și ale fluidului real în regim turbulent, cu excepția stratului limită, sînt neglijabile, în cadrul capitolelor II, III, IV; V se construiește un model al mișcării fluidului ideal incompresibil prin semidifuzoare plane.

În cadrul capitolelor VI, VII; VIII prin analiza fenomenologică și confruntare cu datele experimentale se separă și se stabilesc modelele matematice pentru funcțiile de pierderi energetice, în ipoteza fluidului real incompresibil, mișcare turbulentă.

În cadrul capitolului IX se calculează coeficienții de pierderi ξ pentru semidifuzoare plane, obținându-se astfel date neseemnate încă în literatura de specialitate.

În cadrul capitolului X se prezintă instalația experimentală, respectiv rezultatele încercărilor experimentale.

Capitolul XI prezintă concluziile cele mai importante și contribuțiile originale.

Autorul mulțumește pe această cale conducătorului științific, profesorului emerit inginer Victor Gheorghiu pentru îndrumarea și sprijinul acordat, de asemenea tuturor aceluia care l-au sprijinit într-o formă sau alta în realizarea tezei.

LISTA PRINCIPALELOR SIMBOLURI SI
NOTATII FOLOSITE IN LUCRARE

- A1 - lățimea conductei la intrarea în semidifuzor, [m] ;
A2 - lățimea conductei la ieșirea din semidifuzor, [m] ;
B - înălțimea semidifuzorului, [m] ;
LG - lungimea geometrică a semidifuzorului, [m] ;
LH - lungimea hidraulică a semidifuzorului, [m] ;
Z - coordonata complexă;
X,Y - coordonate carteziene;
 $H = \frac{A1}{A2}$ - lățimea adimensională la intrarea în semidifuzor;
VM1 - viteza medie la intrarea în semidifuzor, [m/s] ;
VM2 - viteza medie la ieșirea din semidifuzor, [m/s] ;
Q - debitul volumetric, [m³/s] ;
V(K,N) - viteza adimensională, raportată la viteza de la intrare;
VX(K,N), VY(K,N) - componentele vitezei adimensionale;
FI(N) - lungimea adimensională a liniei echipotențiale;
DPSIC(N), DPSID(N) - lungimile adimensionale ale liniilor de
curent;
DS(N) - arii adimensionale;
Q1, Q2 - exponenți ale funcției de distribuție tip Pearson I;
Γ, GA - circulația adimensională a vitezei;
VG(N) - viteza adimensională pe granița domeniului fluid;
S(K,N) - coordonata curbilinie adimensională;
S - aria zonei rotaționale;
p,P - presiunea, [N/m²] ;
ρ,RO - densitatea fluidului, [Kg/m³] ;
DPF, DPF1, DPF2 - funcții de presiune tip frecare cilindrică,
[N/m²];
τ - tensiunea tangențială, [N/m²] ;
λ, CPL - coeficientul pierderilor liniare;
K,R - rugozitatea absolută, [m];
Dh, DH - diametrul hidraulic, [m] ;
Re, RE - numărul lui Reynolds;
DPD - funcția de presiune tip divergență, [N/m²] ;
CFD - coeficient de presiune tip divergență;
DPP - funcția de presiune tip Pearson, [N/m²] ;
CPP - coeficient de presiune tip Pearson;

- Q_R - debitul zonei rotaționale, $[m^2/s]$;
- DPR - funcția de presiune tip rotațional, $[N/m^2]$;
- CPR - coeficientul de presiune tip rotațional;
- H - sarcina rotorului, [m] ;
- ω - viteza unghiulară, $[s^{-1}]$;
- Ω - rotorul vectorului de viteză, $[s^{-1}]$;
- CC, CD, CKC, CKD - coeficienți de corecție pentru viteză;
- ξ_{tot} - coeficientul de rezistență hidraulică totală al difuzorului;
- ξ_{fr} - coeficientul de rezistență hidraulică al difuzorului, datorită frecării;
- ξ_{dest} - coeficientul de rezistență hidraulică al difuzorului, datorită destinderii;
- α - unghiul de inclinare, [grade] ;
- ξ_p - diferența relativă între valorile teoretice și experimentale ale presiunii, raportată la energia cinetică de la intrarea în semidifuzor;

CAPITOLUL I.

INTRODUCERE

1.1. Stadiul actual al studiului mișcării fluidelor reale incompresibile în difuzoare.

Primele lucrări legate de studiul difuzoarelor pot fi semnificate încă de la sfârșitul secolului al XVIII-lea.

Cele mai vechi și totodată demne de semnalat lucrări în acest domeniu au fost efectuate de către Venturi (1791), respectiv Eytelwein (1801).

Lucrările experimentale ale lui Francis (1863) și Fliegner (1875) au avut ca obiect difuzoarele cu secțiune circulară. Fliegner pe baza experiențelor proprii a stabilit primele formule empirice pentru calculul pierderilor energetice ce au loc în difuzoare.

Pentru studiul mișcării fluidelor ideale în cazul difuzoarelor spațiale se folosește în general teoria potențialului rezultat prin suprapunerea unor mișcări simple date de o translație, surse, respectiv vîrtejuri distribuite de-a-lungul unor curbe [16] .

Mișcarea fluidelor ideale în difuzoare plane este o problemă tip Dirichlet, care de obicei se rezolvă cu ajutorul funcțiilor analitice [22],[30] .

Mișcarea fluidelor reale în regimul de curgere laminar este guvernată de ecuația lui Navier - Stokes. Rezolvarea acestei ecuații în cazul curgerii unui fluid viscos între doi pereți divergenți (difuzor plan) este dată în lucrările [41],[45] .

Avînd în vedere faptul că în majoritatea aplicațiilor practice regimurile de curgere în difuzoare sînt turbulente, analiza fenomenelor în acest regim prezintă o importanță deosebită, din care motiv majoritatea lucrărilor în acest domeniu se referă la acest regim de mișcare.

Mișcarea turbulentă este guvernată de ecuația lui Reynolds, a cărei aplicare prezintă dificultăți din cauza necunoașterii distribuției tensiunilor tangențiale datorate turbulenței. Ceea ce se cunoaște relativ bine în acest domeniu sînt mișcările în conducte cilindrice sau între pereți paraleli, respectiv cele

legate de teoria jeturilor turbulente.

Chiar într-o problemă relativ simplă în aparență cum este curgerea unui jet turbulent în vecinătatea unui perete curb, rezultatele sînt în fază de cercetări experimentale [5], [6], [36].

Intr-o lucrare relativ recentă [7] sînt date distribuțiile tensiunilor tangențiale datorate turbulenței, determinate experimental în cazul unor difuzoare, care încă nu sînt modelabile matematic.

Din motivele enumerate mai sus lucrările legate de studiul difuzoarelor în general au un caracter accentuat experimental.

Majoritatea lucrărilor în domeniul cercetării difuzoarelor descriu fenomenologic mișcarea, fără a o modela fizic și matematic.

În tratate clasice de mecanica fluidelor [2],[44],[49] se definesc noțiunile de randament ale difuzoarelor, respectiv de coeficient de pierderi energetic global.

În general sînt date în funcție de parametrii constructivi valorile coeficienților de pierderi energetici [33],[34],[35], respectiv variația randamentului [14],[45],[48], determinate experimental.

În unele lucrări [42],[47] sînt date variațiile coeficientului de presiune pe pereții difuzoarelor, iar lucrarea [33] prezintă pentru o gamă largă de difuzoare cîmpurile de viteze determinate experimental.

Avînd în vedere faptul că în aplicații practice majoritatea difuzoarelor sînt elemente componente ale unor mașini și instalații complexe, din care motiv în general nu este posibilă respectarea lungimii de liniștire în aval, deci realizarea cîmpului de viteză turbulent normal.

Din acest motiv în literatura de specialitate se găsesc foarte multe lucrări de acest gen, dintre care pot fi semnalate [3],[4],[8], care studiază atât teoretic, cît și experimental influența cîmpului de viteză de la ieșire din turbinele hidraulice asupra performanțelor tuburilor de aspirație, iar lucrările [12],[22],[23],[39] studiază experimental unele tipuri speciale de difuzoare, întîlnite în construcția ventilatoarelor, compresoarelor centrifugale și respectiv a turbinelor cu gaze.

Teoria jeturilor turbulente este domeniul cel mai vast de

voltat atât experimental cât și teoretic al mișcării turbulente. Datorită faptului că în cazul jeturilor în general mișcarea este de tip difuzor, într-o serie de lucrări, ca de exemplu [1],[11],[15],[31],[32],[46],[50] sînt prezentate studii legate de mișcări tip difuzor. De multe ori rezolvarea problemei nu se poate face numai cu teoria jeturilor turbulente, ci numai combinat cu modele de mișcări ale fluidului ideal. Aceste lucrări însă tratează numai acele cazuri cînd difuzorul este de tipul lărgire bruscă de secțiune.

Cercetări legate de studiul difuzoarelor în România au fost făcute în special la Institutul Politehnic "Traian Vuia" din Timișoara.

Lucrările [3],[4],[8],[9],[10] abordează studiul teoretic și experimental ale tuburilor de aspirație, ținînd cont de influența cîmpului de viteză la ieșire din turbinele hidraulice asupra performanțelor acestora.

Lucrările [16],[17],[18],[19],[20],[21] grupează studiile teoretice și experimentale legate de ajutajele convergent - divergente folosite la ventilele de admisie ale turbinelor cu abur.

Lucrările [26],[27],[28],[29] studiază teoretic și experimental ajutajele convergent - divergente (tip Venturi) avînd rolul de conducte de golire la baraje.

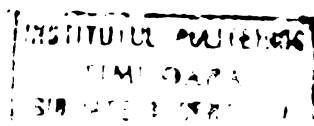
Semidifuzoarele plane sînt cele mai simple difuzoare din punct de vedere fenomenologic, datorită faptului că în cazul lor poziția zonei mișcării rotaționale rămîne fixă.

Studii sau cercetări experimentale legate de semidifuzoarele plane nu sînt semnalate în literatura de specialitate consultată.

1.2. Modelul fizic al mișcării fluidelor reale incompresibile prin semidifuzoare plane.

Un semidifuzor plan se definește prin următoarele proprietăți:

- a. mișcarea fluidului este plan paralelă;
- b. vectorul viteză își păstrează direcția pe una dintre granițele domeniului fluid.



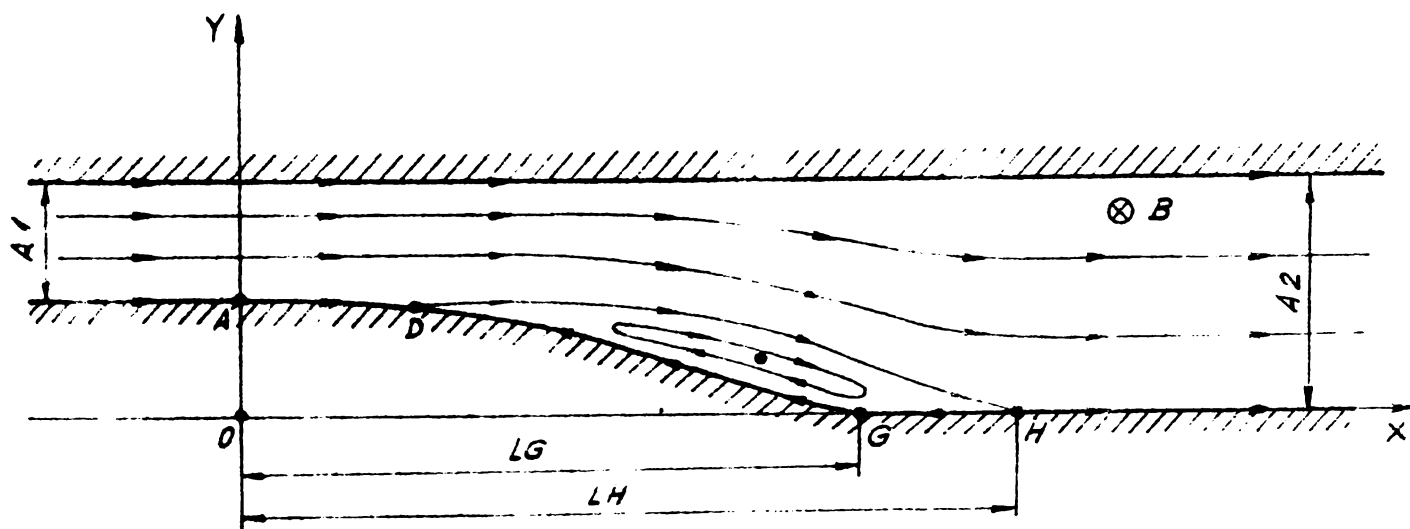


Fig.1.1

Notațiile folosite în figura 1.1 au următoarele semnificații:

- A_1 - lățimea conductei la intrarea în semidifuzor;
- A_2 - lățimea conductei la ieșirea din semidifuzor;
- B - înălțimea semidifuzorului;
- LG - lungimea geometrică a semidifuzorului;
- LH - lungimea hidraulică a semidifuzorului.

În cadrul lucrării a fost studiată mișcarea fluidelor reale incompresibile prin semidifuzoare plane în regimul de curgere turbulent. Rezolvarea problemei plecând de la ecuația diferențială a mișcării turbulente este dificilă, din cauza necunoașterii legilor de distribuție a tensiunilor tangențiale.

Din acest motiv a fost adoptat următorul model fizic:

a. cimpul de viteză în afara zonei rotaționale coincide cu cimpul de viteză al fluidului ideal în mișcarea plană irotațională, iar în zona rotațională mișcarea este indusă de curentul potențial exterior, vitezele crescând parabolic din centrul de greutate a zonei rotaționale spre graniță;

b. analizând comparativ calculele teoretice și rezultatele experimentale obținute prin măsurarea presiunilor pe pereții rigizi, se determină funcțiile de pierderi hidraulice în vederea obținerii funcției reale de distribuție a presiunii.

Din punct de vedere matematic, zona mișcării potențiale este o fîșie infinită, lărgită local, iar zona mișcării rotaționale este un triunghi curbiliniu.

Rezolvarea problemei mișcării potențiale în fîșie infinită

lărgită local, avînd în vedere faptul că o porțiune din granița domeniului poate să fie o curbă oarecare, se poate face prin două metode:

- Metoda directă care rezolvă problema în planul fizic și care în final se reduce la un sistem de ecuații algebrice, soluția fiind o matrice de valori numerice;

- Metoda indirectă, analitică, care, prin metoda transformărilor conforme aproximative, reduce rezolvarea problemei în semiplanul superior.

În cadrul lucrării a fost adoptată metoda analitică, folosind transformările Λ , prezentată în lucrarea [25].

Pentru rezolvarea problemei mișcării în zona rotațională există în literatură formulări și metode numerice de rezolvare [1],[24],[31],[37], care se referă însă la domenii sau cazuri relativ simple.

În cadrul lucrării se încearcă, folosind metoda analitică, construirea unui model de mișcare în zona rotațională.

Deși metodele de calcul adoptate sînt metode analitice, avînd în vedere volumul mare de calcul, modelele matematice au fost transcrise în limbajul FORTRAN și rulate pe calculatorul FELIX C-256.

Pentru programarea calculelor, ca bibliografie de bază a fost folosită lucrarea [40].

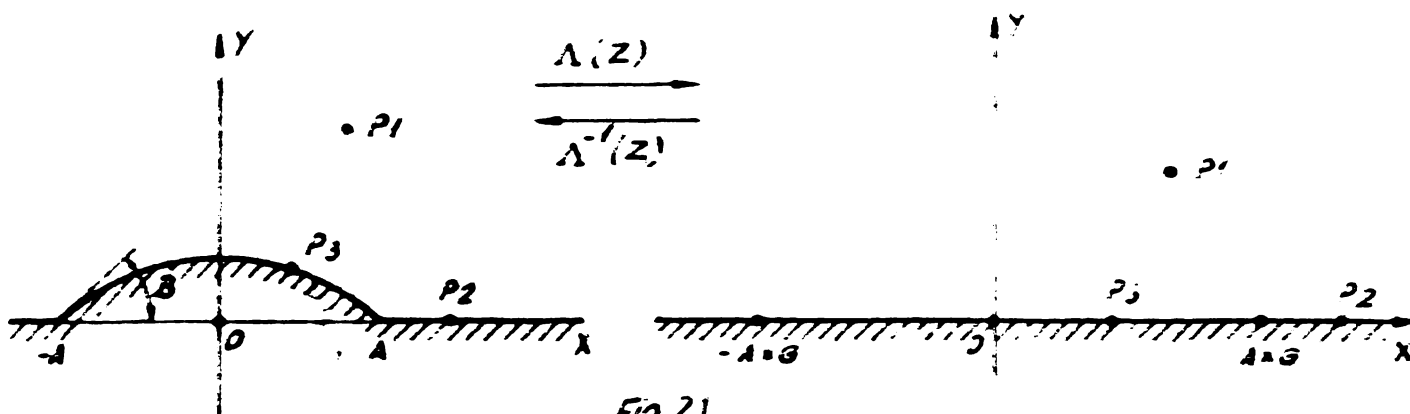
CAPITOLUL II

TRANSFORMAREA CONFORMA APROXIMATIVA A UNUI DOMENIU
APROXIMATIV SEMIPLAN PE SEMIPLANUL SUPERIOR
(METODA TRANSFORMĂRILOR Λ SUCCESIVE)

Metoda transformărilor Λ succesive este prezentată amănunțit în lucrarea [25].

În cele ce urmează se prezintă principiul de lucru și formulele de calcul.

2.1. Transformarea conformă a unui domeniu semiplan cu o
decupare sub forma unui segment de cerc pe semiplanul
superior.



Introducând notația: $G = \frac{\pi}{\pi-B}$, funcția care realizează transformarea directă este:

$$\Lambda(z): \quad z = A.G \frac{1 + \left(\frac{z-A}{z+A}\right)^G}{1 - \left(\frac{z-A}{z+A}\right)^G} \quad (2.1)$$

Separind părțile reale și cele imaginare, pentru cele trei tipuri de puncte P1, P2, P3 rezultă următoarele formule de calcul:

$$P1: \quad RO1 = \frac{(X+A)^2 + Y^2}{4.A} ; \quad \left[\begin{array}{l} RO = \sqrt{1 - \frac{X}{RO1}} \\ TE = ARCTG\left(\frac{Y}{2 \cdot RO1 - X - A}\right) \end{array} \right. ;$$

$$\left[\begin{array}{l} S = 1 - RO^G \cdot \cos(G \cdot TE) \\ T = RO^G \cdot \sin(G \cdot TE) \end{array} \right. ; \quad GO = \frac{2 \cdot A \cdot G}{S^2 + T^2} ; \quad \left[\begin{array}{l} X = GO \cdot S - A \cdot G \\ Y = GO \cdot T \end{array} \right.$$

$$P2: \quad RO = \left| \frac{X-A}{X+A} \right| ; \quad \begin{cases} X = A \cdot G \frac{1+RO^G}{1-RO^G} \\ Y=0 \end{cases}$$

$$P3: \quad RO1 = \frac{(X+A)^2 + Y^2}{4 \cdot A} ; \quad RO = \sqrt{1 - \frac{X}{RO1}} ; \quad \begin{cases} X = A \cdot G \frac{1-RO^G}{1+RO^G} \\ Y=0 \end{cases}$$

Transformarea inversă va fi realizată de către funcția:

$$\Lambda^{-1}(Z): \quad Z = A \frac{1 + \left(\frac{Z-A \cdot G}{Z+A \cdot G} \right)^{1/G}}{1 - \left(\frac{Z-A \cdot G}{Z+A \cdot G} \right)^{1/G}} \quad (2.2)$$

Separând părțile reale și cele imaginare, pentru cele trei tipuri de puncte P1, P2, P3 rezultă următoarele formule de calcul:

$$P1: \quad RO1 = \frac{(X+A \cdot G) + Y^2}{4 \cdot A \cdot G} ; \quad \begin{cases} RO = \sqrt{1 - \frac{X}{RO1}} \\ TF = \text{ARCTG} \left(\frac{Y}{2 \cdot RO1 - X - A \cdot G} \right) \end{cases} ;$$

$$\begin{cases} S = 1 - RO^{1/G} \cdot \cos(TF/G) \\ T = RO^{1/G} \cdot \sin(TF/G) \end{cases} ; \quad GO = \frac{2 \cdot A}{S^2 + T^2} ; \quad \begin{cases} X = GO \cdot S - A \\ Y = GO \cdot T \end{cases}$$

$$P2: \quad RO = \left| \frac{X-A \cdot G}{X+A \cdot G} \right| ; \quad \begin{cases} X = A \cdot G \frac{1+RO^{1/G}}{1-RO^{1/G}} \\ Y=0 \end{cases}$$

$$P3: \quad RO = \left| \frac{X-A \cdot G}{X+A \cdot G} \right| ; \quad \begin{cases} S = 1 - RO^{1/G} \cdot \cos(\Pi/G) \\ T = RO^{1/G} \cdot \sin(\Pi/G) \end{cases} ;$$

$$GO = \frac{2 \cdot A}{S^2 + T^2} ; \quad \begin{cases} X = GO \cdot S - A \\ Y = GO \cdot T \end{cases}$$

2.2. Transformarea conformă aproximativă a unui domeniu aproximativ semiplan pe semiplanul superior prin metoda transformărilor Λ succesive.

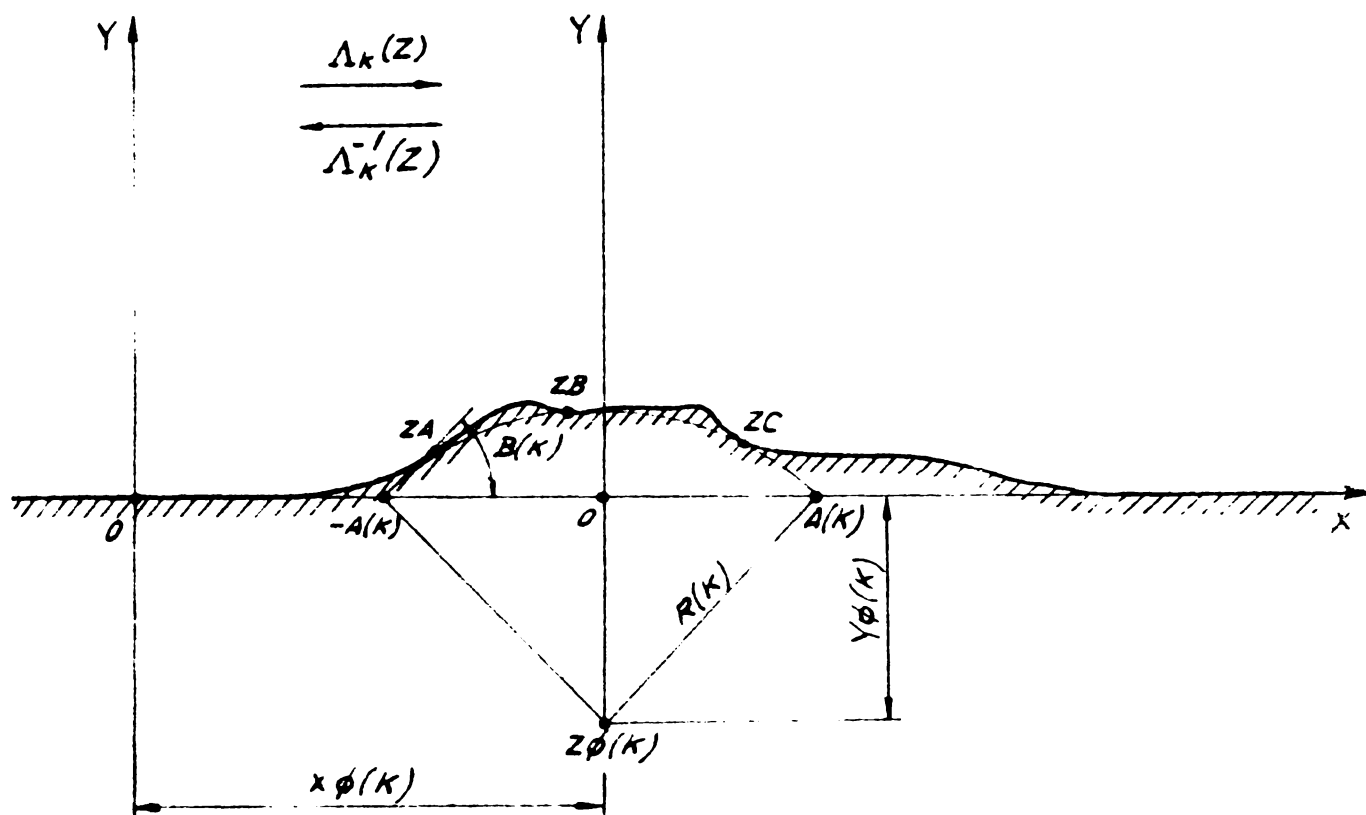


Fig. 2.2.

Granița domeniului dat diferind de axa OX numai pe o porțiune finită se alege un număr finit de puncte pe porțiunea respectivă, care vor fi reduse succesiv pe axa OX prin transformări Λ_k .

Pentru a determina parametrii arcului de cerc ai transformării Λ_k , în cadrul lucrării apar următoarele cazuri posibile:

1). Date: $B(k) = \pi/2$; $ZO(XO(k); YO(k)=0)$; $R(k)$

Se calculează: $A(k)=R(k)$; $G(k) = \frac{\pi}{\pi-B(k)}$

2). Date: $Z_A(X_A; Y_A=0)$; $B(k)$; $R(k)$

Se calculează: $G(k) = \frac{\pi}{\pi-B(k)}$; $A(k)=R(k) \cdot \sin(B(k))$;

$XO(k)=X_A+A(k)$; $YO(k)=-R(k) \cdot \cos(B(k))$

3). Date: ZA(XA; YA=0); ZB(XB; YB); B(K)

Se calculează:

$$G(K) = \frac{\pi}{\pi - B(K)} ; R(K) = \frac{(XB - XA)^2 + YB^2}{2 \cdot ((XB - XA) \cdot \sin(B(K)) - YB \cdot \cos(B(K)))}$$

$$A(K) = R(K) \cdot \sin(B(K)); X_0(K) = XA + A(K); Y_0(K) = -R(K) \cdot \cos(B(K))$$

4). Date: ZA(XA; YA); ZB(XB; YB); ZC(XC; YC)

Se calculează:

$$X_0(K) = \frac{YA \cdot (XB^2 + YB^2 - XC^2 - YC^2) + YB \cdot (XC^2 + YC^2 - XA^2 - YA^2) + YC \cdot (XA^2 + YA^2 - XB^2 - YB^2)}{2 \cdot (YA \cdot (XB - XC) + YB \cdot (XC - XA) + YC \cdot (XA - XB))}$$

$$Y_0(K) = \frac{XA \cdot (XB^2 + YB^2 - XC^2 - YC^2) + XB \cdot (XC^2 + YC^2 - XA^2 - YA^2) + XC \cdot (XA^2 + YA^2 - XB^2 - YB^2)}{2 \cdot (XA \cdot (YB - YC) + XB \cdot (YC - YA) + XC \cdot (YA - YB))}$$

$$R(K) = \sqrt{(XA - X_0(K))^2 + (YA - Y_0(K))^2} ; A(K) = \sqrt{R^2(K) - Y_0^2(K)}$$

$$B(K) = \text{ARCTG} \left(- \frac{A(K)}{Y_0(K)} \right) ; G(K) = \frac{\pi}{\pi - B(K)}$$

Trecerea de la domeniul dat la semiplanul superior se va realiza prin N transformări Λ_K , respectiv trecerea inversă prin N transformări Λ_K^{-1} , adică transformarea rezultantă va fi produsul transformărilor Λ_K , respectiv ale transformărilor Λ_K^{-1} .

Funcția de transformare directă va fi:

$$\prod_{K=1}^N \Lambda_K(Z) : Z = \prod_{K=1}^N \Lambda_K(Z) \quad (2.3)$$

$$\Lambda_K(Z) : Z = A(K) \cdot G(K) \frac{1 + \left(\frac{Z - X_0(K) - A(K)}{Z - X_0(K) + A(K)} \right)^{G(K)}}{1 - \left(\frac{Z - X_0(K) - A(K)}{Z - X_0(K) + A(K)} \right)^{G(K)}} \quad (2.4)$$

Separând părțile reale și cele imaginare, pentru cele trei tipuri de puncte P1, P2, P3, rezultă următoarele formule de calcul:

$$P1: RO1 = \frac{(X-XO(K)+A(K))^2+Y^2}{4 \cdot A(K)} ; \begin{cases} RO = \sqrt{1 - \frac{X-XO(K)}{RO1}} \\ TE = \text{ARCTG} \left(\frac{Y}{2 \cdot RO1 - X + XO(K) - A(K)} \right) \end{cases}$$

$$\begin{cases} S = 1 - RO^{G(K)} \cdot \text{COS}(G(K) \cdot TE) \\ T = RO^{G(K)} \cdot \text{SIN}(G(K) \cdot TE) \end{cases} ; GO = \frac{2 \cdot A(K) \cdot G(K)}{S^2 + T^2} ; \begin{cases} X = XO \cdot S - A(K) \cdot G(K) \\ Y = GO \cdot T \end{cases}$$

$$P2: RO = \left| \frac{X-XO(K)-A(K)}{X-XO(K)+A(K)} \right| ; \begin{cases} X = A(K) \cdot G(K) \cdot \frac{1+RO^{G(K)}}{1-RO^{G(K)}} \\ Y = 0 \end{cases}$$

$$P3: RO1 = \frac{(X-XO(K)+A(K))^2+Y^2}{4 \cdot A(K)} ; RO = \sqrt{1 - \frac{X-XO(K)}{RO1}} ; \begin{cases} X = A(K) \cdot G(K) \cdot \frac{1-RO^{G(K)}}{1+RO^{G(K)}} \\ Y = 0 \end{cases}$$

Funcția de transformare inversă va fi:

$$\prod \Lambda_K^{-1}(Z): \quad Z = \prod_{K=N}^1 \Lambda_K^{-1}(Z) \quad (2.5)$$

$$\Lambda_K^{-1}: \quad Z = XO(K) + A(K) \frac{1 + \left(\frac{Z-A(K) \cdot G(K)}{Z+A(K) \cdot G(K)} \right)^{1/G(K)}}{1 - \left(\frac{Z-A(K) \cdot G(K)}{Z+A(K) \cdot G(K)} \right)^{1/G(K)}} \quad (2.6)$$

Separind părțile reale și cele imaginare, pentru cele trei tipuri de puncte P1, P2, P3, rezultă următoarele formule de calcul:

$$P1: RO1 = \frac{(X+A(K) \cdot G(K))^2+Y^2}{4 \cdot A(K) \cdot G(K)} ; \begin{cases} RO = \sqrt{1 - \frac{X}{RO1}} \\ TE = \text{ARCTG} \left(\frac{Y}{2 \cdot RO1 - X - A(K) \cdot G(K)} \right) \end{cases} ;$$

$$\begin{cases} S = 1 - RO^{1/G(K)} \cdot \text{COS}(TE/G(K)) \\ T = RO^{1/G(K)} \cdot \text{SIN}(TE/G(K)) \end{cases} ; GO = \frac{2 \cdot A(K)}{S^2 + T^2} ; \begin{cases} X = XO(K) + GO \cdot S - A(K) \\ Y = GO \cdot T \end{cases}$$

$$P2: RO = \left| \frac{X-A(K) \cdot G(K)}{X+A(K) \cdot G(K)} \right| ; \begin{cases} X = XO(K) + A(K) \cdot \frac{1+RO^{1/G(K)}}{1-RO^{1/G(K)}} \\ Y = 0 \end{cases}$$

$$P3: \quad R0 = \left| \frac{X-A(K) \cdot G(K)}{X+A(K) \cdot G(K)} \right| ; \quad \begin{cases} S = 1 - R0^{1/G(K)} \cdot \cos(\pi/G(K)) \\ T = R0^{1/G(K)} \cdot \sin(\pi/G(K)) \end{cases} ;$$

$$G0 = \frac{2 \cdot A(K)}{S^2 + T^2} ; \quad \begin{cases} X = X0(K) + G0 \cdot S - A(K) \\ Y = G0 \cdot T \end{cases}$$

CAPITOLUL III

STUDIUL MISCĂRII FARA DESPRINDERE A FLUIDULUI IDEAL
INCOMPRESIBIL IN SEMIDIFUZOARE PLANE

3.1. Transformarea conformă aproximativă a unei fîșii
lărgită local pe semiplanul superior.

In vederea generalizării soluției, calculele se vor face cu următoarele mărimi adimensionale:

$$A_1 = \frac{A_1}{A_2} = H, \quad A_2 = \frac{A_2}{A_2} = 1, \quad VM_1 = \frac{VM_1}{VM_1} = 1, \quad VM_2 = \frac{VM_2}{VM_1}$$

In zona lărgirii, pe granița curbă a domeniului (figura 3.1) se alege un număr finit de puncte primare.

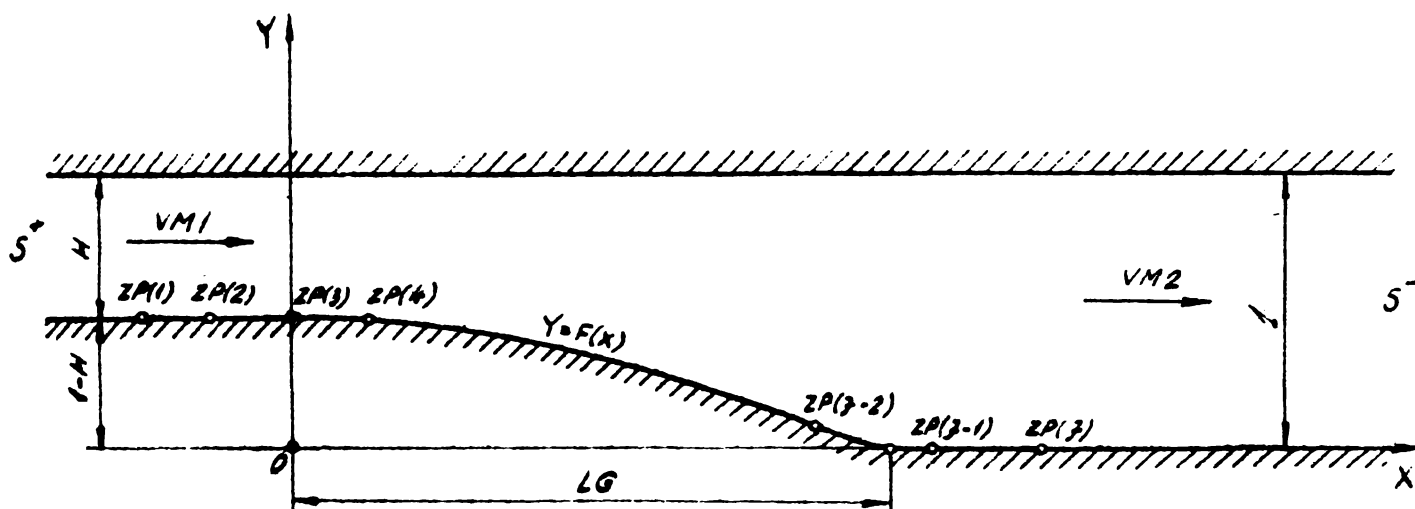


Fig 3.1.

Aplicînd transformarea:

$$E(Z): \quad Z = e^{\pi \cdot z}, \quad (3.1)$$

$$X = e^{\pi \cdot X} \cdot \cos(\pi \cdot Y),$$

$$Y = e^{\pi \cdot X} \cdot \sin(\pi \cdot Y)$$

fîșia infinită, lărgită local, devine domeniul aproximativ semiplan (figura 3.2).

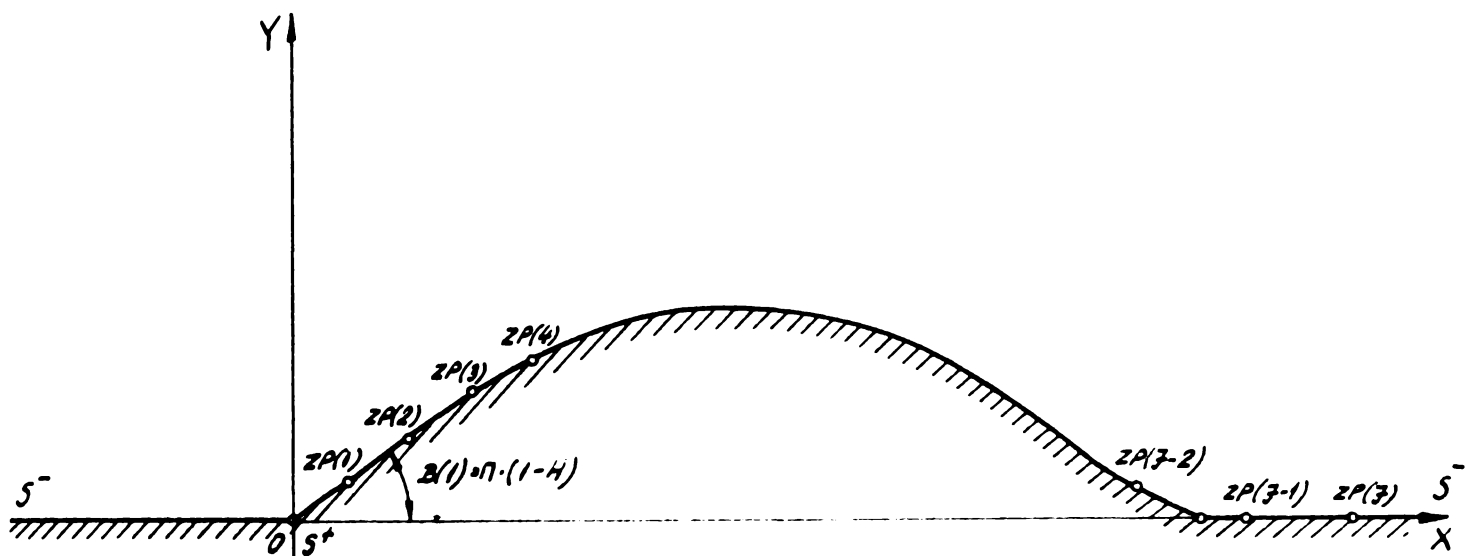


Fig. 3.2.

Aplicând transformarea:

$$\Lambda_K(z): \quad z = \prod_{K=1}^N \Lambda_K(z) \quad (3.2)$$

domeniul din figura 3.2 se transformă pe semiplanul superior (figura 3.3):

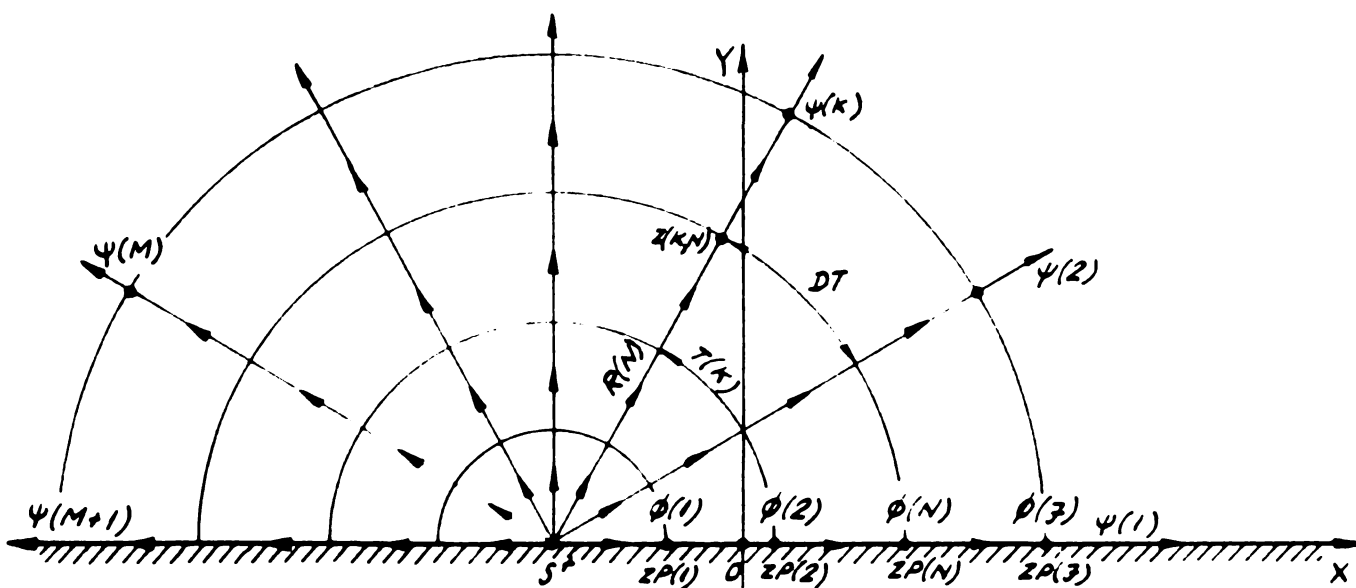


Fig 3.3

380336
299 F

In semiplanul superior mișcarea va fi descrisă de funcția [13]:

$$F(Z) = \frac{Q}{2 \cdot \Pi} \operatorname{Ln}(Z - XS^+) \quad (3.2)$$

Avînd în vedere că:

$$Q = 2 \cdot VM_1 \cdot H = 2 \cdot H,$$

rezultă:

$$F(Z) = \frac{H}{\Pi} \cdot \operatorname{Ln}(Z - XS^+)$$

Notînd:

$$Z(K, N) - XS^+ = R(N) \cdot e^{iT(K)},$$

rezultă:

$$\phi(N) = \frac{H}{\Pi} \operatorname{Ln}R(N), \quad \psi(K) = \frac{H}{\Pi} T(K)$$

Alegînd un număr de $M+1$ linii de curent, rezultă:

$$\Delta T = \frac{\Pi}{M}, \quad \Delta \psi = \frac{H}{\Pi} \cdot \Delta T, \quad \Delta \psi = \frac{H}{M}$$

Coordonatele punctelor rețelei din semiplanul superior se calculează cu relațiile:

$$X(K, N) = XS^+ + (XP(N) - XS^+) \cdot \cos\left(\frac{K-1}{M} \cdot \Pi\right), \quad (3.4)$$

$$Y(K, N) = (XP(N) - XS^+) \cdot \sin\left(\frac{K-1}{M} \cdot \Pi\right) \quad (3.5)$$

3.2. Calculul mărimilor geometrice și cinematice ale mișcării fără desprindere a fluidului ideal incompresibil în semidifuzoare plană.

Avînd determinate pe semiplanul superior punctele $Z(K, N)$, coordonatele punctelor omoloage, din planul semidifuzorului se calculează aplicînd transformările inverse:

$$\Pi \Lambda_K^{-1}(Z): \quad Z = \prod_{K=N}^1 \Lambda_K^{-1}(\dot{Z}), \quad (3.6)$$

$$L(Z): \quad Z = \frac{1}{\Pi} \operatorname{Ln}Z \quad (3.7)$$

$$\left[\begin{array}{l} R = \sqrt{X^2 + Y^2} \\ TE = \operatorname{ARCTG}(Y/X) \end{array} \right. ; \quad \left[\begin{array}{l} X = \frac{1}{\Pi} \operatorname{Ln}R \\ Y = \frac{TE}{\Pi} \end{array} \right.$$

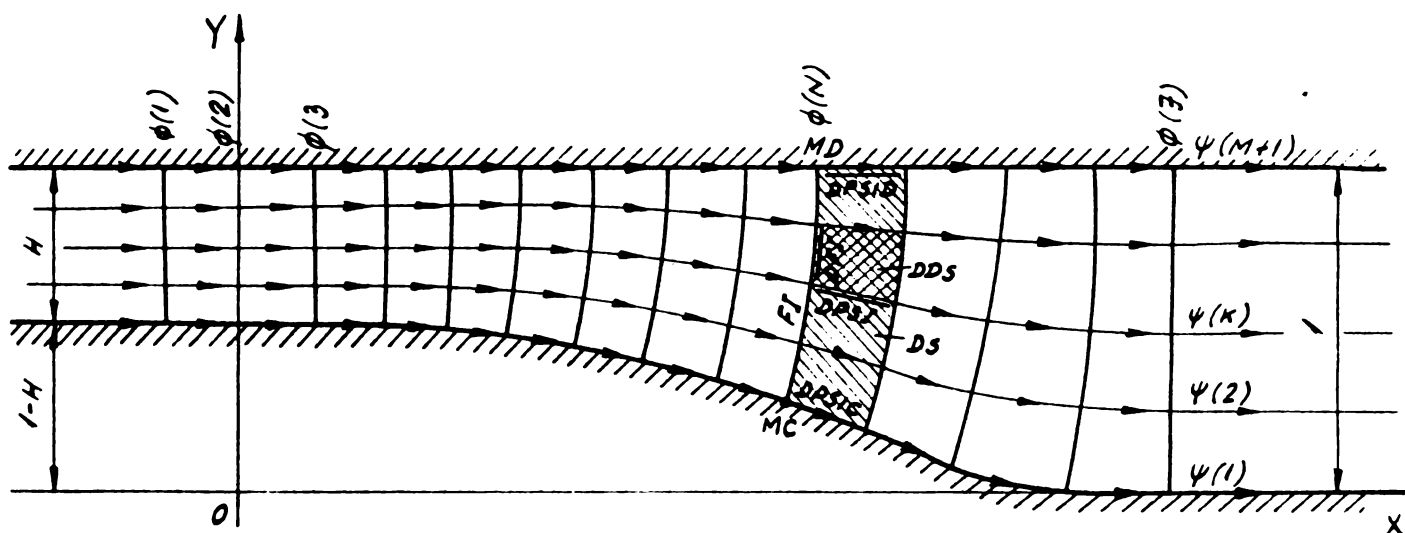


Fig. 3.4.

Pentru calculul vitezelor în planul semidifuzorului se folosește formula de definiție a vitezei complexe [1⁴] :

$$W = VX - iVY = \lim_{\Delta Z \rightarrow 0} \frac{F(Z + \Delta Z) - F(Z)}{\Delta Z} \approx \frac{\Delta \phi + i\Delta \psi}{\Delta Z} ;$$

$$W = i \frac{\Delta \psi}{\Delta Z} = i \frac{\Delta \psi}{\Delta X + i\Delta Y} = \Delta \psi \frac{\Delta Y}{\Delta X^2 + \Delta Y^2} + i \cdot \Delta \psi \frac{\Delta X}{\Delta X^2 + \Delta Y^2} ;$$

$$VX(K, N) = \frac{H}{M} \frac{Y(K+1, N) - Y(K, N)}{(X(K+1, N) - X(K, N))^2 + (Y(K+1, N) - Y(K, N))^2} ; \quad (3.8)$$

$$VY(K, N) = - \frac{H}{M} \frac{X(K+1, N) - X(K, N)}{(X(K+1, N) - X(K, N))^2 + (Y(K+1, N) - Y(K, N))^2} ; \quad (3.9)$$

$$V(K, N) = \sqrt{VX^2(K, N) + VY^2(K, N)} \quad (3.10)$$

În vederea calculării distribuției reale a presiunii este necesară cunoașterea următoarelor funcții:

$$FI(N) = \int_{MC}^{MD} dFI = \sum_{K=1}^M DFI(K, N),$$

$$FI(N) = \sum_{K=1}^M \sqrt{(X(K+1, N) - X(K, N))^2 + (Y(K+1, N) - Y(K, N))^2} ; \quad (3.11)$$

$$DPSIC(N) = \sqrt{(X(1,N+1) - X(1,N))^2 + (Y(1,N+1) - Y(1,N))^2}; \quad (3.12)$$

$$DPSID(N) = \sqrt{(X(M+1,N+1) - X(M+1,N))^2 + (Y(M+1,N+1) - Y(M+1,N))^2} \quad (3.13)$$

$$DS(N) = \int_{MC}^{MD} dFI \cdot dPSI = \sum_{K=1}^M DFI(K,N) \cdot DPSI(K,N),$$

$$DS(N) = \sum_{K=1}^M \sqrt{(X(K+1,N) - X(K,N))^2 + (Y(K+1,N) - Y(K,N))^2} \cdot \sqrt{((X(K,N+1) - X(K,N))^2 + (Y(K,N+1) - Y(K,N))^2)} \quad (3.14)$$

Având în vedere volumul mare de calcul numeric, modelele matematice prezentate, au fost transpuse în limbajul FORTRAN, calculele efectuându-se pe un calculator FELIX C-256.

Schema logică, care a servit ca bază pentru realizarea programului de calcul este prezentată în cadrul capitolului V, paragraful 5,1.

CAPITOLUL IV

STUDIUL MISCĂRII CU DESPRINDERE A FLUIDULUI IDEAL
INCOMPRESIBIL IN SEMIDIFUZOARE PLANE

4.1. Determinarea ecuației curbei de lărgire a domeniului
mișcării potențiale.

Modelul mișcării în semidifuzorul plan cu desprindere este următorul: o mișcare plană potențială într-un domeniu de forma unei fișii infinite, lărgită local, care induce o mișcare rotațională într-un domeniu de forma unui triunghi curbiliniu (figura 4.1).

În cadrul lucrării au fost studiate acele semidifuzoare plane pentru care punctul de desprindere coincide cu începutul zonei de lărgire.

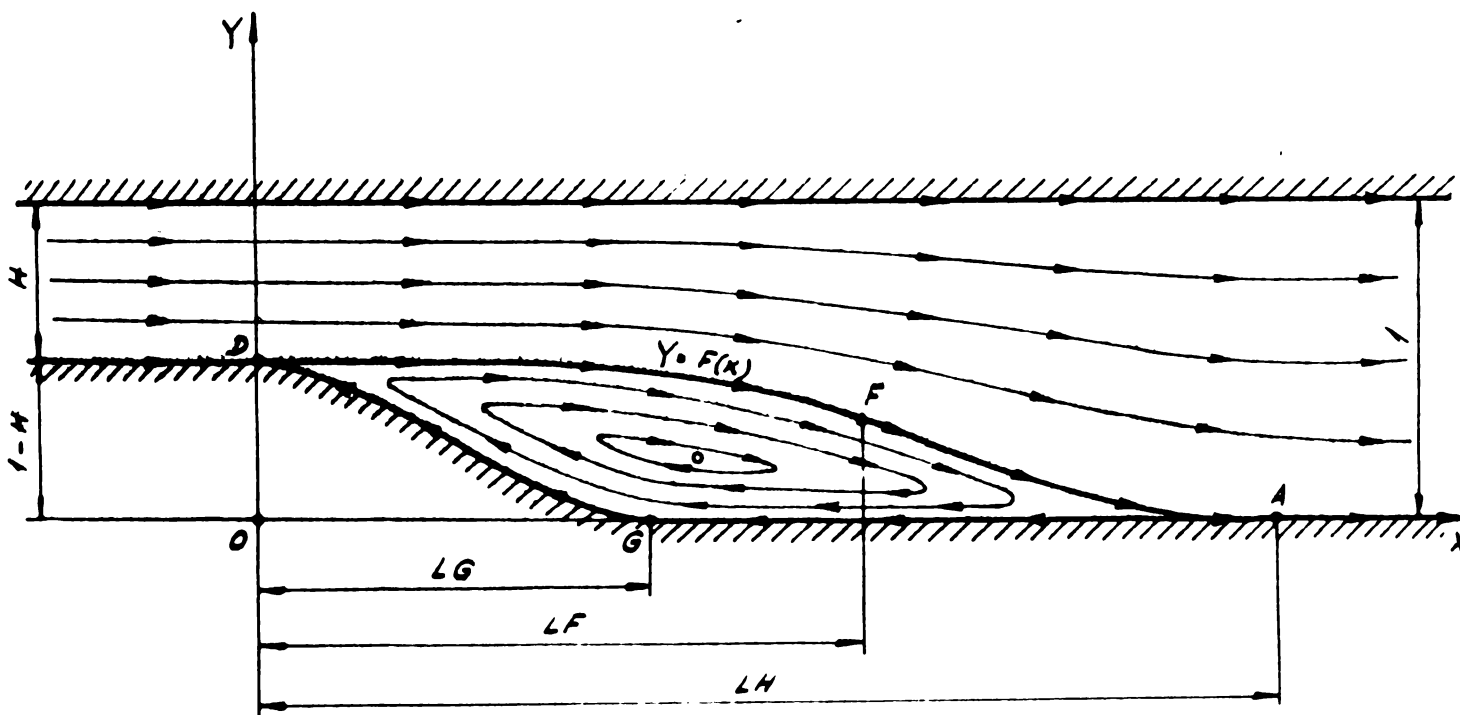


Fig. 4.1

Ecuția curbei de lărgire trebuie să îndeplinească următoarele condiții:

- 1, $F'(X) \leq 0$, $X \in [0, LH]$
- 2, $F(0)=1-H$, $F'(0)=0$, $F''(0)=0$;
- 3, $F(LH)=0$, $F'(LH)=0$; $F''(LH)=0$.

Condițiile impuse derivatelor funcției $F(X)$ sînt îndeplinite de curbele de distribuție de tip Pearson I.

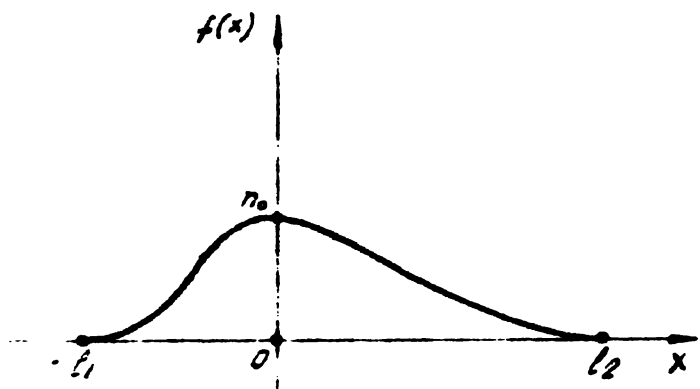


Fig. 4.2

După [38], aceste curbe de distribuție au ecuația:

$$f(x) = n_0 \left(1 + \frac{x}{l_1}\right)^{q_1} \left(1 - \frac{x}{l_2}\right)^{q_2} \quad (4.1)$$

$$q_1 > 0, \quad q_2 > 0.$$

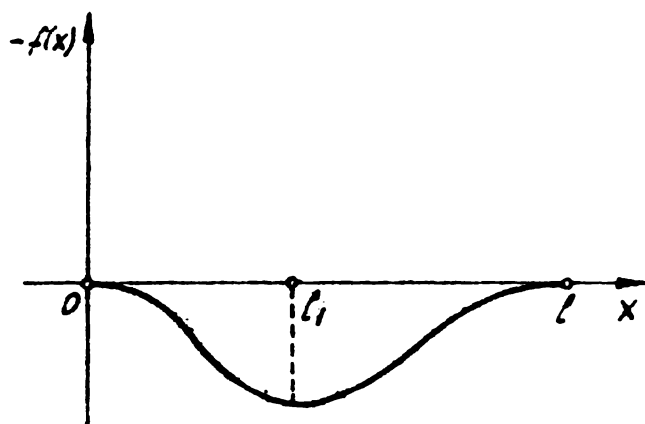


Fig. 4.3

Efectuind schimbarea de variabilă:

$$X = x - l_1, \quad l_2 \neq 1 - l_1$$

Rezultă:

$$-f(X) = - \frac{n_0}{l_1^{q_1} \cdot (1 - l_1)^{q_2}} \cdot X^{q_1} \cdot (1 - X)^{q_2}$$

Aplicând înlocuirile:

$$-f(X) = F'(X); \quad n_0 = P; \quad l_1 = LF; \quad l = LH; \quad q_1 = Q1; \quad q_2 = Q2,$$

rezultă:

$$F'(X) = - \frac{P}{LF^{Q1} \cdot (LH - LF)^{Q2}} \cdot X^{Q1} \cdot (LH - X)^{Q2}$$

Prin integrare rezultă:

$$Y = F(X) = - \frac{P}{LF^{Q1} \cdot (LH - LF)^{Q2}} \cdot \int_0^X X^{Q1} \cdot (LH - X)^{Q2} \cdot dx + C$$

În cazul $X=0$; $Y=1-H$, rezultă $C=1-H$

Din condiția $X=LH$; $Y=0$, rezultă:

$$\frac{P}{LF^{Q1} \cdot (LH-LF)^{Q2}} = \frac{1-H}{\int_0^{LH} X^{Q1} \cdot (LH-X)^{Q2} \cdot dX}$$

Ecuția curbei de lărgire va fi:

$$Y=F(X)=(1-H) \cdot \left(1 - \frac{\int_0^X X^{Q1} \cdot (LH-X)^{Q2} \cdot dX}{\int_0^{LH} X^{Q1} \cdot (LH-X)^{Q2} \cdot dX} \right) \quad (4.2)$$

Cele două domenii: a mișcării potențiale din fîșia infinită, lărgită local și a mișcării rotaționale, se racordează geometric și cinematic de-a lungul curbei de lărgire $Y=F(X)$.

Racordarea cinematică se realizează impunînd aceleași valori pentru funcția de viteză de-a lungul curbei de lărgire $Y=F(X)$.

Avînd în vedere faptul că curenul potențial generează mișcarea rotațională, prima dată se face studiul mișcării potențiale în fîșia infinită, lărgită local.

Cunoscînd astfel funcția de viteză de-a lungul curbei de lărgire, în a doua etapă se face studiul mișcării în zona rotațională.

4.2. Studiul mișcării în zona potențială a semidifuzorului plan cu desprindere.

Mișcarea în zona potențială a semidifuzorului plan cu desprindere se tratează prin metoda expusă în cadrul capitolului III.

4.3. Studiul mișcării în zona rotațională a semidifuzorului plan cu desprindere.

4.3.1. Considerații generale.

Zona mișcării rotaționale are forma unui triunghi curbiliniu.

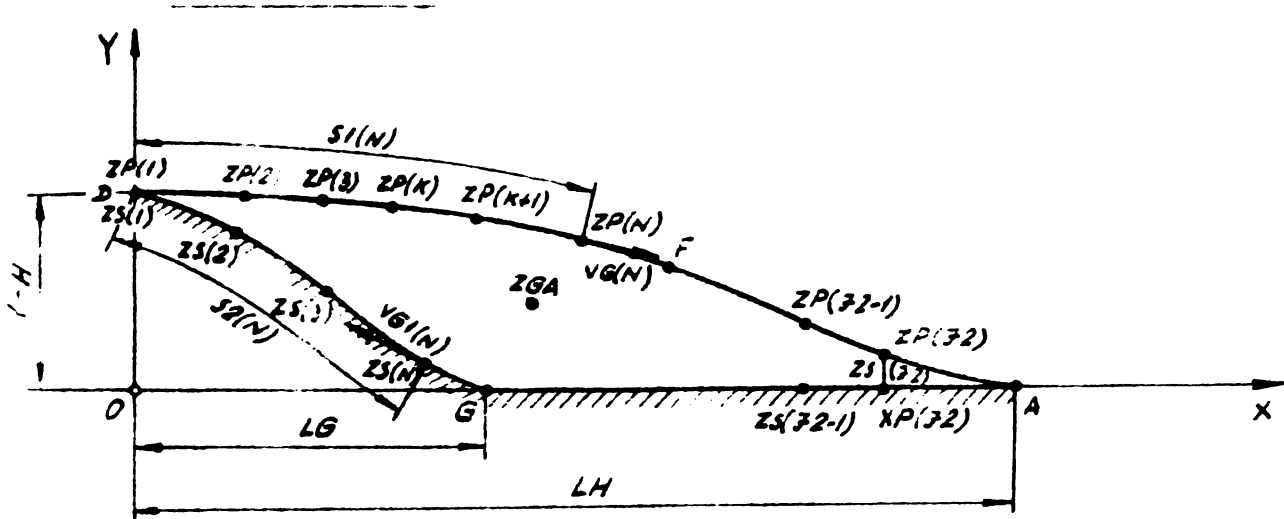


Fig. 4.4

Pe granița fluidă DFA este cunoscută funcția de viteză.

Pe granița solidă DGA se consideră J2 de puncte (aceiași număr de puncte ca și pe granița fluidă), a căror coordonate curbilinii se calculează cu ajutorul relației:

$$S2(N) = S1(N) \frac{S_{SOLID}}{S_{FLUID}}, \quad (4.3)$$

în care:

$$S1(1) = 0,$$

$$S1(N) = S1(N-1) + \sqrt{(XP(N) - XP(N-1))^2 + (YP(N) - YP(N-1))^2}; \quad N \in [2; J2]$$

$$S_{SOLID} = \int_{DG} dS + XP(J2) - LG + YP(J2);$$

$$S_{FLUID} = S1(J2)$$

În stabilirea acestor formule de calcul s-a făcut ipoteza că în zona ZP(J2)-A-XP(J2) fluidul stagnează ($YP(J2) \leq 0,05 \cdot (1-H)$), din care motiv în cele ce urmează această zonă va fi exclusă.

Admițând ipoteza că în punctele de pe granița fluidă, respectiv solidă, care au aceeași abscisă X modulele de viteză sînt egale, distribuția vitezei în lungul graniței solide se poate calcula cu formula:

$$VG1(N) = VG(K) - (VG(K) - VG(K+1)) \frac{XS(N) - XP(K)}{XP(K+1) - XP(K)}, \quad (4.4)$$

$$XP(K) \leq XS(N) \leq XP(K+1)$$

Distribuția circulației pe cele două granițe va fi:

$$\begin{aligned}d\Gamma_1 &= VG(S_1) \cdot dS_1, \\d\Gamma_2 &= VG_1(S_2) \cdot dS_2\end{aligned}$$

Folosind notațiile:

$$d\Gamma_1 = GA_1, \quad d\Gamma_2 = GA_2$$

și trecând la diferențe finite, rezultă:

$$GA_1(N) = \frac{VG(N) + VG(N+1)}{2} \sqrt{(XP(N+1) - XP(N))^2 + (YP(N+1) - YP(N))^2}, \quad (4.5)$$

$$GA_2(N) = \frac{VG_1(N) + VG_1(N+1)}{2} \sqrt{(XS(N+1) - XS(N))^2 + (YS(N+1) - YS(N))^2} \quad (4.6)$$

Circulația pe conturul D-F-ZP(J2)-XP(J2)-G-D va fi:

$$\Gamma = \oint_C VG(S) \cdot dS = \int_{CF} VG(S_1) \cdot dS_1 + \int_{CS} VG_1(S_2) \cdot dS_2 = \int_{CF} d\Gamma_1(S_1) + \int_{CS} d\Gamma_2(S_2)$$

Folosind notația:

$$\Gamma = GA$$

și înlocuind integralele prin sume, rezultă:

$$GA = \sum_{N=1}^{J_2-1} (GA_1(N) + GA_2(N)) \quad (4.7)$$

Coordonatele centrului de greutate a liniei de vîrtej vor fi:

$$XGA = \frac{1}{GA} \left(\int_{CF} XP \cdot d\Gamma_1 + \int_{CS} XS \cdot d\Gamma_2 \right),$$

$$YGA = \frac{1}{GA} \left(\int_{CF} YP \cdot d\Gamma_1 + \int_{CS} YS \cdot d\Gamma_2 \right)$$

Folosind notațiile introduse anterior și înlocuind integralele prin sume, rezultă:

$$XGA = \frac{1}{2 \cdot GA} \sum_{K=1}^{J_2-1} ((XP(N) + XP(N+1)) \cdot GA_1(N) + (XS(N) + XS(N+1)) \cdot GA_2(N)), \quad (4.8)$$

$$YGA = \frac{1}{2 \cdot GA} \sum_{K=1}^{J_2-1} ((YP(N) + YP(N+1)) \cdot GA_1(N) + (YS(N) + YS(N+1)) \cdot GA_2(N)) \quad (4.9)$$

4.3.2. Transformarea conformă aproximativă a domeniului mișcării rotaționale pe semiplanul superior.

In cele ce urmează sînt expuse etapele transformării domeniului mișcării rotaționale pe semiplanul superior.

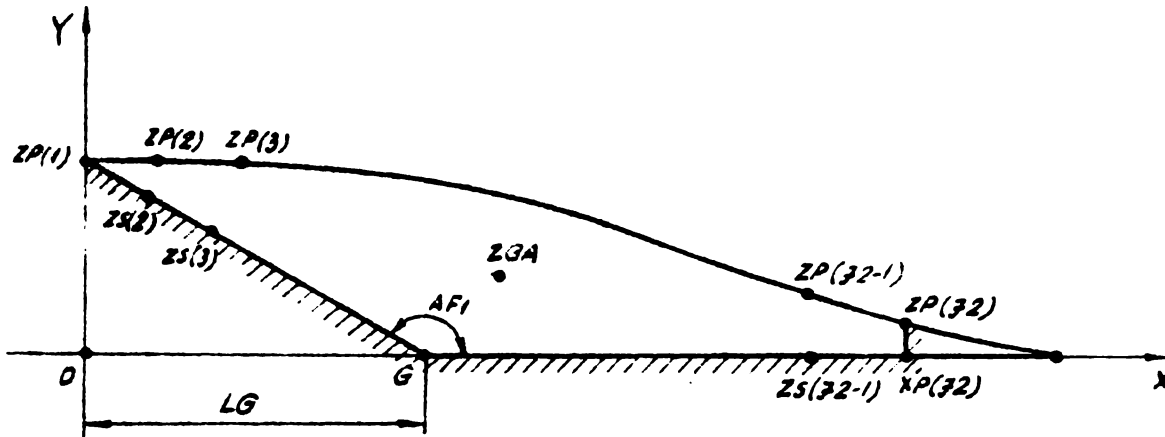


Fig. 4.5

T1:
$$Z = (Z - C_1) \frac{\sqrt{\square}}{AF_1}, \quad C_1 = LG; \quad AF_1 = \text{ARCTG} \left(\frac{LG}{YP(1)} \right) + \frac{\sqrt{\square}}{2} \quad (4.10)$$

$$\left[\begin{array}{l} R = \sqrt{(X - C_1)^2 + Y^2} \\ TE = \text{ARCTG} \left(\frac{Y}{X - C_1} \right) \end{array} \right] ; \quad \left[\begin{array}{l} R = R \frac{\sqrt{\square}}{AF_1} \\ TE = TE \cdot \frac{\sqrt{\square}}{AF_1} \end{array} \right] ; \quad \left[\begin{array}{l} X = R \cdot \text{COS}(TE) \\ Y = R \cdot \text{SIN}(TE) \end{array} \right]$$

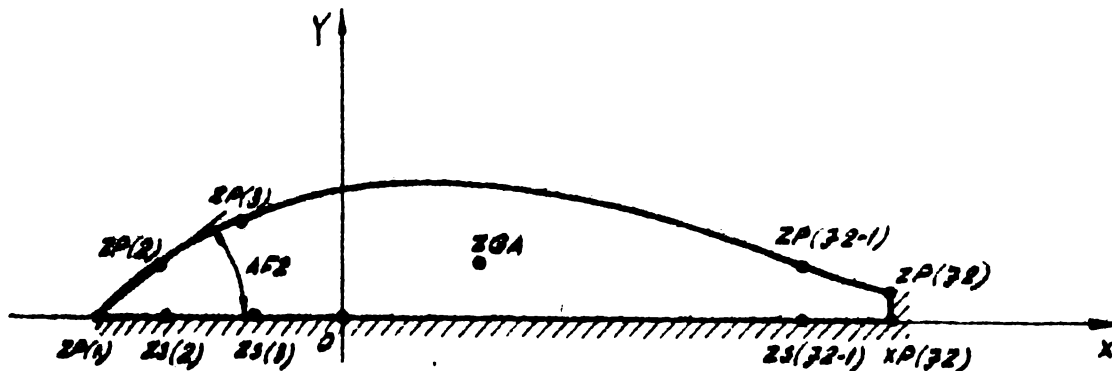


Fig. 4.6

T2:
$$Z = (Z - C_2) \frac{\sqrt{\square}}{2 \cdot AF_2}, \quad C_2 = XP(1), \quad AF_2 = \text{ARCTG} \left(\frac{YP(2)}{XP(2) - XP(1)} \right) \quad (4.11)$$

$$\left[\begin{array}{l} R = \sqrt{(X - C_2)^2 + Y^2} \\ TE = \text{ARCTG} \left(\frac{Y}{X - C_2} \right) \end{array} \right] ; \quad \left[\begin{array}{l} R = R \frac{\sqrt{\square}}{2 \cdot AF_2} \\ TE = TE \cdot \frac{\sqrt{\square}}{2 \cdot AF_2} \end{array} \right] ; \quad \left[\begin{array}{l} X = R \cdot \text{COS}(TE) \\ Y = R \cdot \text{SIN}(TE) \end{array} \right]$$

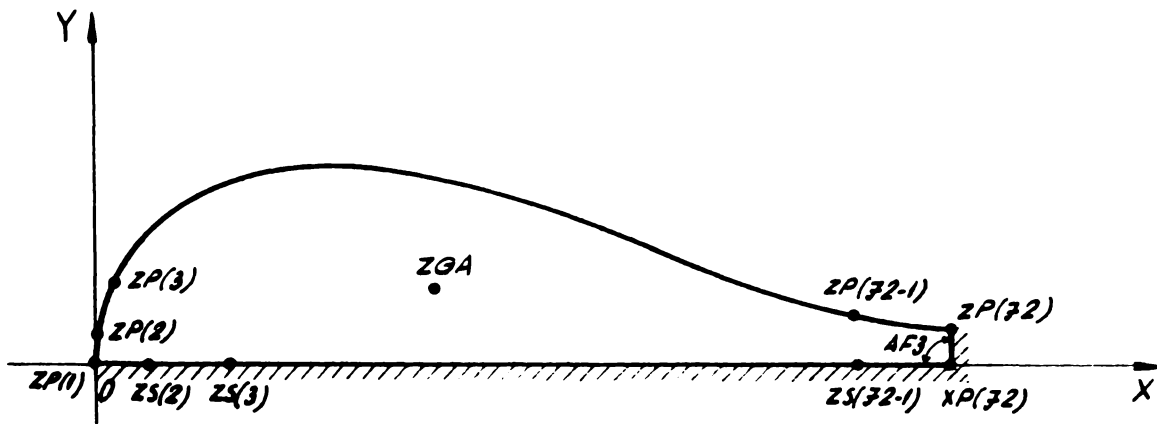


Fig. 4.7

T3: $Z = (Z - C3) \cdot e^{-i \cdot AF3}$, $C3 = XP(J2)$, $AF3 = \pi/2$; (4.12)

$X = (X - C3) \cdot \cos(AF3) + Y \cdot \sin(AF3)$;

$Y = -(X - C3) \cdot \sin(AF3) + Y \cdot \cos(AF3)$.

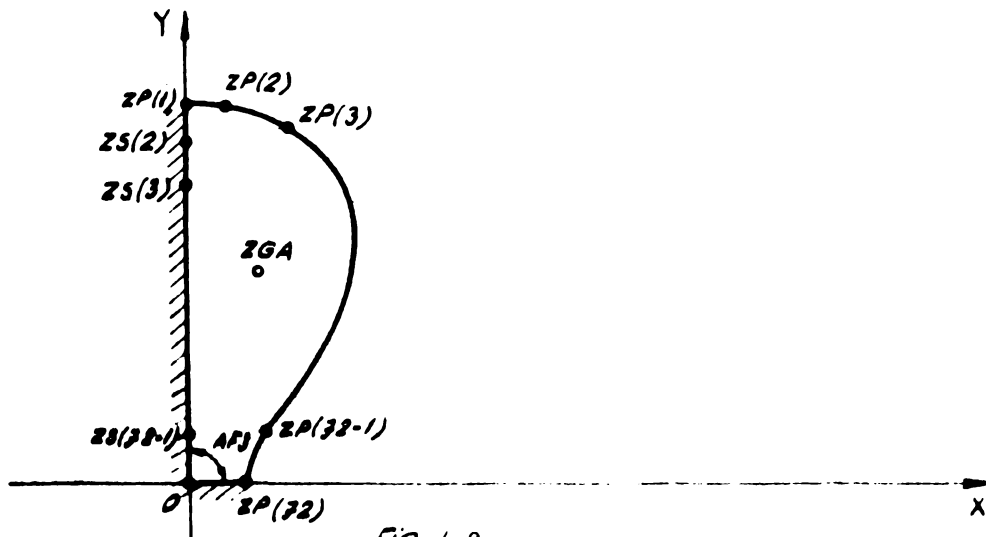
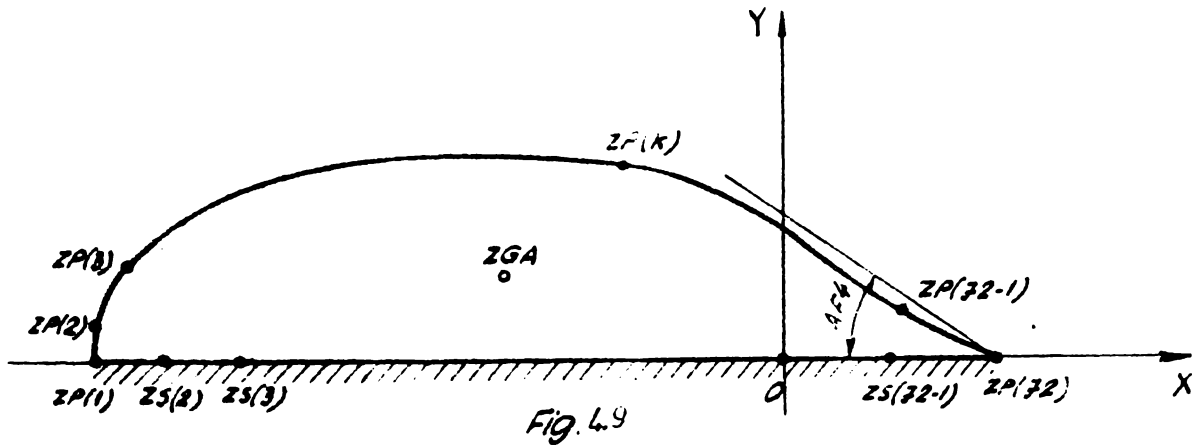


Fig. 4.8

T4: $Z = Z \cdot \pi / AF3$ (4.13)

$$\left[\begin{array}{l} R = \sqrt{X^2 + Y^2} \\ TE = \text{ARCTG}(Y/X) \end{array} \right. ; \left[\begin{array}{l} R = R \cdot \pi / AF3 \\ TE = TE \cdot \frac{\pi}{AF3} \end{array} \right. ; \left[\begin{array}{l} X = R \cdot \cos(TE) \\ Y = R \cdot \sin(TE) \end{array} \right. ;$$



T5:
$$Z = (Z - C4) \cdot e^{-i(\pi - AF4)} \quad (4.14)$$

$$C4 = XP(J2)$$

$$AF4 = 1,01 \cdot \text{MAX} \left(\text{ARCTG} \left(\frac{YP(K)}{XP(J2) - XP(X)} \right) \right), \quad K \in [2; J2-1]$$

$$X = -(X - C4) \cdot \text{COS}(AF4) + Y \cdot \text{SIN}(AF4),$$

$$Y = -(X - C4) \cdot \text{SIN}(AF4) - Y \cdot \text{COS}(AF4)$$

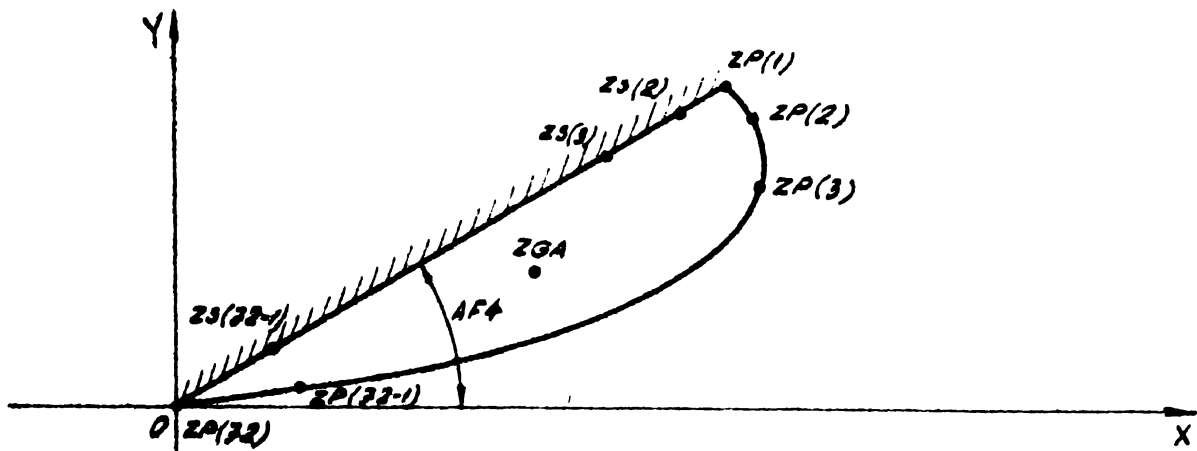


Fig. 4.10

T6:
$$Z = Z \cdot \frac{\square}{2 \cdot AF4} \quad (4.15)$$

$$\left[\begin{array}{l} R = \sqrt{X^2 + Y^2} \\ TE = \text{ARCTG}(Y/X) \end{array} \right. ; \left[\begin{array}{l} R = R \cdot \frac{\square}{2 \cdot AF4} \\ TE = TE \cdot \frac{\square}{2 \cdot AF4} \end{array} \right. ; \left[\begin{array}{l} X = R \cdot \text{COS}(TE) \\ Y = R \cdot \text{SIN}(TE) \end{array} \right.$$

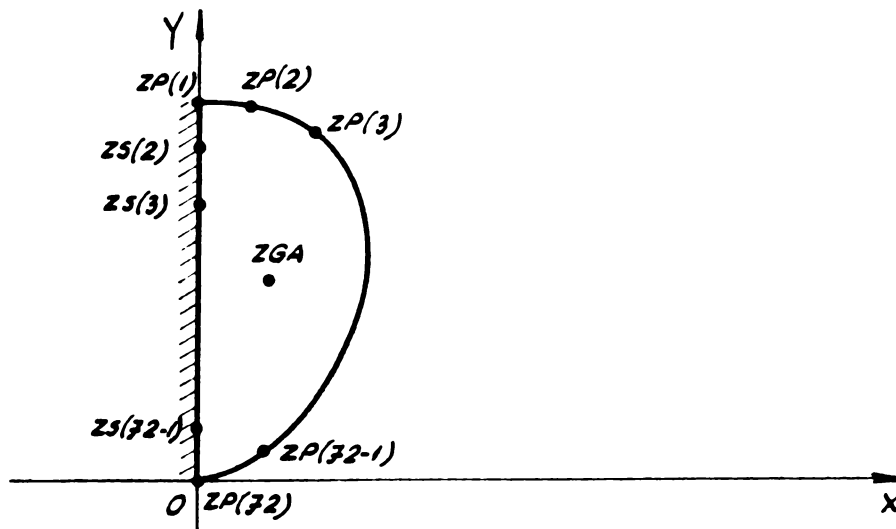


Fig. 4.11

T7:

$$Z = Z_0 \cdot e^{i \frac{\pi}{2}} \quad (4.16)$$

$$X = -Y,$$

$$Y = X$$

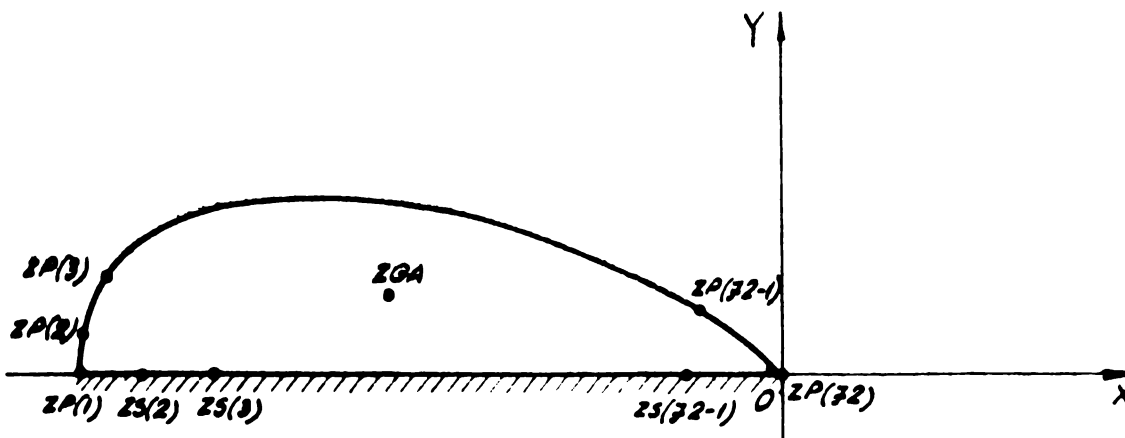


Fig. 4.12

T8:

$$Z = \frac{Z}{CI}, \quad CI = \text{ABS}(XP(1)) \quad (4.17)$$

$$X = \frac{X}{CI},$$

$$Y = \frac{Y}{CI}$$

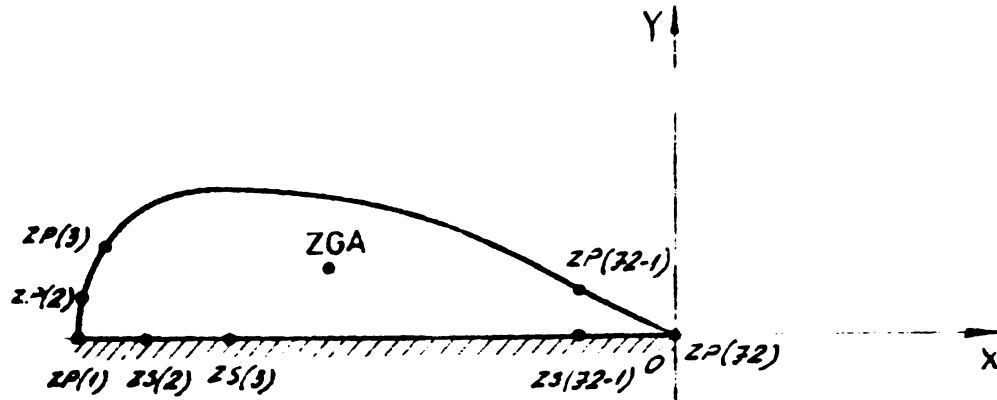


Fig. 4.13

T9:

$$z = \frac{-1}{z - XI}$$

$$XI = \frac{XP(1) + XP(J2)}{2} \quad (4.18)$$

$$X = - \frac{X - XI}{(X - XI)^2 + Y^2}$$

$$Y = \frac{Y}{(X - XI)^2 + Y^2}$$

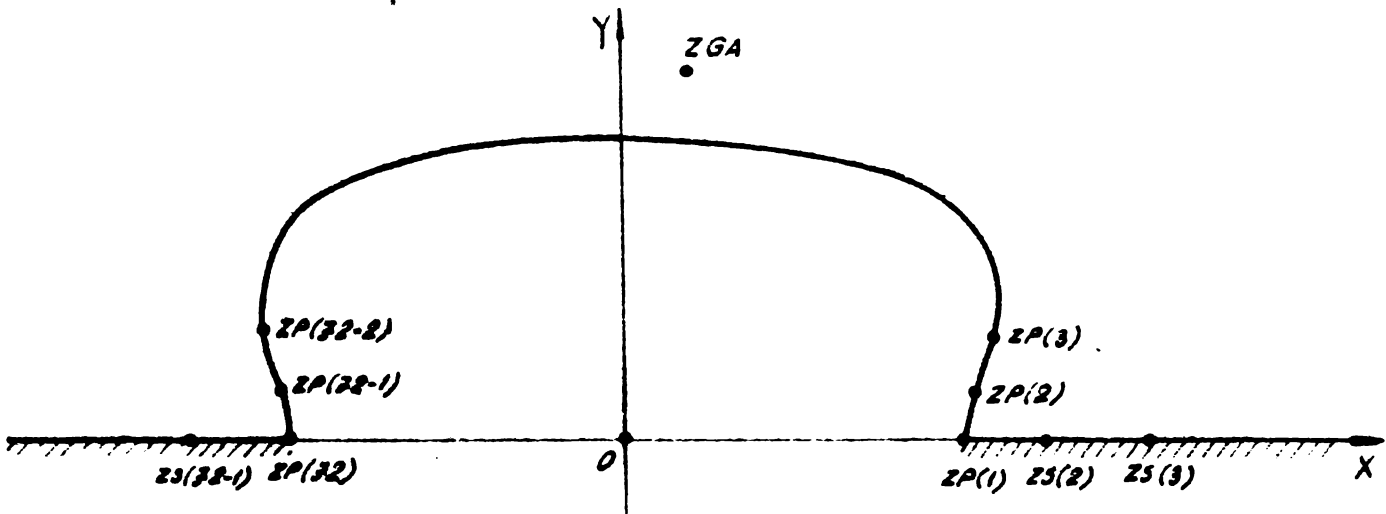


Fig. 4.14

T10:

$$z = \prod_{K=1}^L \Delta_K(z)$$

$$(4.19)$$

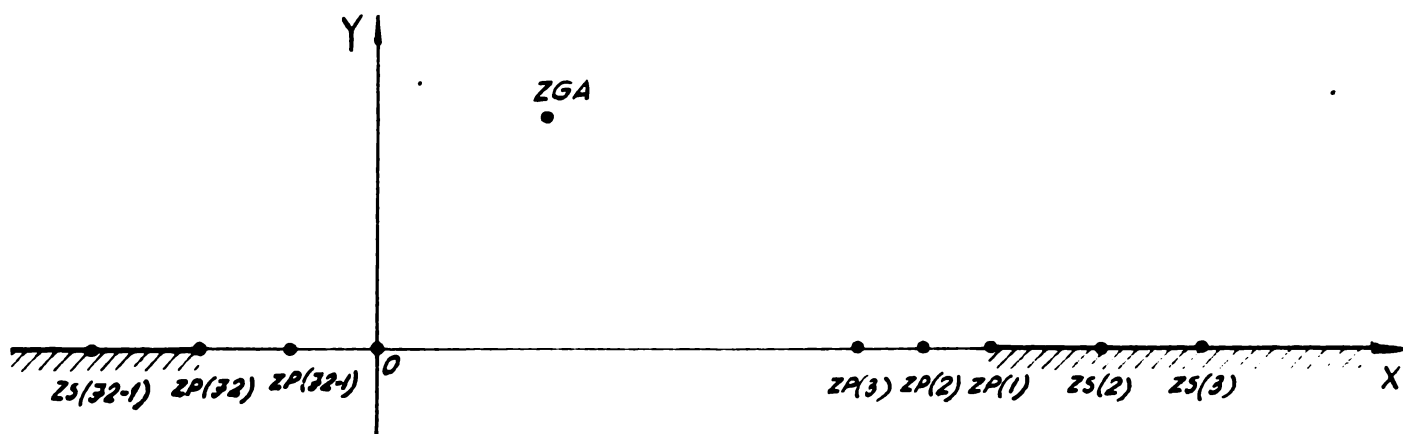


Fig. 4.15

$$\begin{aligned}
 T_{11}: \quad Z &= Z - XGA, & (4.20) \\
 X &= X - XGA, \\
 Y &= Y
 \end{aligned}$$

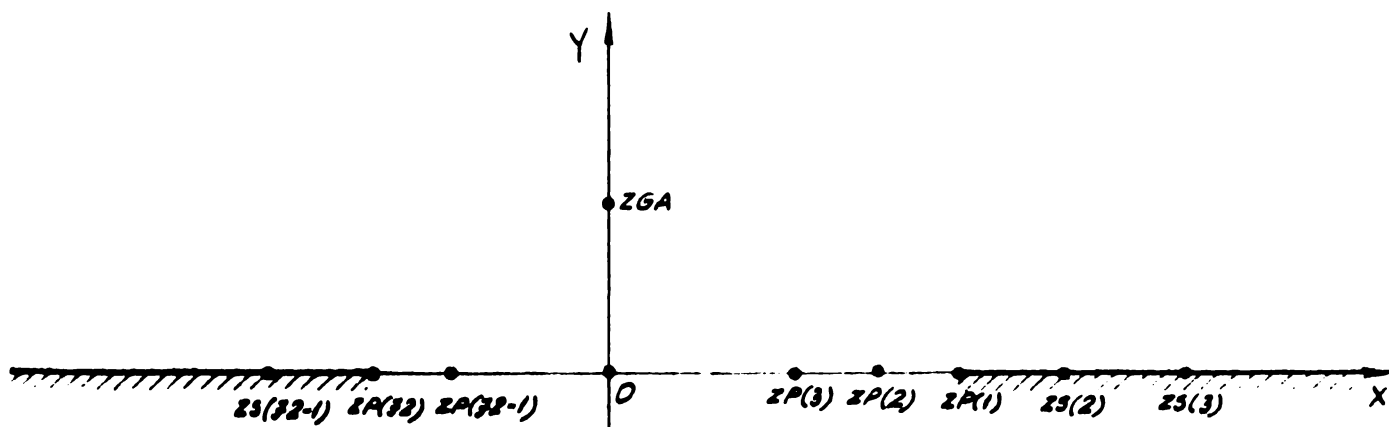


Fig. 4.16

In cadrul lucrării au fost studiate semidifuzoarele plane cu peretele curb sub forma unui perete plan inclinat (porțiunea ZP(1)-G, fig.4.5).

Dacă peretele curb are o formă oarecare, atunci funcția de transformare T1 va fi de tipul $\Pi \Lambda_K(Z)$.

In semiplanul superior se consideră mișcarea resultantă a două vîrtejuri de sensuri opuse, situate în punctele ZGA respectiv \overline{ZGA} .

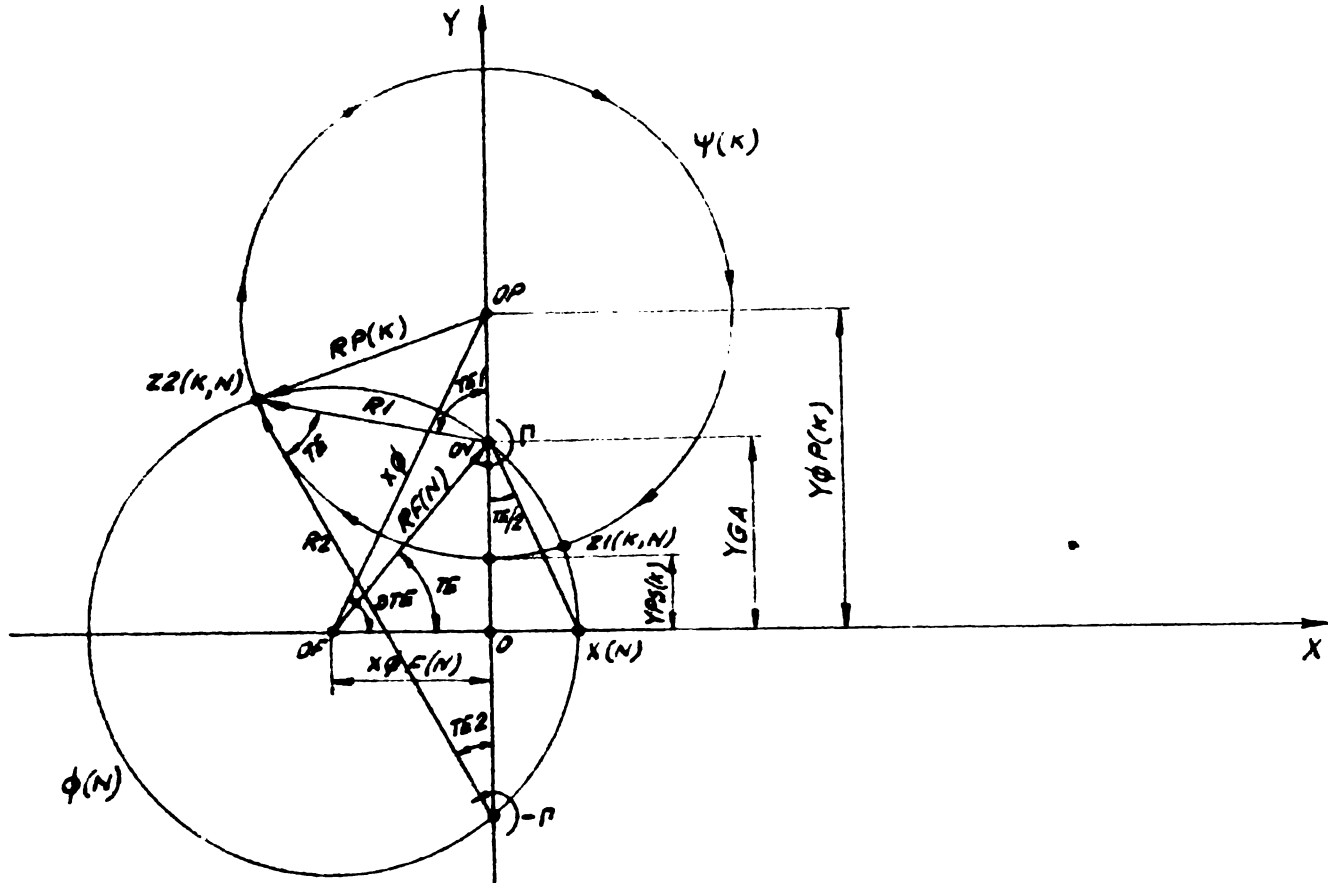


Fig. 4.17

Funcția care descrie mișcarea indusă de cele două vîrtejuri va fi [13]:

$$F(Z) = -\frac{i}{2\pi} \text{Log} \frac{Z-i YGA}{Z+i YGA}; \quad (4.21)$$

$$Z-i YGA = R_1 \cdot e^{iTE_1}, \quad Z+i YGA = R_2 \cdot e^{iTE_2};$$

$$F(Z) = \frac{\sqrt{\pi}}{2\pi} (TE_1 - TE_2) - i \frac{\sqrt{\pi}}{2\pi} \text{Log} \frac{R_1}{R_2};$$

$$TE = TE_1 - TE_2, \quad F(Z) = \phi + i\psi;$$

$$\phi = \frac{\sqrt{\pi}}{2\pi} TE, \quad \psi = -\frac{\sqrt{\pi}}{2\pi} \text{Log} \frac{R_1}{R_2};$$

$$\text{TANG}(TE/2) = \frac{|X(N)|}{YGA}, \quad TE = 2 \cdot \text{ARCTG} \left(\frac{|X(N)|}{YGA} \right);$$

$$RF(N) = \frac{YGA}{\text{SIN}(TE)}, \quad XOF(N) = X(N) \pm RF(N) \quad (4.22)$$

În formula $XOF(N)$ semnul + corespunde pentru $X(N) < 0$, iar semnul - pentru $X(N) > 0$.

$$\frac{R_1}{R_2} = C,$$

$$C = \frac{YGA - YPS(K)}{YGA + YPS(K)}$$

Ecuatia liniei de curent va fi:

$$R1^2 = C^2 R2^2, \quad (Y - YGA)^2 + X^2 = C^2 ((Y + YGA)^2 + X^2),$$

$$X^2 + Y^2 - 2 \cdot YGA \cdot \frac{1 + C^2}{1 - C^2} \cdot Y + YGA^2 = 0$$

Ecuatia cercului cu raza $RP(K)$ și cu centrul în punctul $YOP(K)$ se poate scrie sub forma:

$$X^2 + (Y - YOP(K))^2 = RP(K)^2,$$

$$X^2 + Y^2 - 2 \cdot YOP(K) \cdot Y + YOP(K)^2 - RP(K)^2 = 0$$

Din identificarea celor două expresii ale ecuației liniei de curent rezultă:

$$YOP(K) = YGA \frac{1 + C^2}{1 - C^2}, \quad RP(K) = \sqrt{YOP(K)^2 - YGA^2} \quad (4.23)$$

Pentru calculul coordonatelor punctelor $Z1(K, N)$, respectiv $Z2(K, N)$ se efectuează o translație:

$$X = X - XOF(N) \quad (4.24)$$

și o rotație cu unghiul - DTE:

$$DTE = \text{ARCTG} \left(- \frac{YOP(K)}{XOF(N)} \right), \quad XOF(N) < 0; \quad (4.25)$$

$$DTE = \pi - \text{ARCTG} \left(\frac{YOP(K)}{XOF(N)} \right), \quad XOF(N) > 0 \quad (4.26)$$

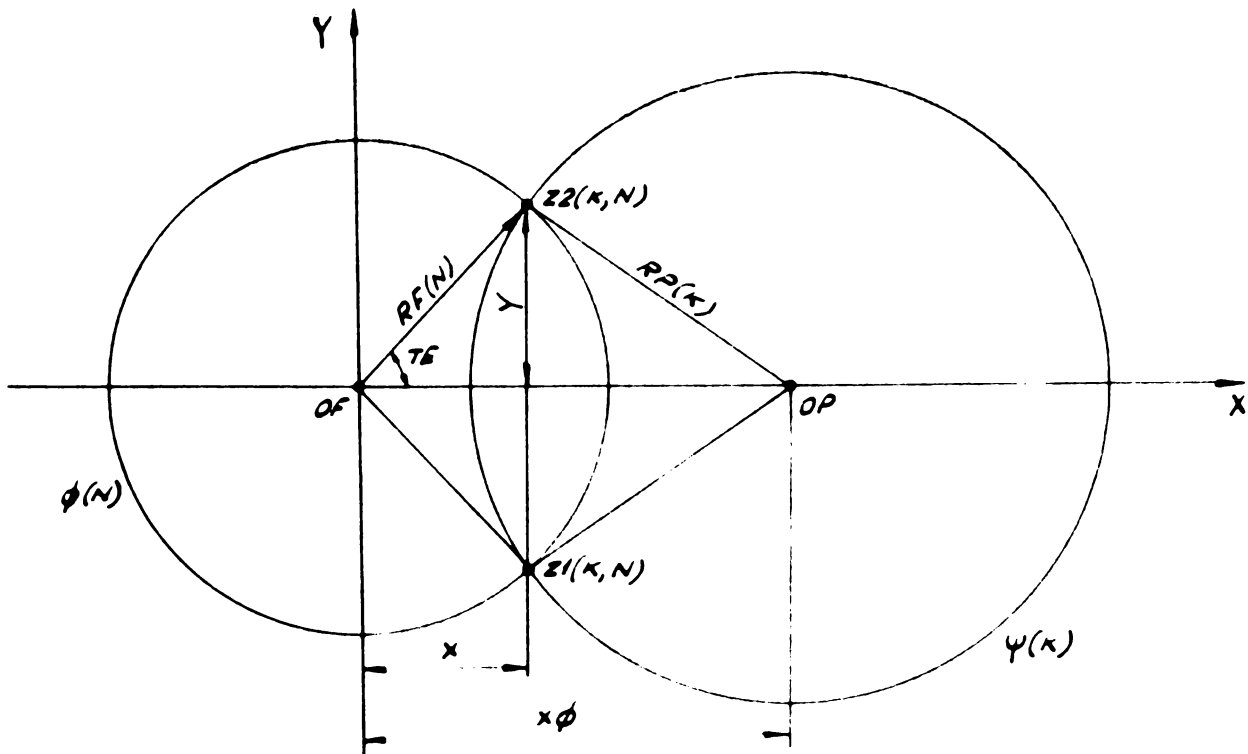


Fig. 4.18

$$Y^2 = RP(N)^2 - X^2 = RP(K)^2 - (XO - X)^2$$

$$X = \frac{RP(N)^2 - RP(K)^2 + XO^2}{2 \cdot XO}, \quad Y = \sqrt{RP(N)^2 - X^2}$$

$$R = \sqrt{X^2 + Y^2}, \quad TE = \text{ARCTG}(Y/X) \quad (4.27)$$

Revenind la planul figurii 4.17, coordonatele punctelor $Z1(K, N)$, respectiv $Z2(K, N)$ vor fi:

$$TE1 = DTE - TE; \quad (4.28)$$

$$X1(K, N) = XOP(N) + R \cdot \text{COS}(TE1); \quad (4.29)$$

$$Y1(K, N) = R \cdot \text{SIN}(TE1); \quad (4.30)$$

$$TE2 = DTE + TE; \quad (4.31)$$

$$X2(K, N) = XOP(N) + R \cdot \text{COS}(TE2); \quad (4.32)$$

$$Y2(K, N) = R \cdot \text{SIN}(TE2) \quad (4.33)$$

Considerind $M+1$ linii de curent, parametrul $YPS(K)$ se pune sub forma:

$$YPS(K) = \frac{M+1-K}{M} YGA, \quad K \in [1, M+1]$$

Pentru definirea familiei de linii echipotențiale se consideră punctele $XP(N)$, respectiv $XS(N)$:

$$X(N) = XP(N), \quad N \in [1, J2]; \quad (4.34)$$

$$X(N) = XS(N), \quad N \in [1, J2]. \quad (4.35)$$

4.3.3. Studiul mișcării în planul fizic al zonei rotaționale.

Prin transformări inverse celor expuse în cadrul paragrafului 4.3.2, rețeaua din semiplanul superior va fi adusă în planul fizic al zonei rotaționale:

$$T11^{-1}: \quad \begin{aligned} Z &= Z + XGA, \\ X &= X + XGA, \\ Y &= Y \end{aligned} \quad (4.36)$$

$$T10^{-1}: \quad Z = \prod_{K=L}^1 \Lambda_K^{-1}(Z) \quad (4.37)$$

$$T9^{-1}: \quad \begin{aligned} Z &= XI - \frac{1}{Z}, \\ X &= XI - \frac{X}{X^2 + Y^2}, \\ Y &= \frac{Y}{X^2 + Y^2} \end{aligned} \quad (4.38)$$

$$T8^{-1}: \quad \begin{aligned} Z &= CI.Z, \\ X &= CI.X, \\ Y &= CI.X \end{aligned} \quad (4.39)$$

$$T7^{-1}: \quad \begin{aligned} Z &= Z \cdot e^{-i \frac{\square}{2}}, \\ X &= Y, \\ Y &= -X \end{aligned} \quad (4.40)$$

$$T6^{-1}: \quad Z = Z \frac{2 \cdot AF4}{\square} \quad (4.41)$$

$$T5^{-1}: \quad \begin{aligned} &\left[\begin{aligned} R &= \sqrt{X^2 + Y^2} \\ TE &= \text{ARCTG}(Y/X) \end{aligned} \right]; \left[\begin{aligned} R &= R \frac{2 \cdot AF4}{\square} \\ TE &= TE \cdot \frac{2 \cdot AF4}{\square} \end{aligned} \right]; \left[\begin{aligned} X &= R \cdot \text{COS}(TE) \\ Y &= R \cdot \text{SIN}(TE) \end{aligned} \right] \\ Z &= Z \cdot e^{i(\square - AF4) + C4}, \\ X &= -X \cdot \text{COS}(AF4) - Y \cdot \text{SIN}(AF4) + C4, \\ Y &= X \cdot \text{SIN}(AF4) - Y \cdot \text{COS}(AF4) \end{aligned} \quad (4.42)$$

$$T4^{-1}: \quad Z = Z \frac{AF3}{\square} \quad (4.43)$$

$$\left[\begin{aligned} R &= \sqrt{X^2 + Y^2} \\ TE &= \text{ARCTG}(Y/X) \end{aligned} \right]; \left[\begin{aligned} R &= R \frac{AF3}{\square} \\ TE &= TE \cdot \frac{AF3}{\square} \end{aligned} \right]; \left[\begin{aligned} X &= R \cdot \text{COS}(TE) \\ Y &= R \cdot \text{SIN}(TE) \end{aligned} \right]$$

$$T3^{-1}: \quad \begin{aligned} Z &= Z \cdot e^{iAF3} + C3, \\ X &= X \cdot \text{COS}(AF3) - Y \cdot \text{SIN}(AF3) + C3, \\ Y &= X \cdot \text{SIN}(AF3) + Y \cdot \text{COS}(AF3) \end{aligned} \quad (4.44)$$

$$T2^{-1}: \quad Z = Z \frac{2 \cdot AF2}{\square} + C2 \quad (4.45)$$

$$\left[\begin{aligned} R &= \sqrt{X^2 + Y^2} \\ TE &= \text{ARCTG}(Y/X) \end{aligned} \right]; \left[\begin{aligned} R &= R \frac{2 \cdot AF2}{\square} \\ TE &= TE \cdot \frac{2 \cdot AF2}{\square} \end{aligned} \right]; \left[\begin{aligned} X &= R \cdot \text{COS}(TE) + C2 \\ Y &= R \cdot \text{SIN}(TE) \end{aligned} \right]$$

$$T1^{-1}: \quad Z = Z \frac{AF1}{\square} + C1 \quad (4.46)$$

$$\left[\begin{aligned} R &= \sqrt{X^2 + Y^2} \\ TE &= \text{ARCTG}(Y/X) \end{aligned} \right]; \left[\begin{aligned} R &= R \frac{AF1}{\square} \\ TE &= TE \cdot \frac{AF1}{\square} \end{aligned} \right]; \left[\begin{aligned} X &= R \cdot \text{COS}(TE) + C1 \\ Y &= R \cdot \text{SIN}(TE) \end{aligned} \right]$$

Mișcarea resultantă în planul fizic al zonei rotaționale va fi o mișcare plană potențială cu singularitatea logaritmică în punctul ZGA (figura 4.19).

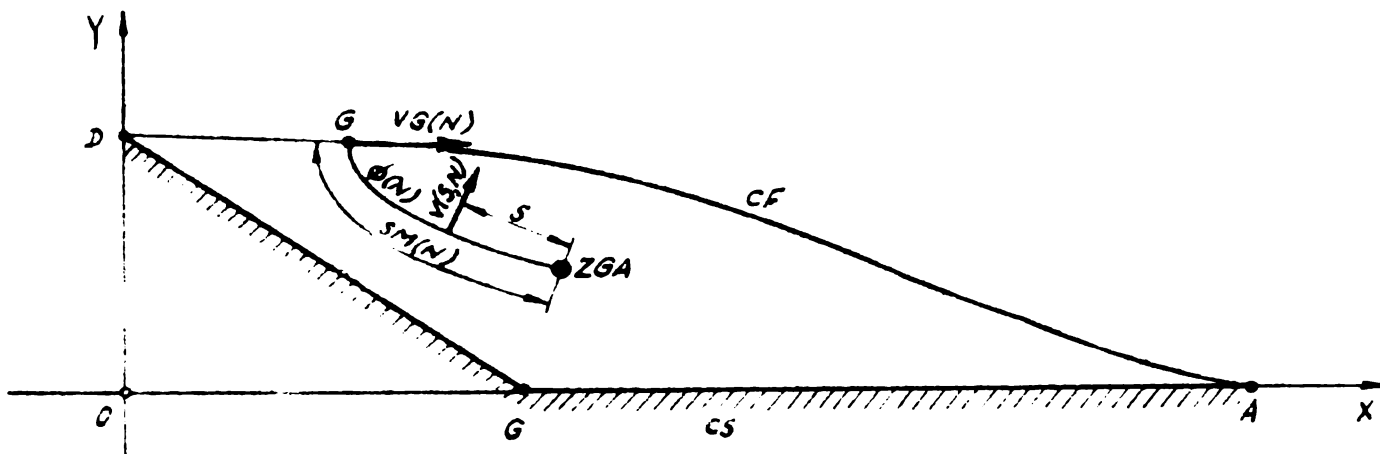


Fig. 4.19.

Pentru o asemenea mișcare viteza descrește de-a lungul unei linii echipotențiale, din punctul ZGA de la valoarea ∞ la o valoare finită pe granița domeniului fluid. Acest model însă nu corespunde realității fizice. În realitate viteza în punctul ZGA are valoarea zero și crește spre granița domeniului fluid pînă la valoarea $VG(N)$.

Pentru a construi familia de linii de curent corespunzătoare distribuției reale de viteze se admite ipoteza că viteza variază de-a lungul unei linii echipotențiale a mișcării potențiale după legea:

$$V(S, N) = VG(N) \cdot \left(\frac{S}{SM(N)} \right)^{P(N)} \quad (4.47)$$

Considerînd că liniile echipotențiale ale mișcării potențiale sînt curbe ortogonale la liniile de curent, corespunzătoare distribuției reale de viteză, debitele vor fi:

$$Q(N) = \int_{\phi(N)}^{SM(N)} V(S, N) \cdot dS = \frac{VG(N)}{SM(N)^{P(N)}} \int_{\phi(N)}^{SM(N)} S^{P(N)} \cdot dS = \frac{VG(N) \cdot SM(N)}{1+P(N)} \quad (4.48)$$

Admițînd la început că:

$$P(N) = PM = 1/8, \quad (4.49)$$

debitele vor fi:

$$Q(N) = \frac{VG(N) \cdot SM(N)}{1+PM} \quad (4.50)$$

Având în vedere că debitul trebuie să aibă aceeași valoare pentru toate liniile ortogonale, iar exponentul $P(N)$ trebuie să fie pozitiv, pentru ca viteza să fie egală cu zero când $S=0$, rezultă:

$$Q = \text{MINIM}(Q(N)), \quad G \in (CFUCS) \quad (4.51)$$

Valorile exponentilor $P(N)$ pentru liniile ortogonale corespunzătoare vor fi:

$$P(N) = \frac{VG(N) \cdot SM(N)}{Q} - 1 \quad (4.52)$$

Debitul prin porțiunea de linie ortogonală de lungime S este:

$$Q(S, N) = \int_{\phi(N)}^S V(S, N) dS = \frac{VG(N)}{SM(N)^{P(N)}} \cdot \int_{\phi(N)}^S S^{P(N)} dS = \frac{VG(N)}{SM(N)} \frac{S^{P(N)+1}}{1+P(N)} \quad (4.53)$$

Pentru a obține o familie de linii de curent cu debite egale între linii, $Q(S, N)$ se pune sub forma:

$$Q(S, N) = \frac{K-1}{M} Q,$$

$$\frac{K-1}{M} Q = \frac{VG(N)}{SM(N)} \frac{S(K, N)^{P(N)+1}}{1+P(N)}$$

Coordonatele curbilinii ale punctelor noii rețele se calculează cu formula:

$$S(K, N) = \left(\frac{(K-1) \cdot Q \cdot (1+P(N)) \cdot SM(N)^{P(N)}}{M \cdot VG(N)} \right)^{\frac{1}{P(N)+1}} \quad (4.54)$$

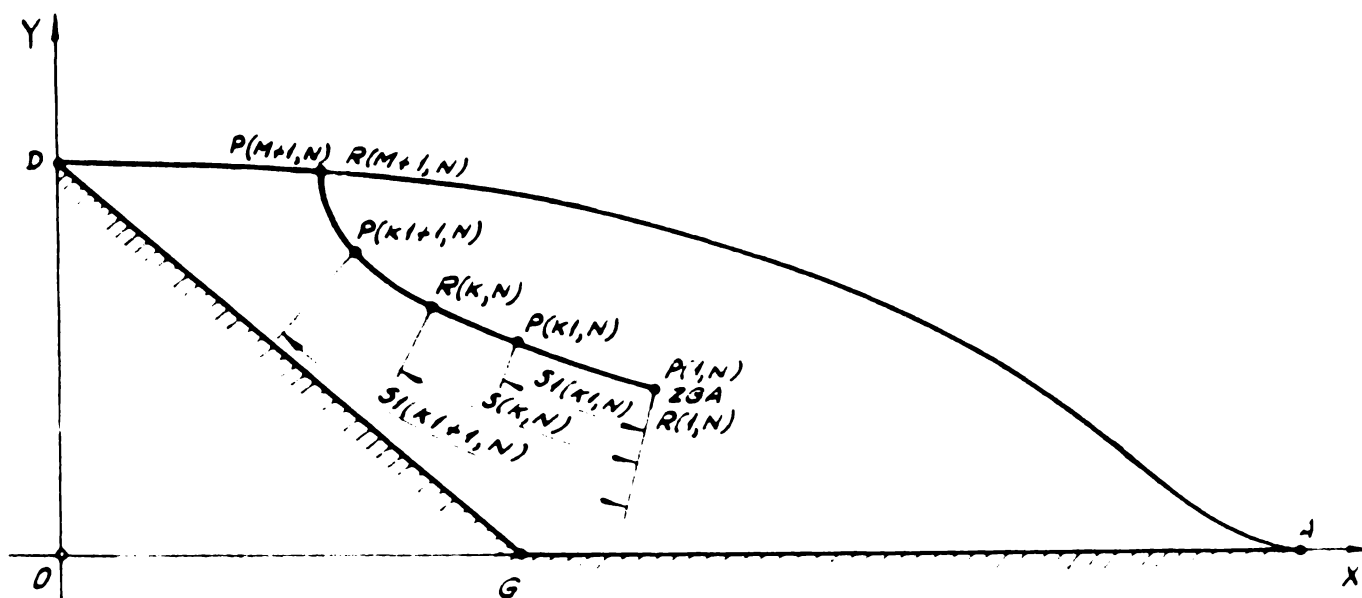


Fig 4.20

Pentru calculul coordonatelor carteziene ale rețelei mișcării rotaționale, prima dată se calculează coordonatele curbii ale rețelei mișcării potențiale:

$$S_1(1,N)=0; \quad (4.55)$$

$$S_1(K_1,N)=S_1(K_1-1,N)+\sqrt{(X(K_1,N)-X(K_1-1,N))^2+(Y(K_1,N)-Y(K_1-1,N))^2} \quad (4.56)$$

$$K_1 \in [2, M+1]$$

Punctul $R(K,N)$ fiind situat între punctele $P(K_1,N)$ și $P(K_1+1,N)$:

$$S_1(K_1,N) < S(K,N) < S_1(K_1+1,N)$$

Coordonatele carteziene ale punctului $R(K,N)$ se calculează cu formulele:

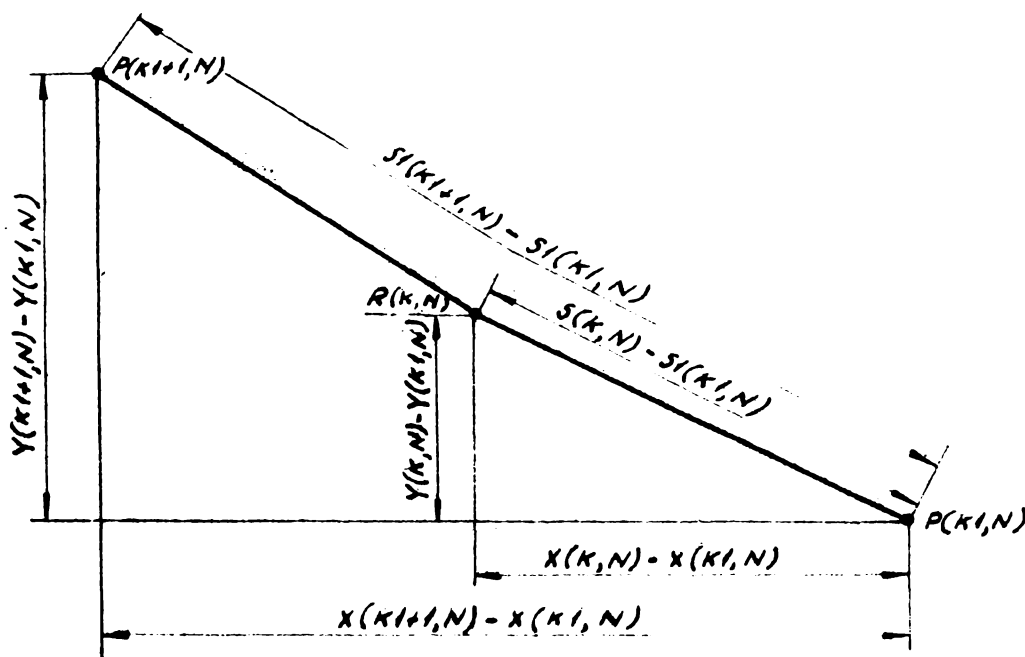


Fig. 4.21

$$\frac{X(K,N)-X(K_1,N)}{X(K_1+1,N)-X(K_1,N)} = \frac{S(K,N)-S_1(K_1,N)}{S_1(K_1+1,N)-S_1(K_1,N)}$$

$$X(K,N)=X(K_1,N)+\frac{S(K,N)-S_1(K_1,N)}{S_1(K_1+1,N)-S_1(K_1,N)} \cdot (X(K_1+1,N)-X(K_1,N)); \quad (4.57)$$

$$\frac{Y(K,N)-Y(K_1,N)}{Y(K_1+1,N)-Y(K_1,N)} = \frac{S(K,N)-S_1(K_1,N)}{S_1(K_1+1,N)-S_1(K_1,N)}$$

$$Y(K,N)=Y(K_1,N)+\frac{S(K,N)-S_1(K_1,N)}{S_1(K_1+1,N)-S_1(K_1,N)} \cdot (Y(K_1+1,N)-Y(K_1,N)) \quad (4.58)$$

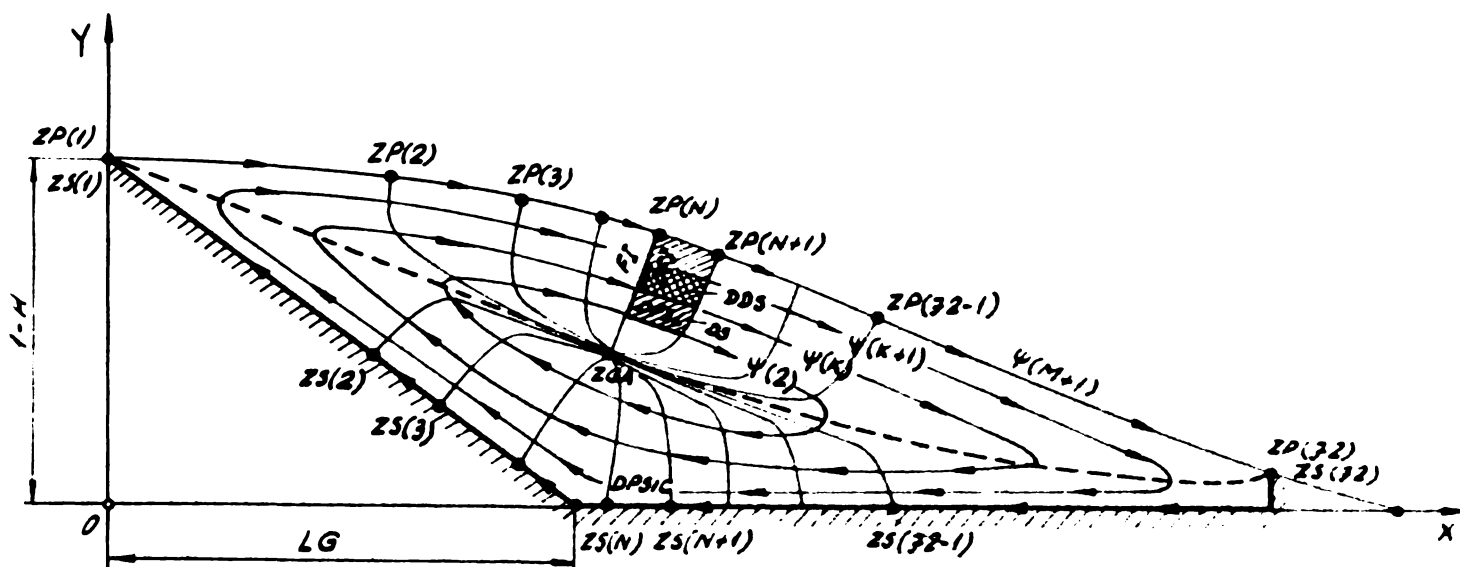


Fig. 4.22

Cîmpul de viteză în zona rotațională se determină cu ajutorul următoarelor formule:

$$VX(K,N) = \frac{DQ \cdot (Y(K+1,N) - Y(K,N))}{(X(K+1,N) - X(K,N))^2 + (Y(K+1,N) - Y(K,N))^2} ; (4.59)$$

$$VY(K,N) = - \frac{DQ(X(K+1,N) - X(K,N))}{(X(K+1,N) - X(K,N))^2 + (Y(K+1,N) - Y(K,N))^2} ; (4.60)$$

$$V(K,N) = \sqrt{VX(K,N)^2 + VY(K,N)^2} \quad (4.61)$$

Calcululele arată că în interiorul liniei de curent $\psi(2)$ vitezele sînt neglijabile, din care cauză această zonă se poate considera ca zonă "moartă" din punct de vedere a mișcării.

În vederea calculării distribuției reale de presiune este necesară cunoașterea următoarelor funcții:

$$FI(N) = \int_{\psi(2)}^{\psi(M+1)} dFI = \sum_{K=2}^M DFI(K,N),$$

$$FI(N) = \sum_{K=2}^M \sqrt{(X(K+1,N) - X(K,N))^2 + (Y(K+1,N) - Y(K,N))^2} ; (4.62)$$

$$DS(N) = \int_{\psi(2)}^{\psi(M+1)} dFI \cdot dPSI = \sum_{K=2}^M DFI(K,N) \cdot DPSI(K,N),$$

$$DS(N) = \sum_{K=2}^M \sqrt{(X(K+1,N)-X(K,N))^2 + (Y(K+1,N)-Y(K,N))^2} \quad (4.63)$$

$$\sqrt{(X(K,N+1)-X(K,N))^2 + (Y(K,N+1)-Y(K,N))^2}$$

Funcțiile FI(N) și DS(N) se calculează atât pentru zona mișcării directe (domeniul ZP(1)-ZP(N)-ZP(J2)-ZGA-ZP(1)), cât și pentru zona mișcării inverse (domeniul ZS(1)-ZGA-ZS(J2)-ZS(N)-ZS(1)).

Pentru zona mișcării inverse se mai calculează și funcția:

$$DPSIC(N) = \sqrt{(X(M+1,N+1)-X(M+1,N))^2 + (Y(M+1,N+1)-Y(M+1,N))^2} \quad (4.64)$$

Pentru calculul distribuției reale de presiune este de asemenea necesară cunoașterea ariei zonei rotaționale. Această arie va fi:

$$S = \int_{CF} Y \cdot dX - \int_{CS} Y \cdot dX$$

Aproximând integrala pe conturul fluid prin sumă, rezultă:

$$S = \frac{1}{2} \sum_{L=1}^{J2-1} (YP(L+1)+YP(L)) \cdot (XP(L+1)-XP(L)) - \frac{1}{2} LG \cdot (1-H) \quad (4.65)$$

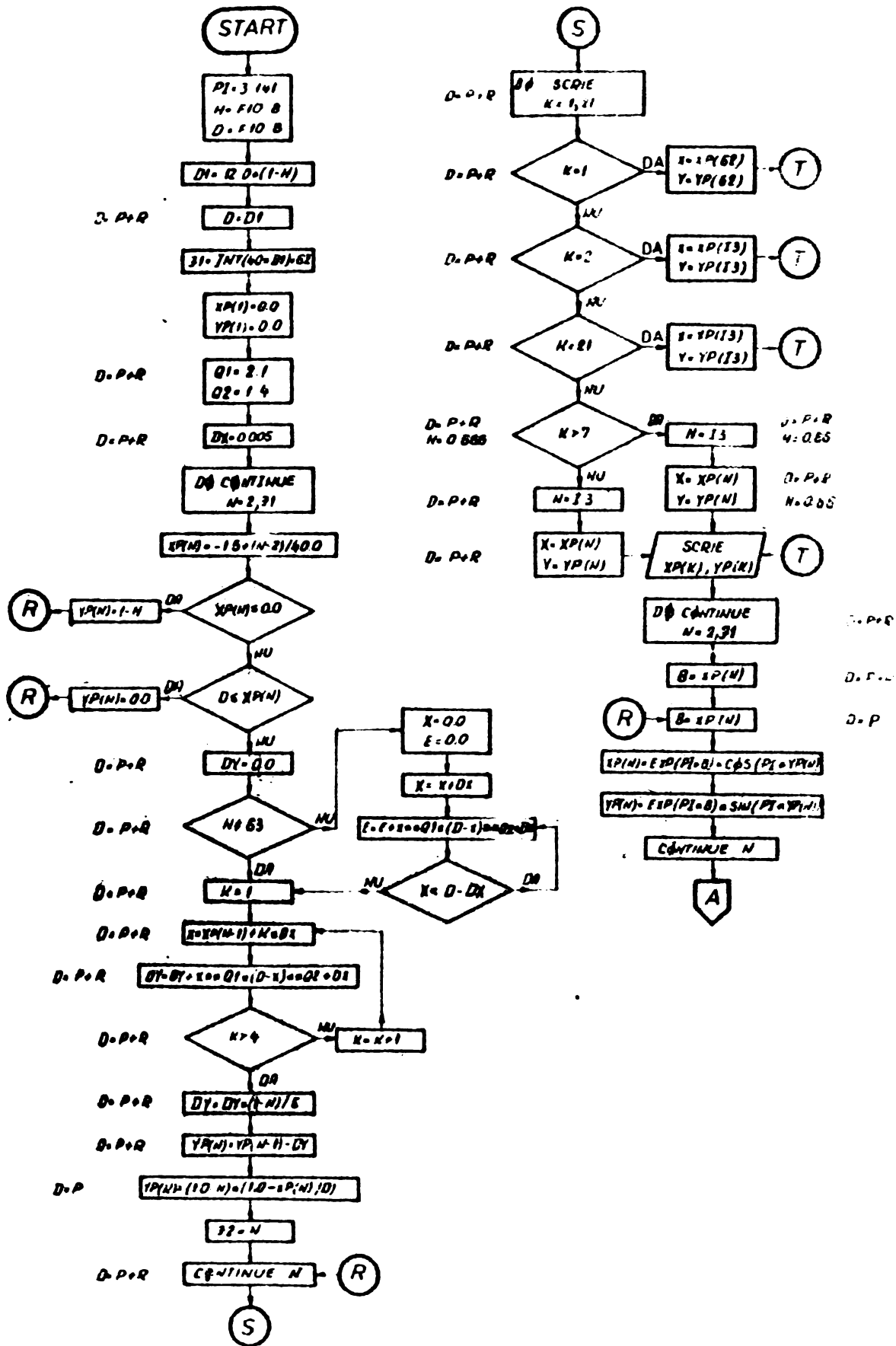
Modele matematice prezentate au fost transpuse în limbajul FORTRAN, calculele efectuându-se pe un calculator FELIX C-256.

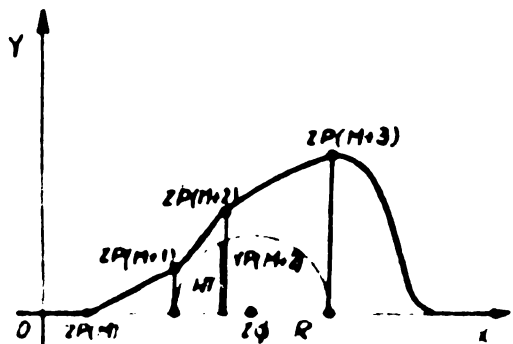
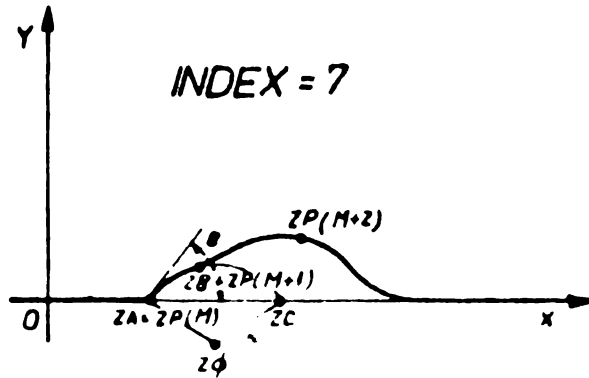
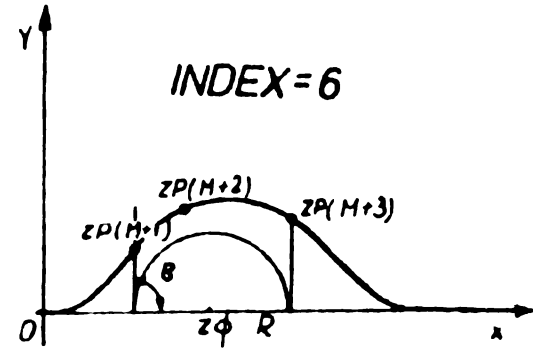
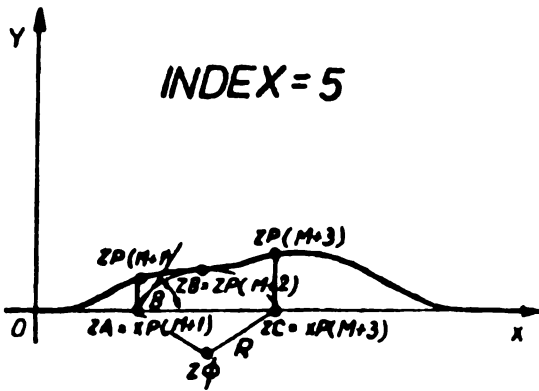
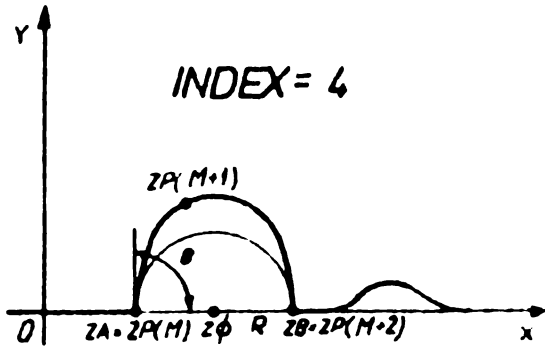
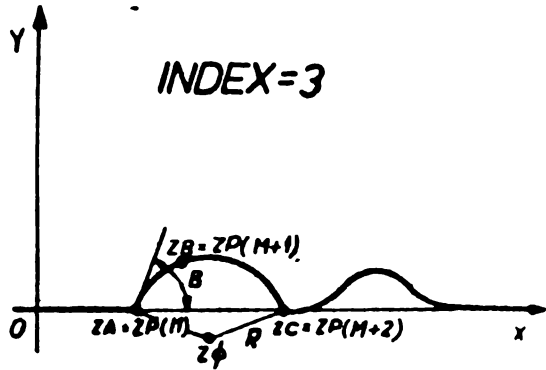
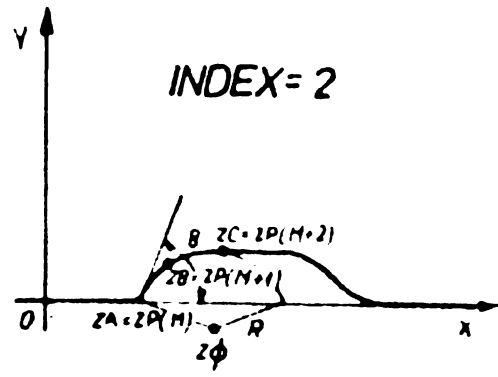
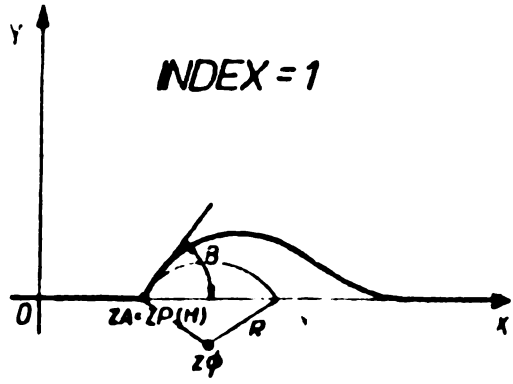
Schema logică, care a servit ca bază pentru realizarea programului de calcul este prezentată în cadrul capitolului V, paragraful 5.2.

CAPITOLUL V

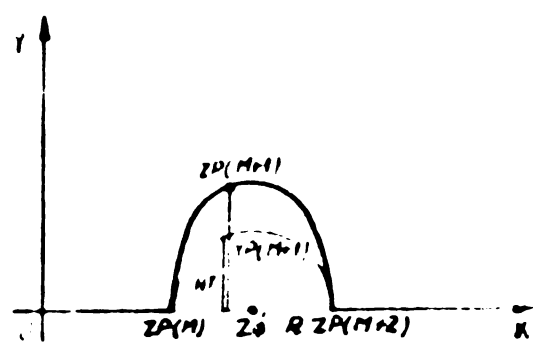
SCHEME LOGICE PENTRU STUDIUL MISCARII
FLUIDULUI IDEAL INCOMPRESIBIL IN
SEMIDIFUZOARE PLANE

5.1 SCHEMA LOGICĂ - ZONA MIȘCĂRII POTENȚIALE



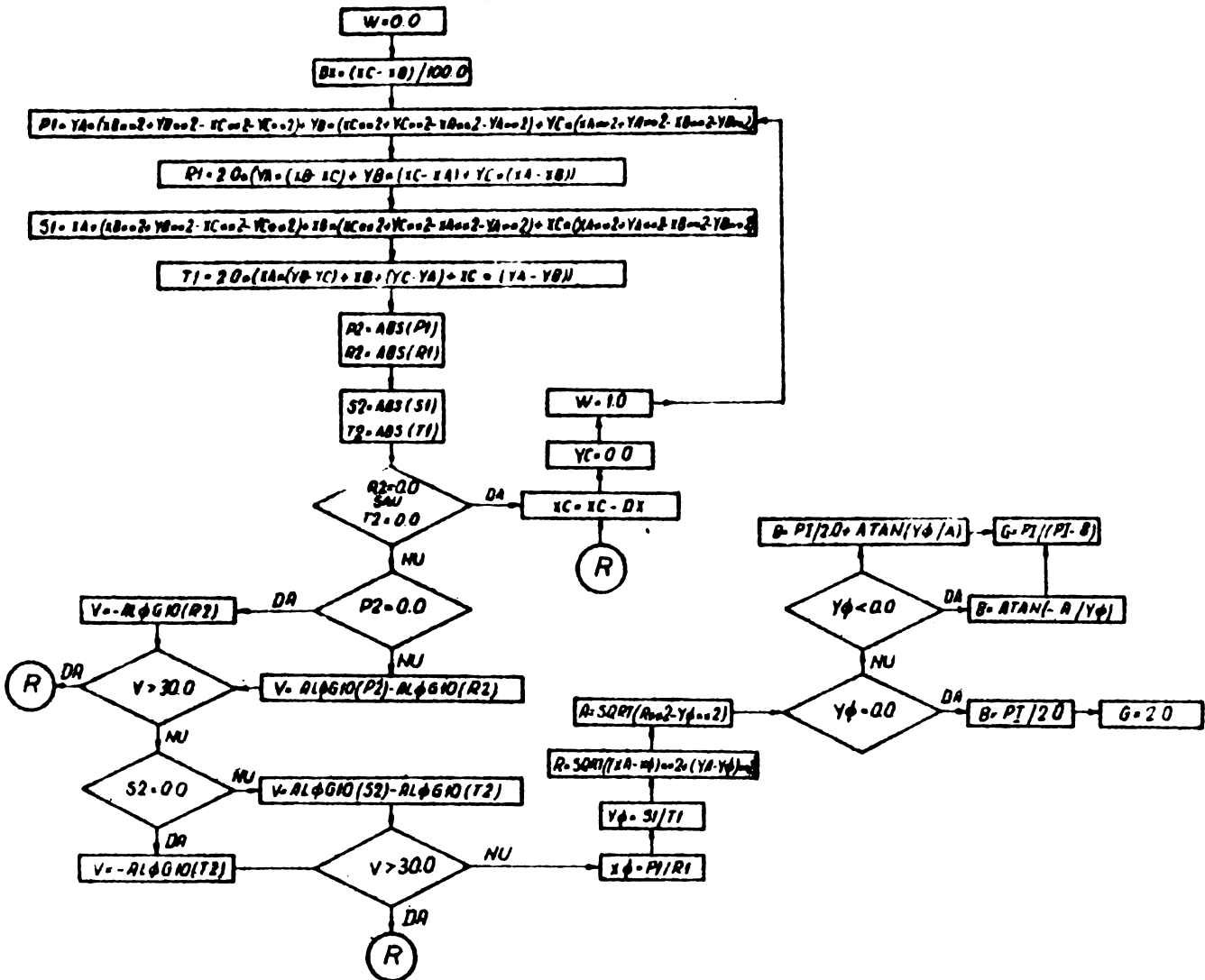


$$HT = \sqrt{(xP(M+3) - zP(M+2)) \cdot (xP(M+2) - zP(M+1))}$$

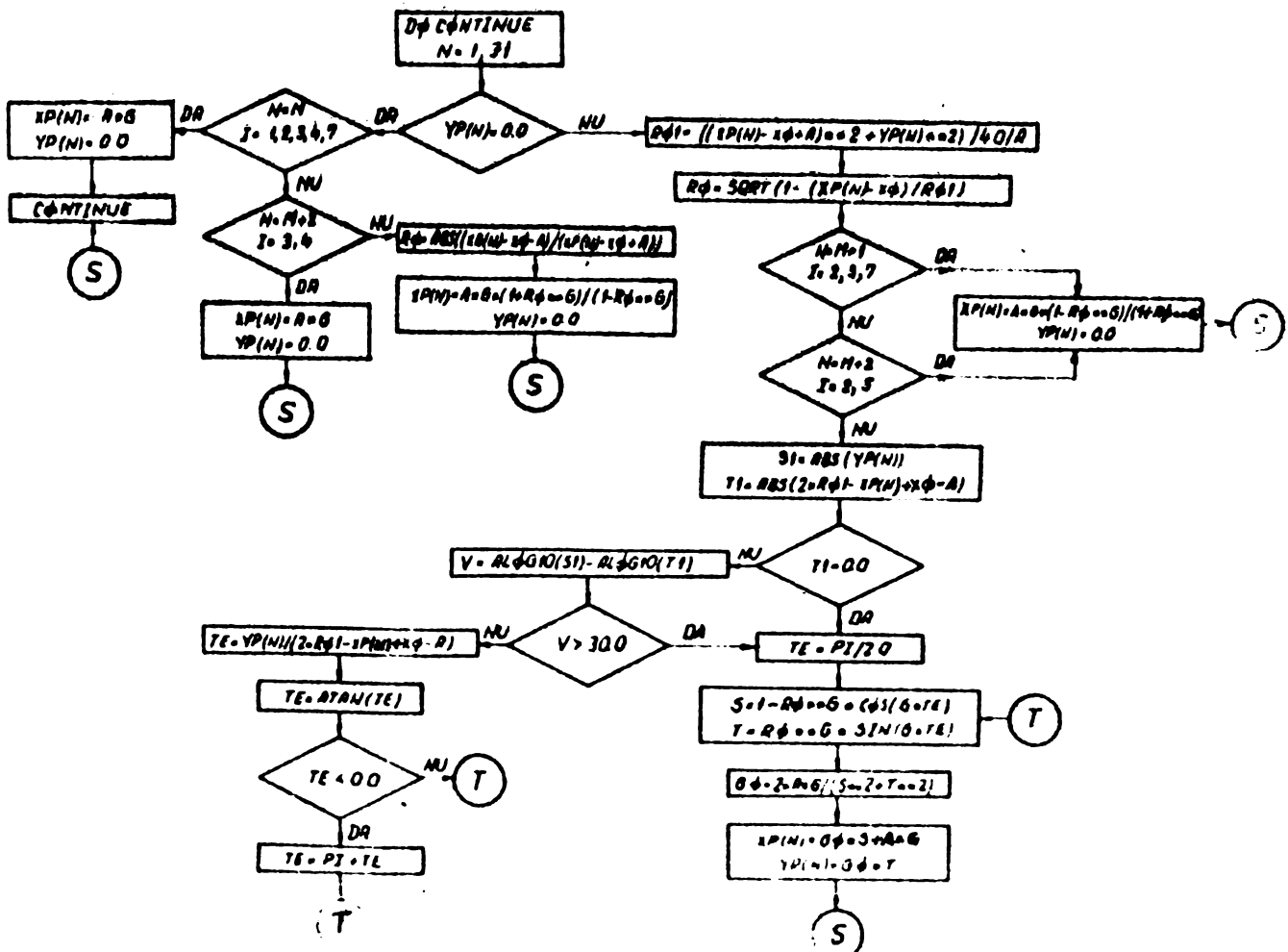


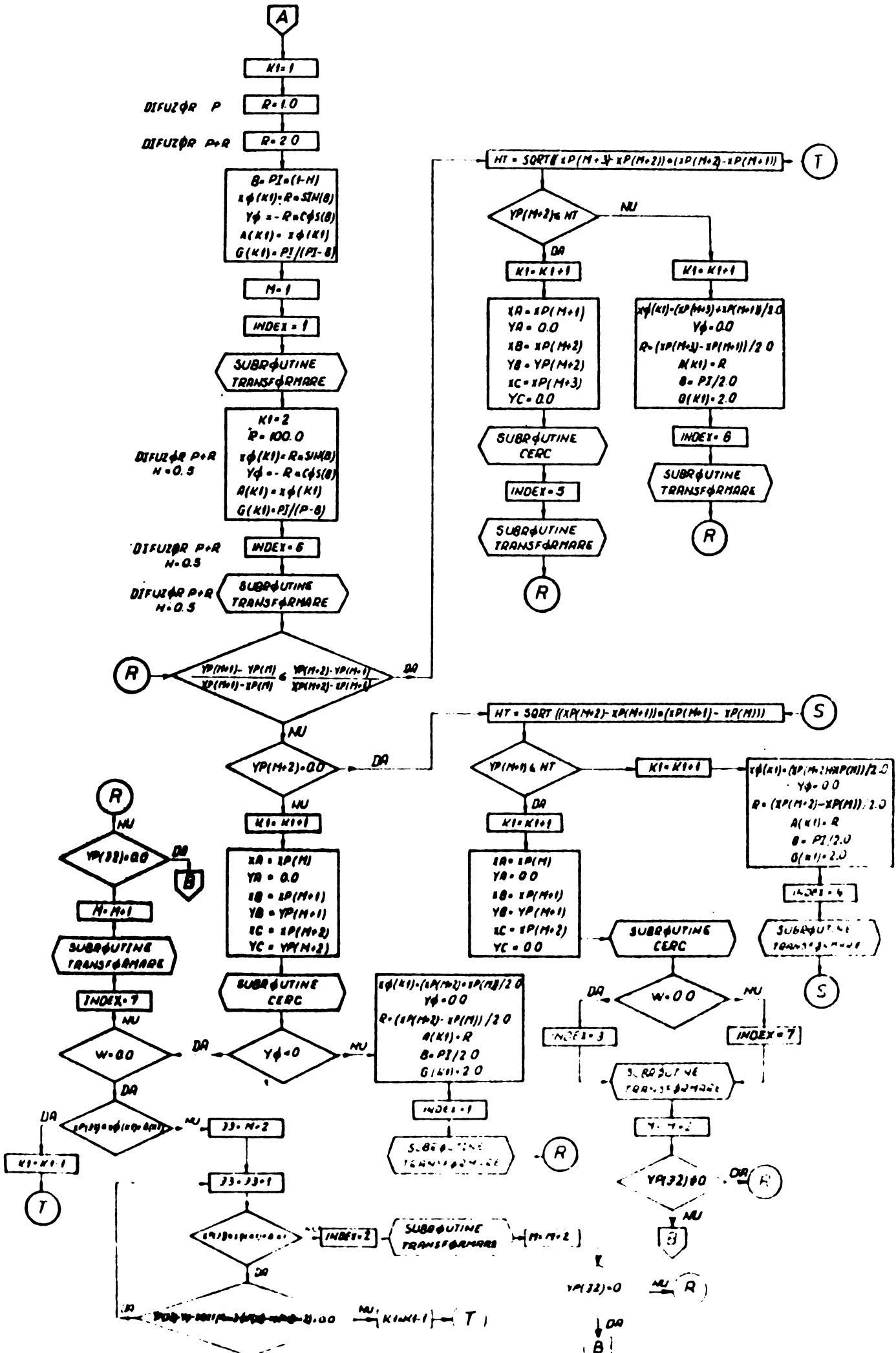
$$HT = \sqrt{(xP(M+2) - xP(M+1)) \cdot (xP(M+1) - xP(M))}$$

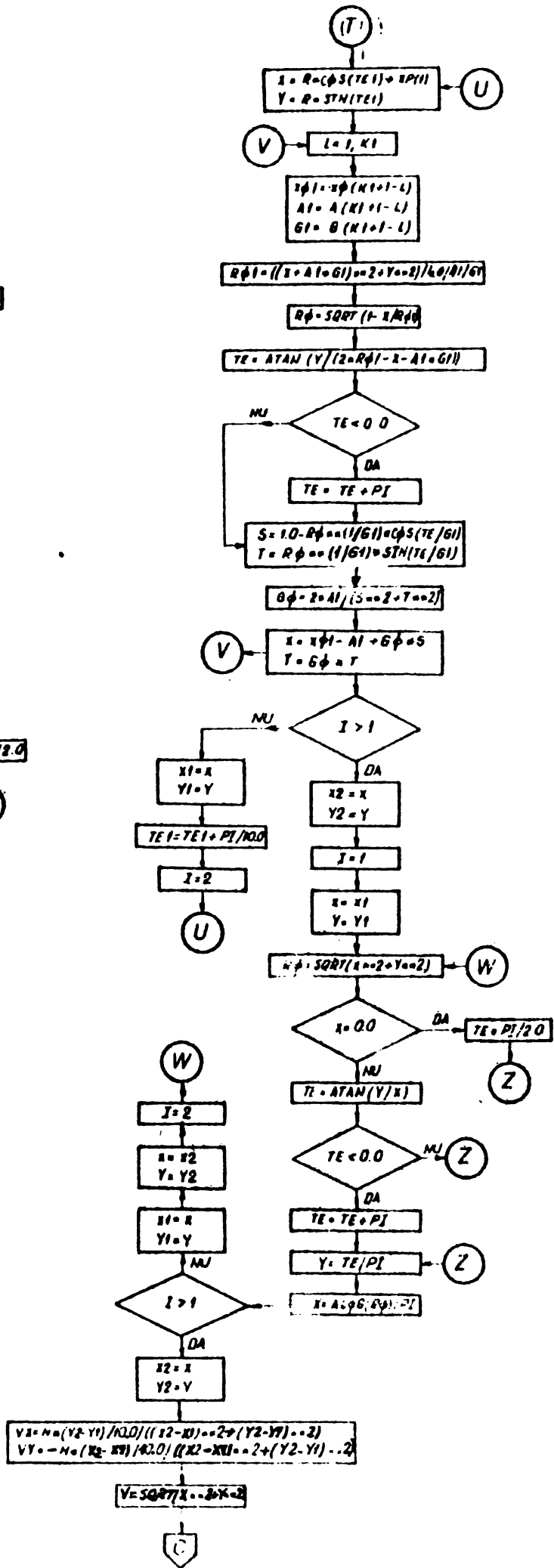
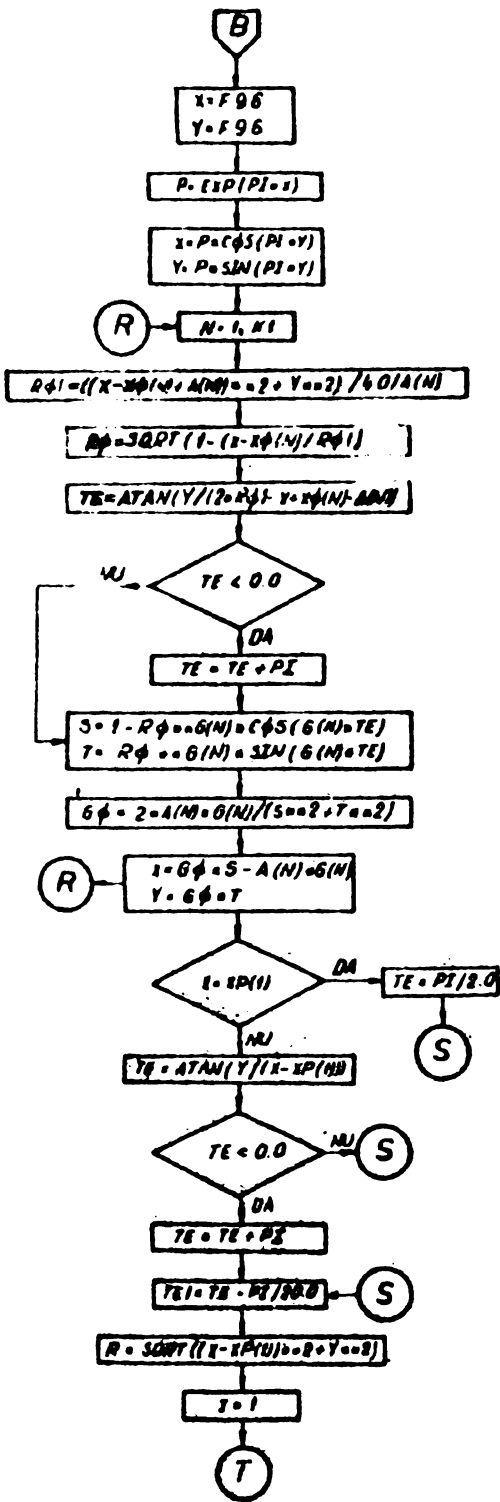
SUBROUTINE CERC

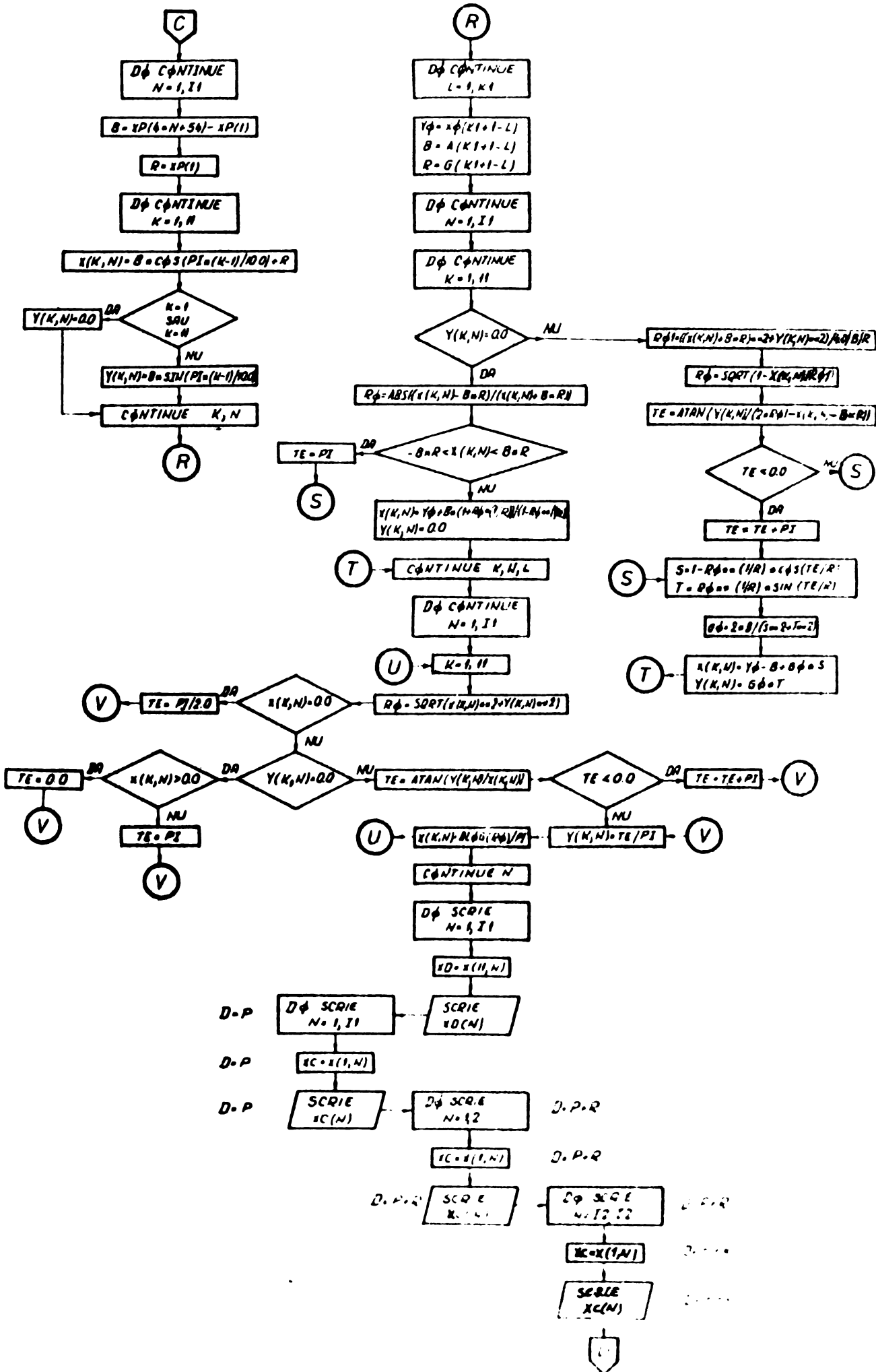


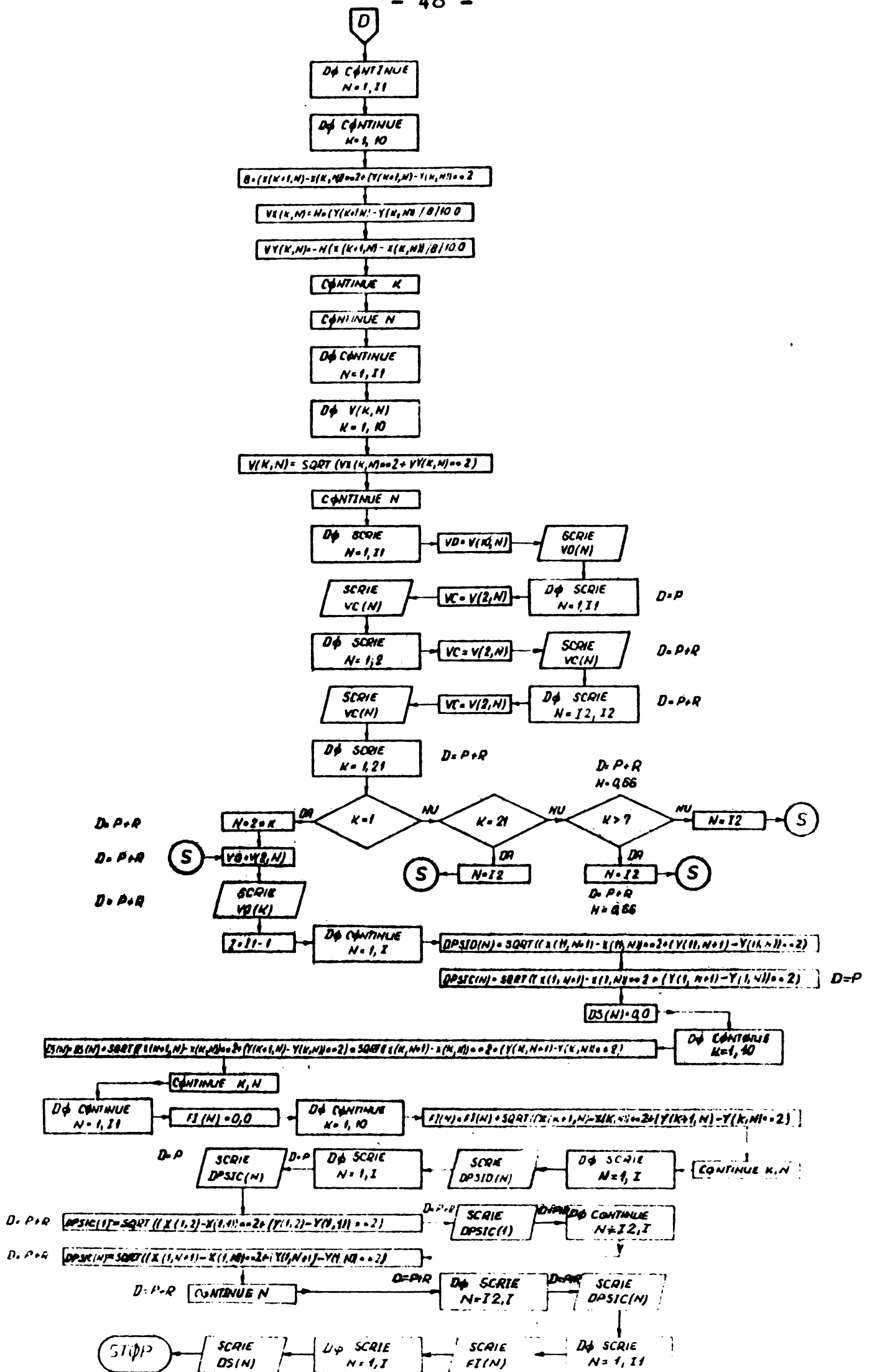
SUBROUTINE TRANSFORMARE



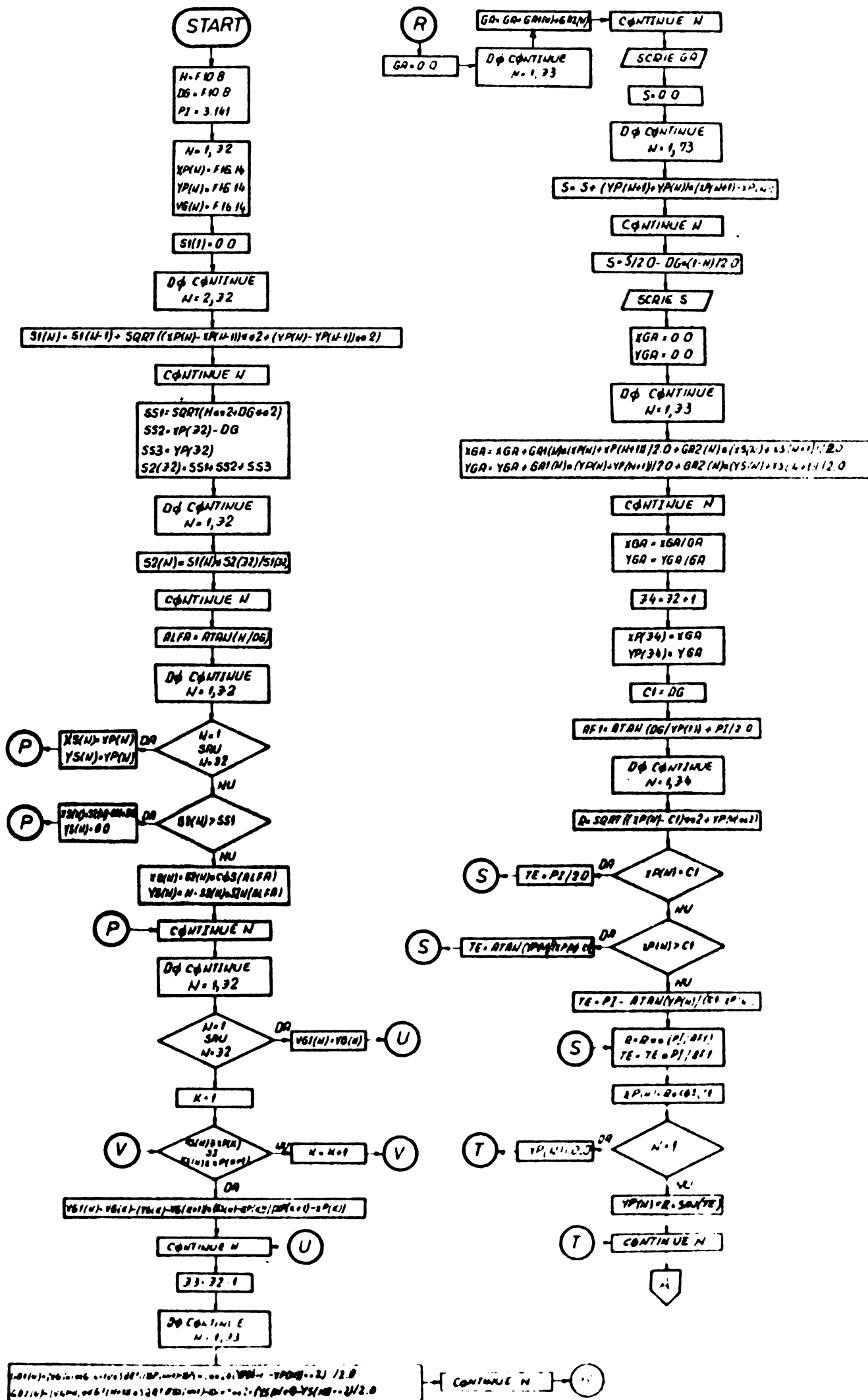


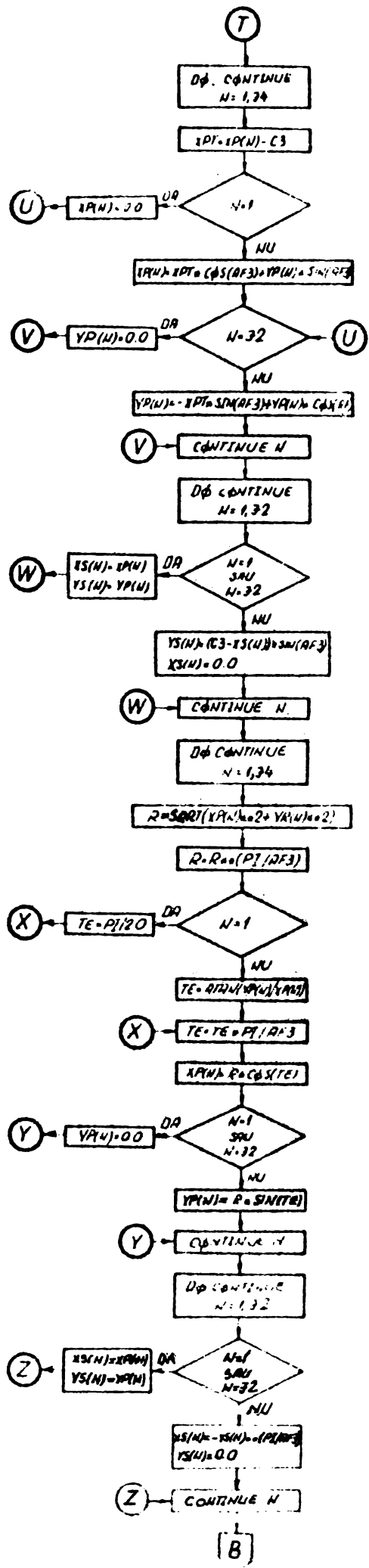
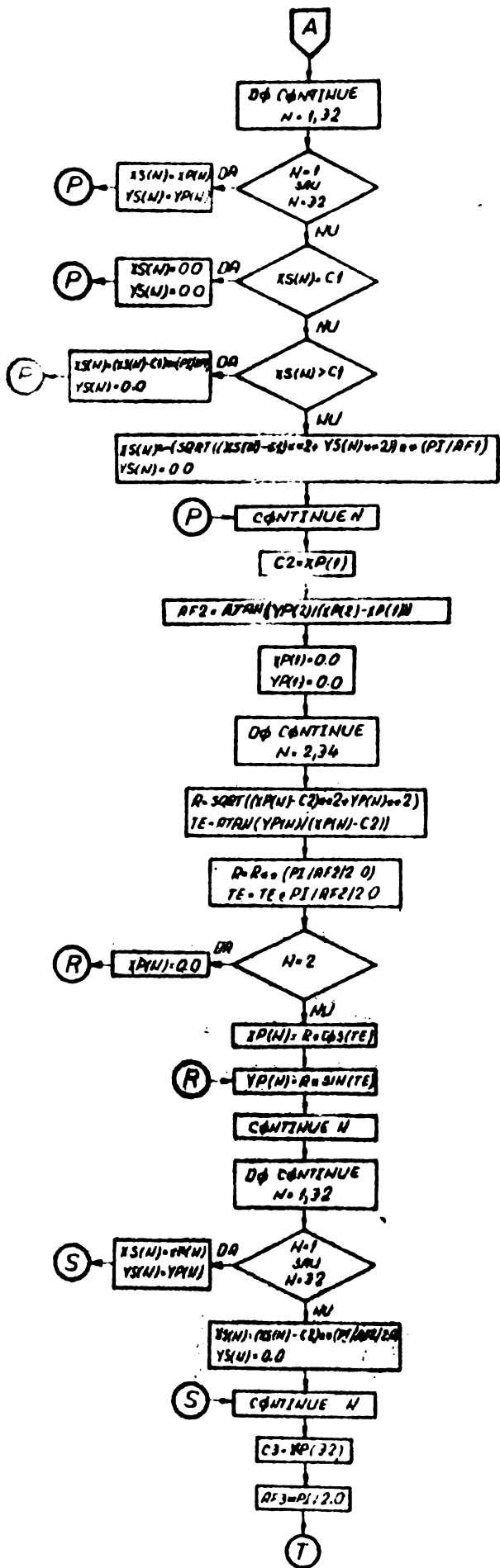


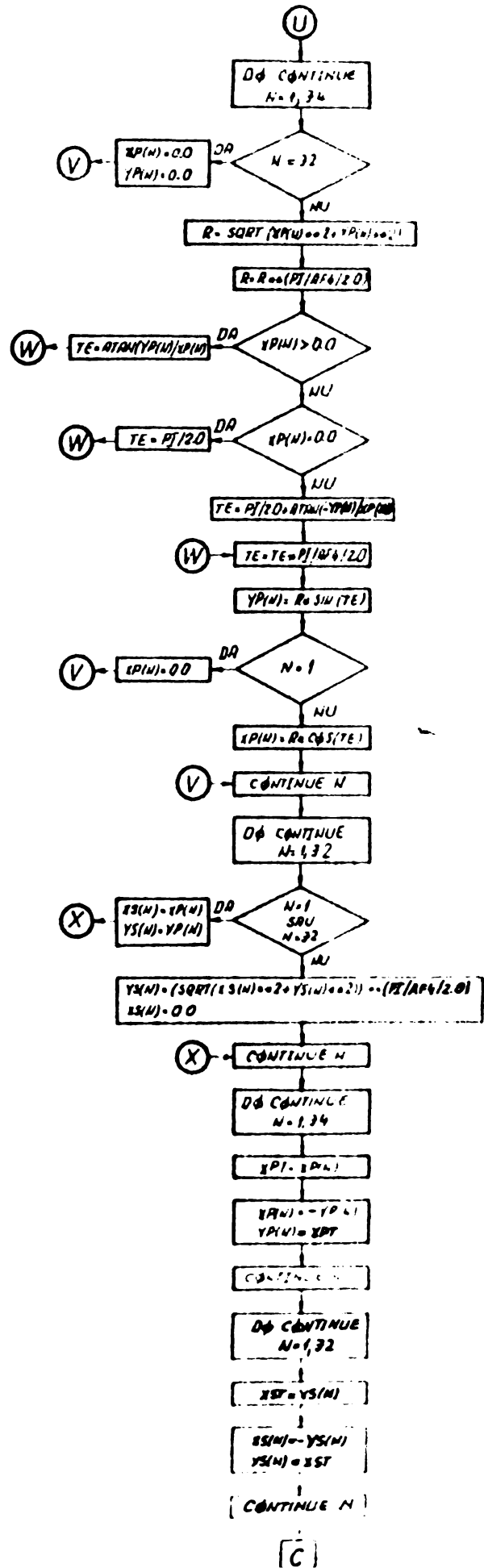
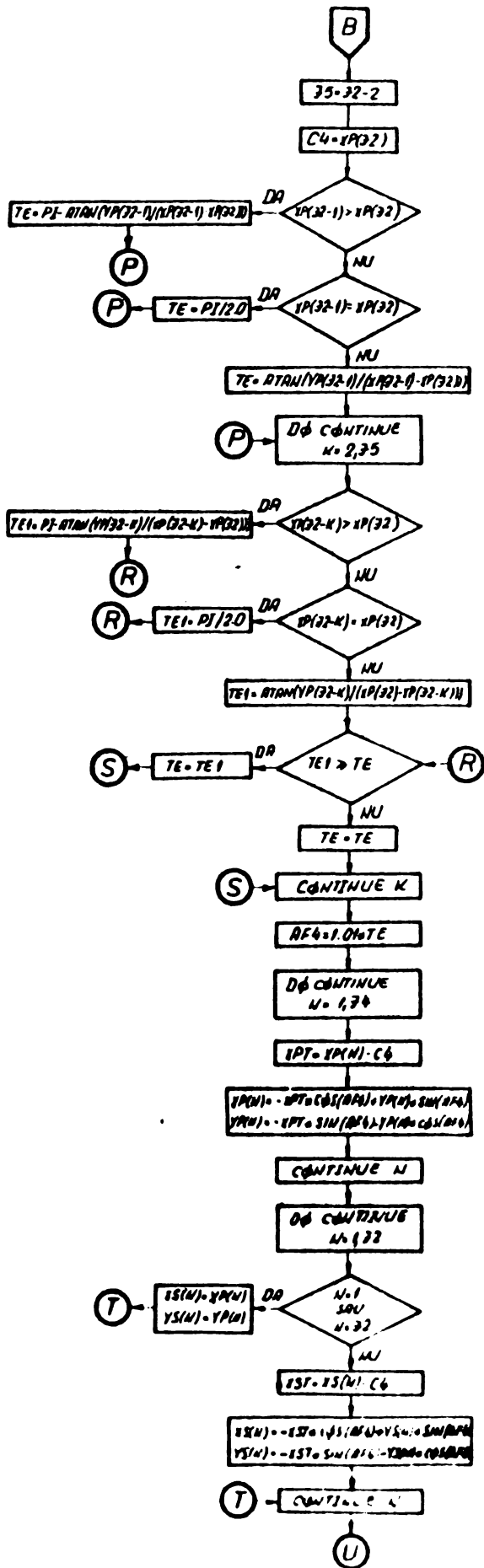




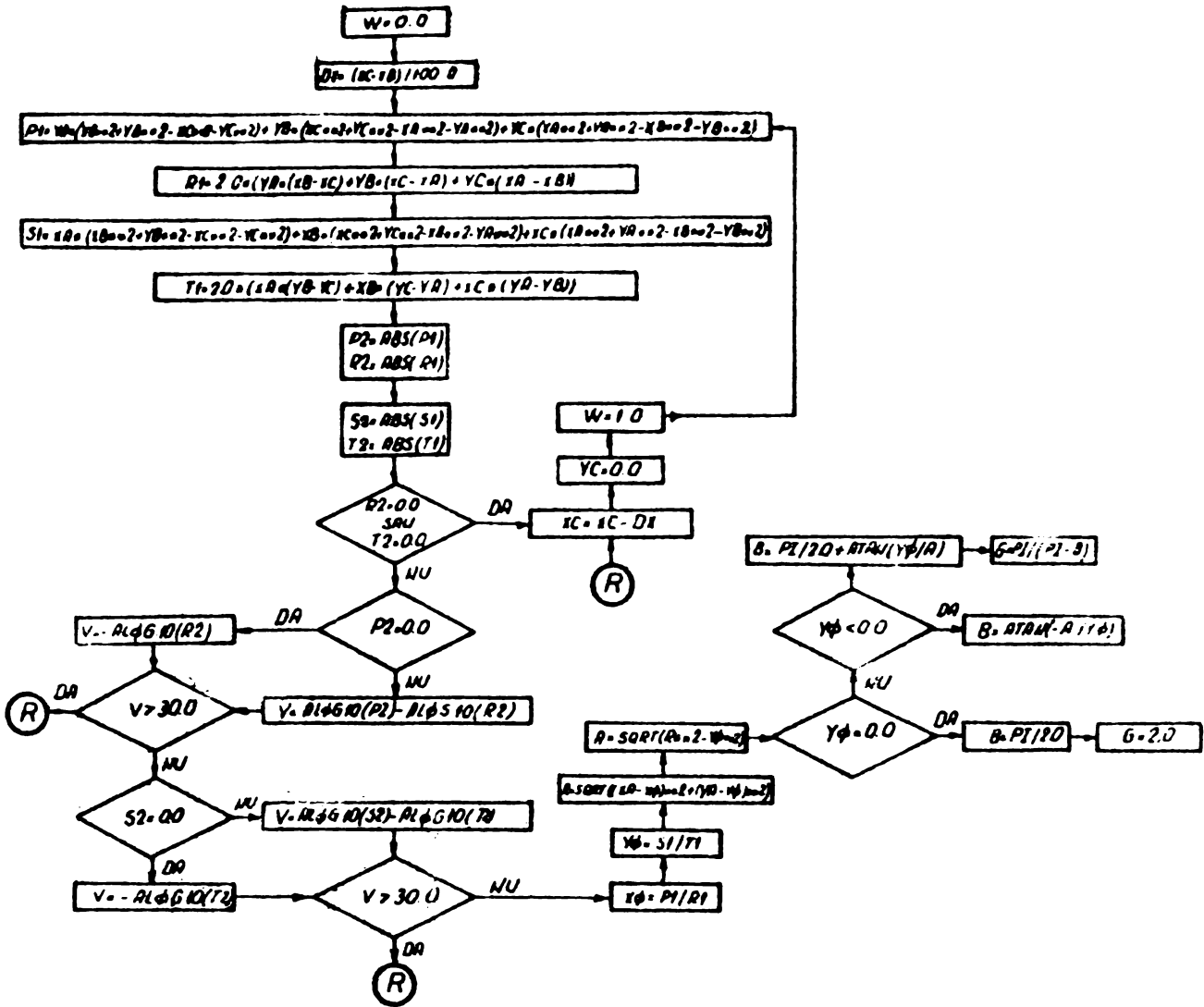
5.2 SCHEMA LOGICĂ-ZONA MIȘCĂRII ROTATIONALE



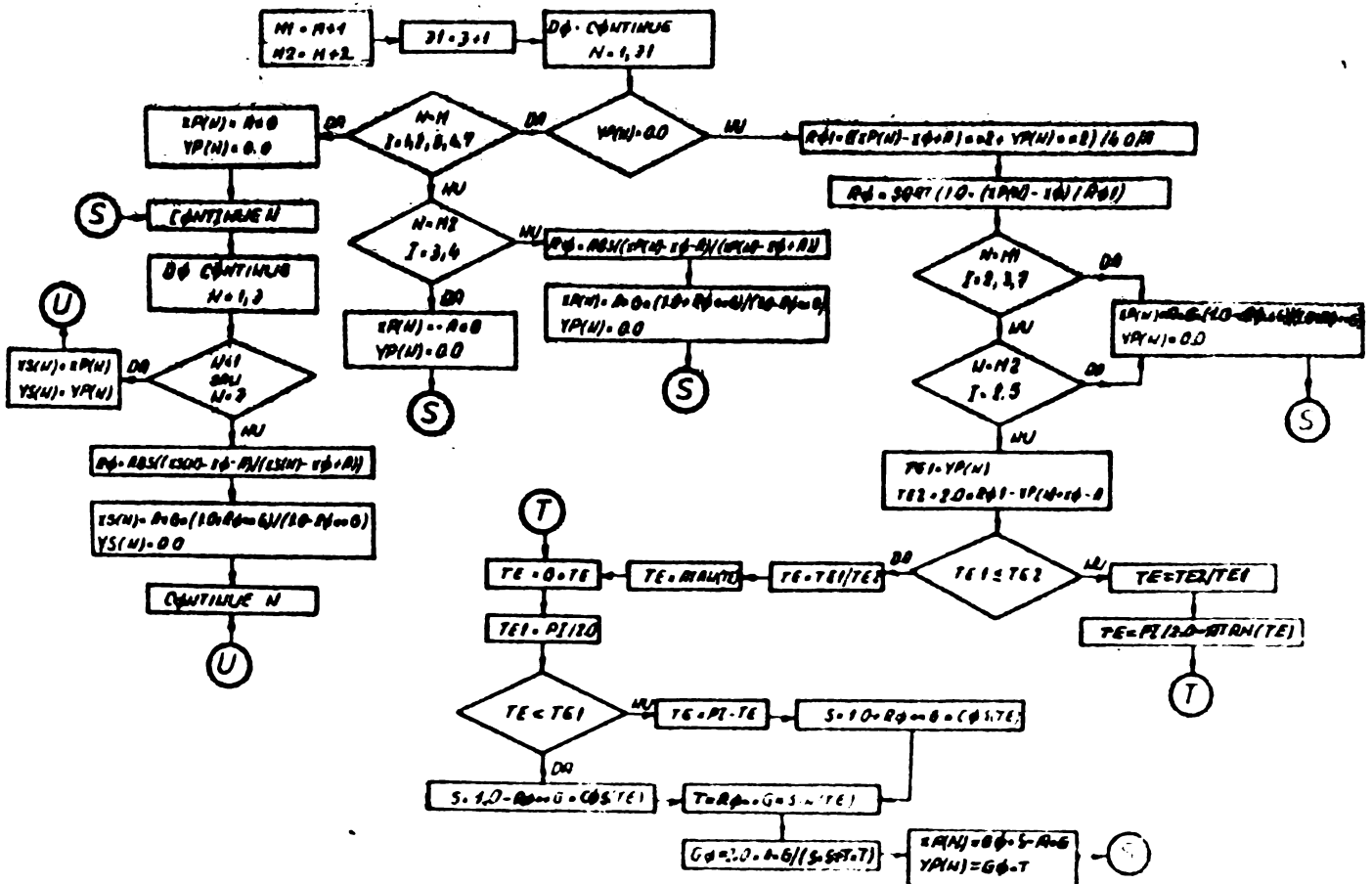


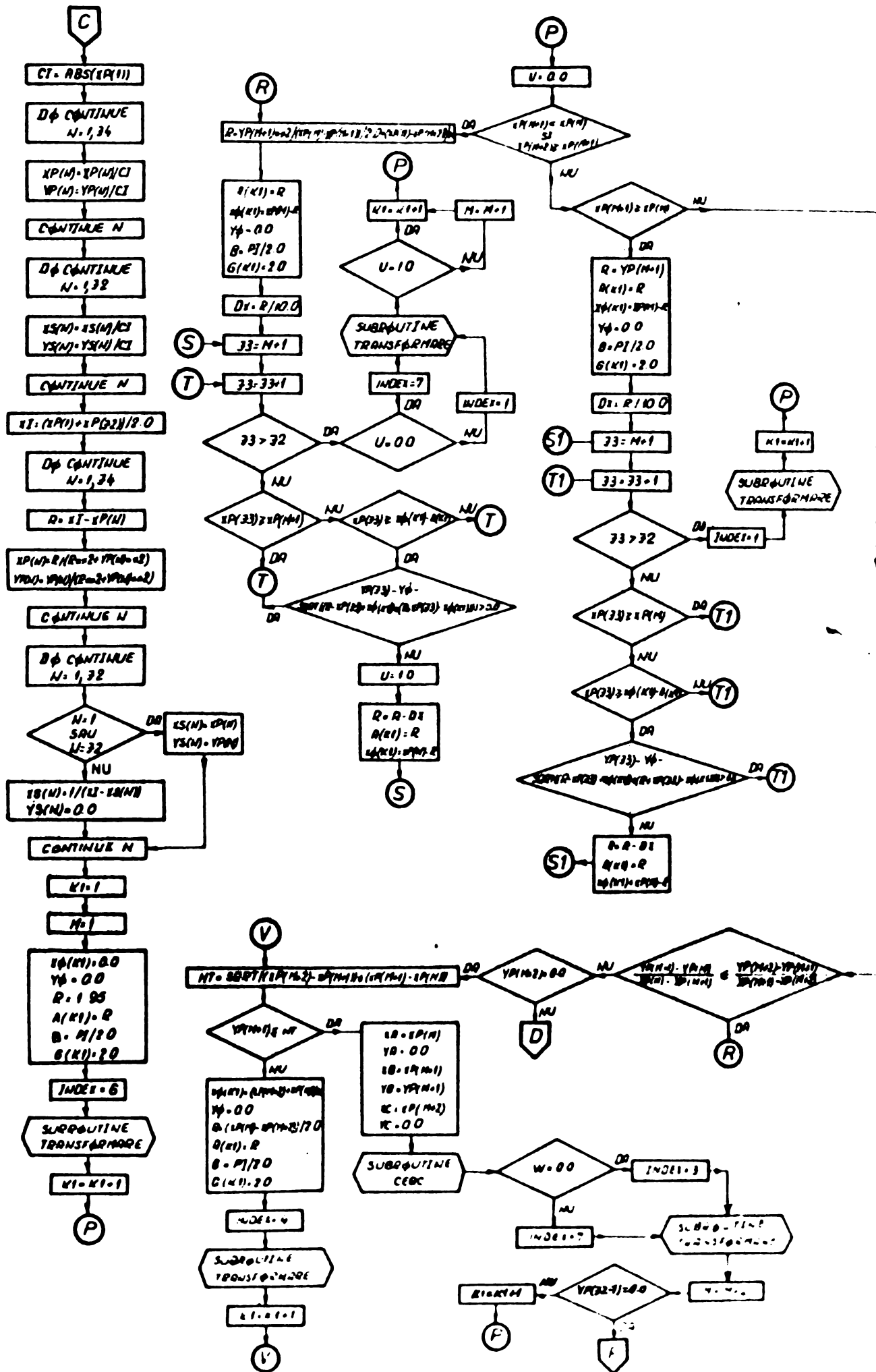


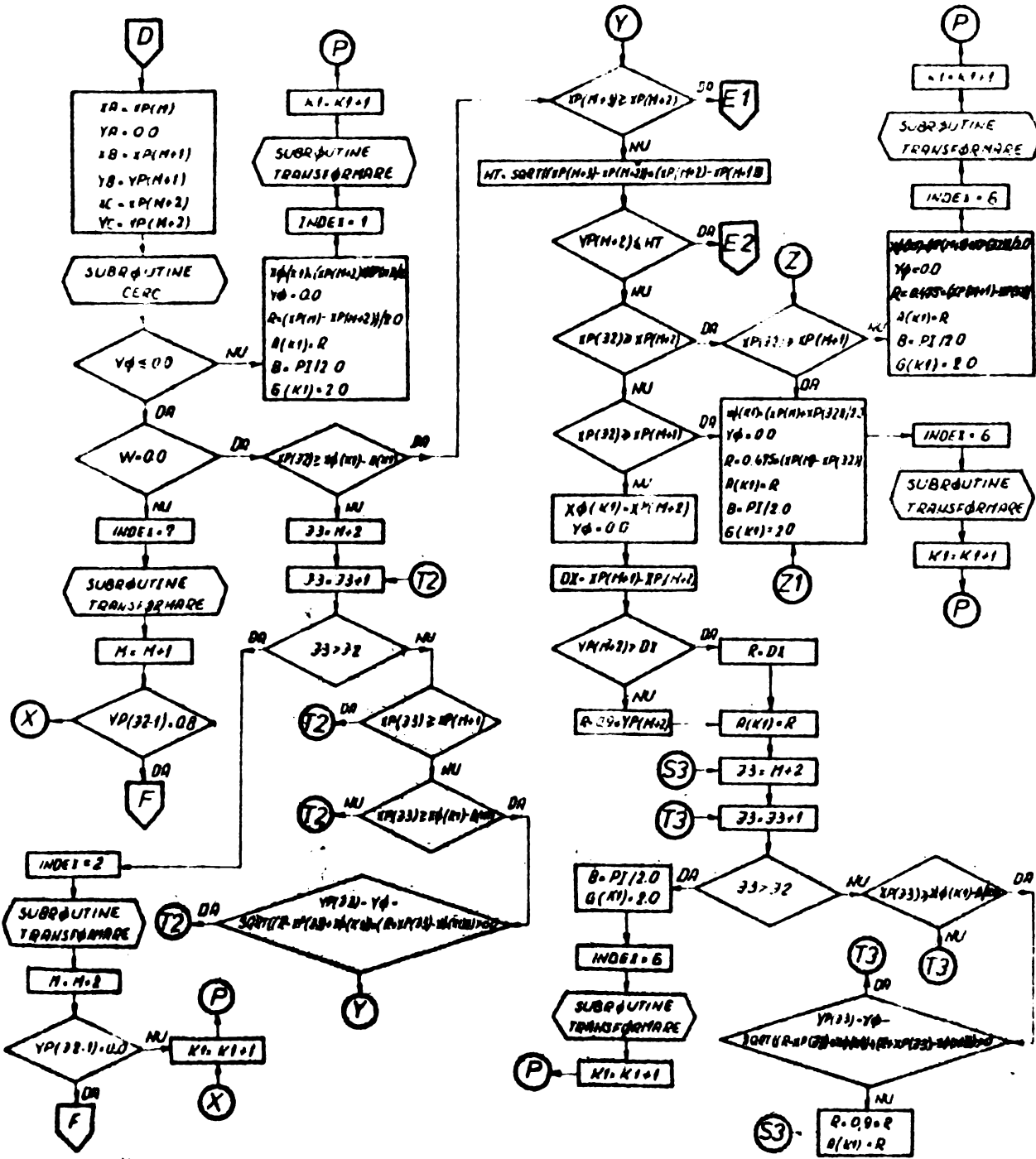
SUBROUTINE CERC

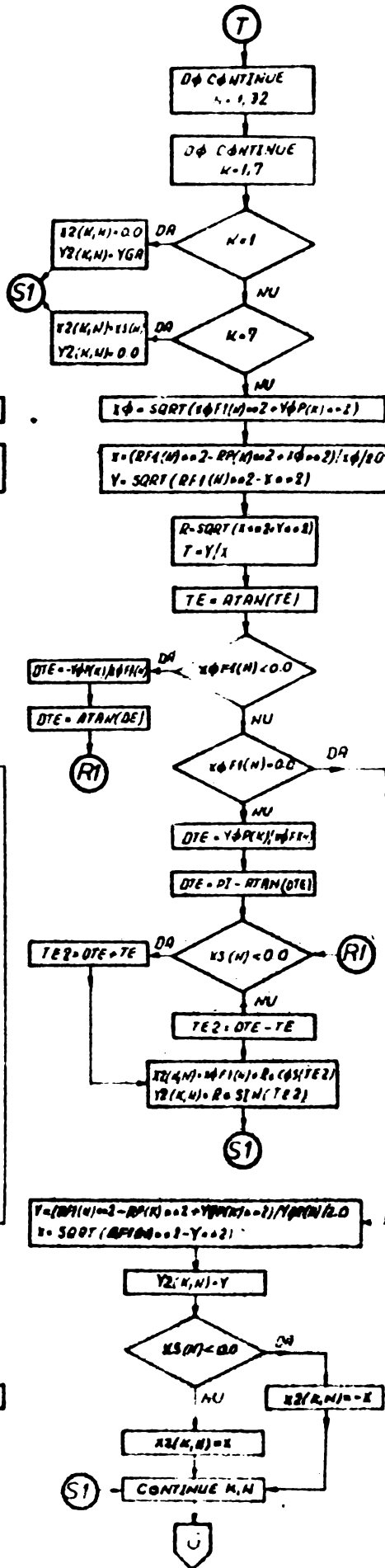
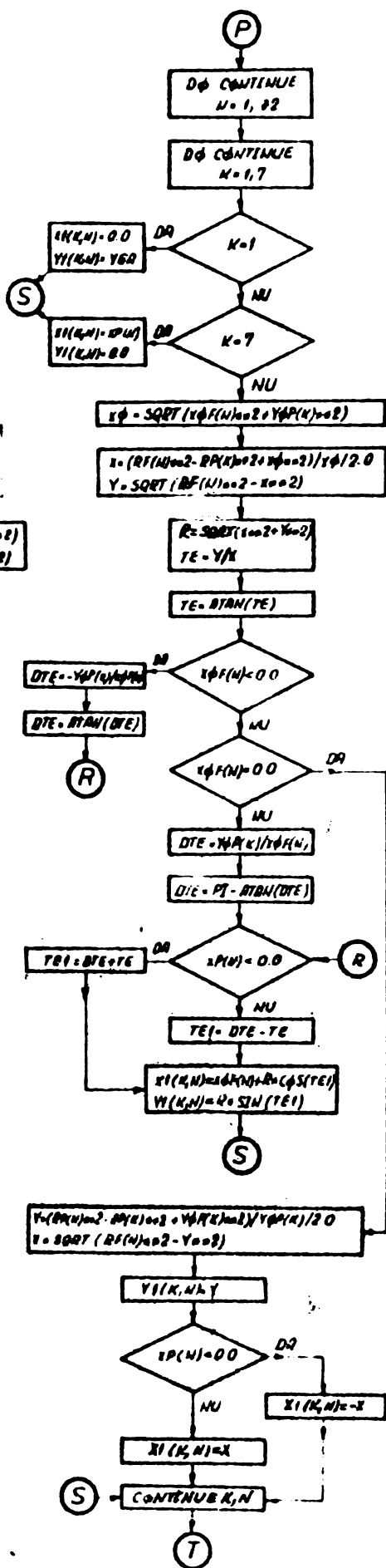
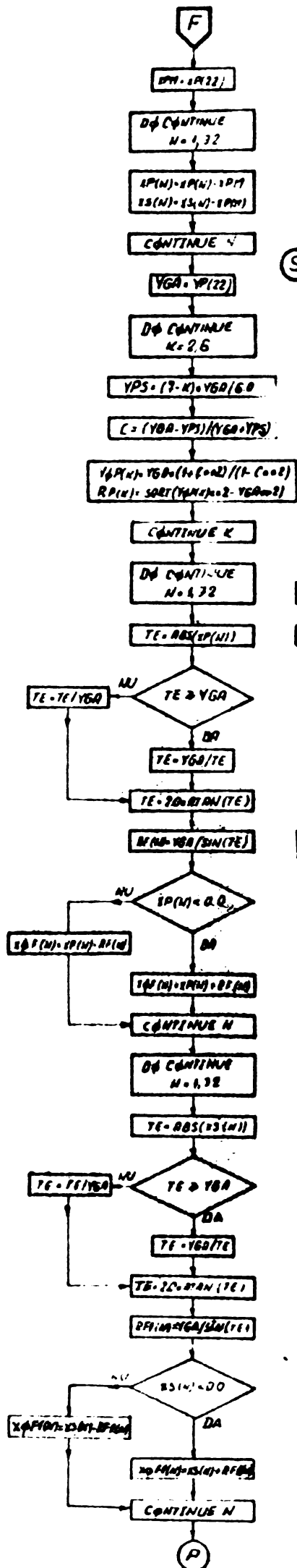


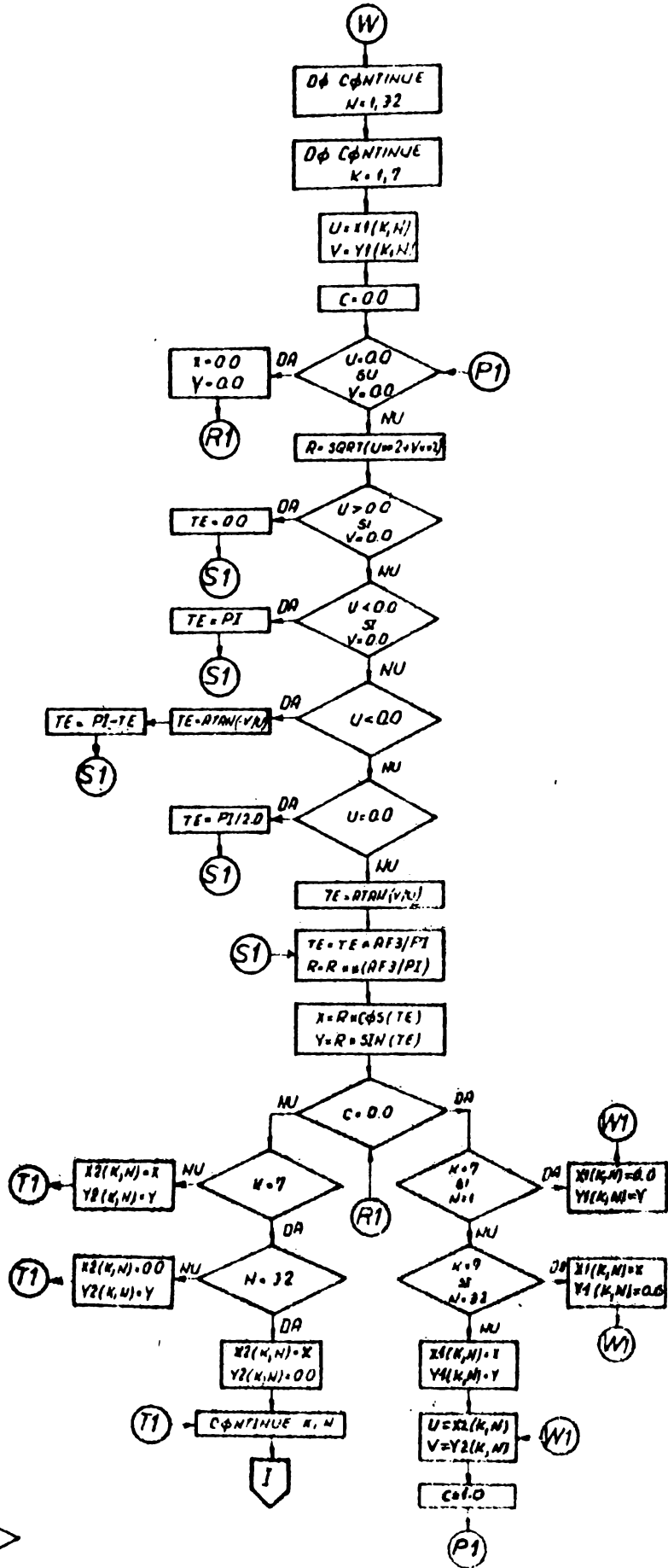
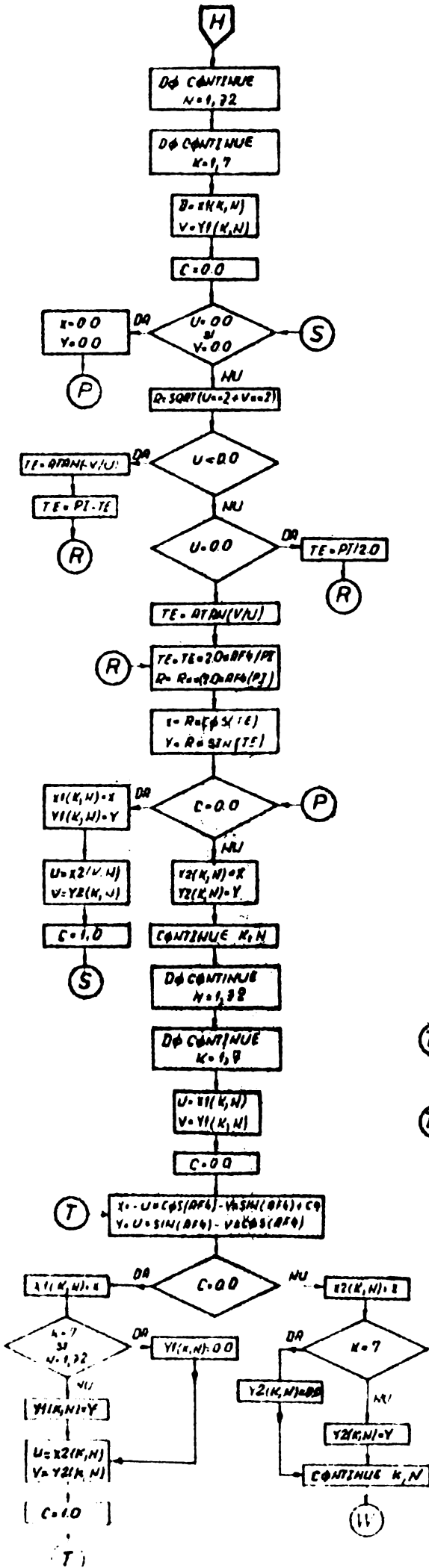
SUBROUTINE TRANSFORMARE

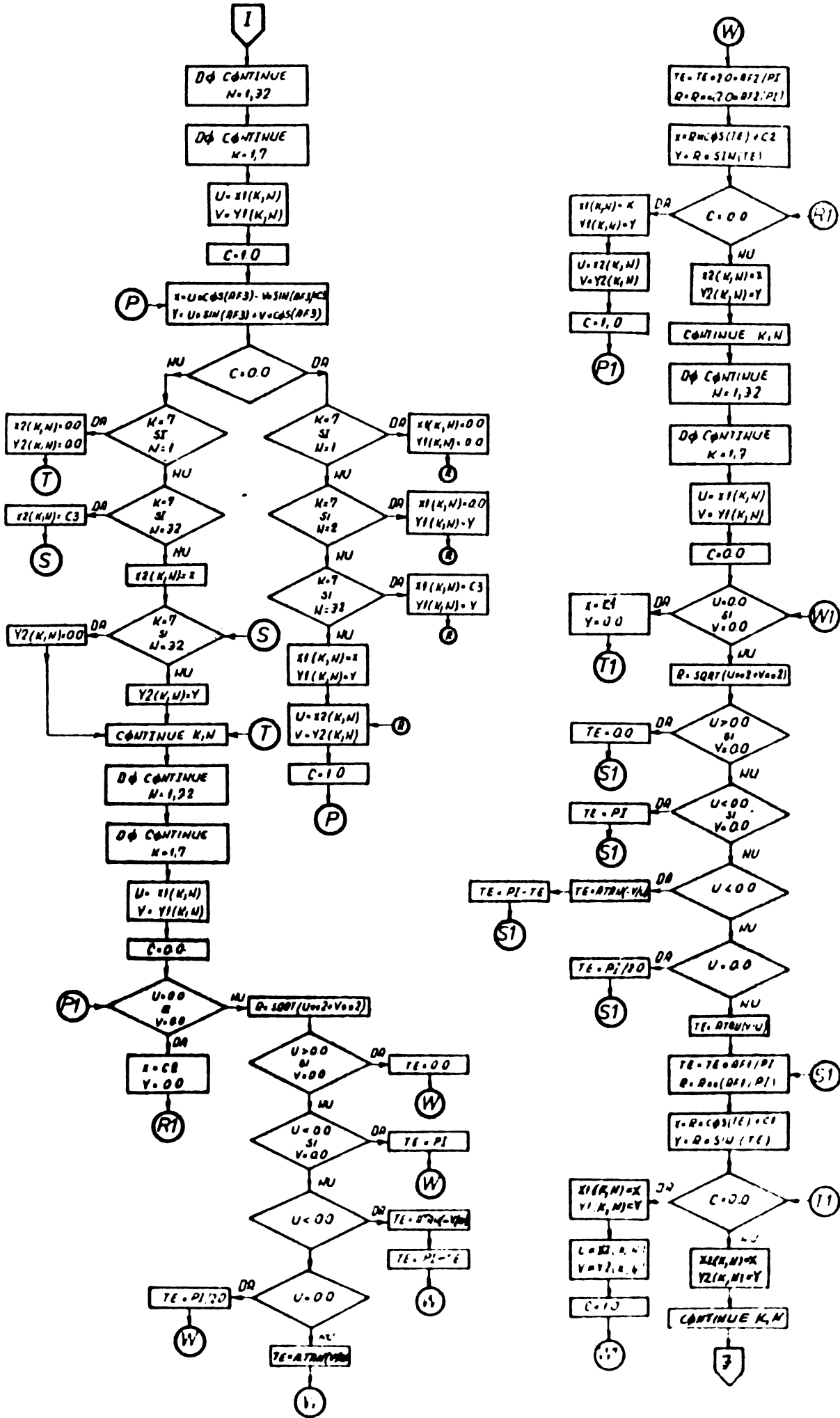


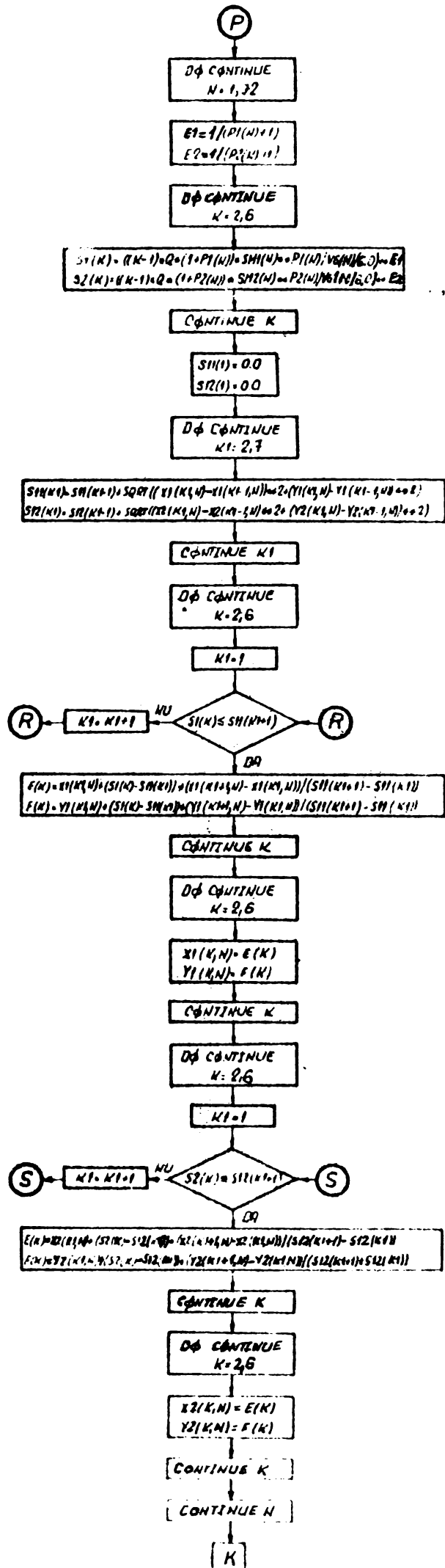
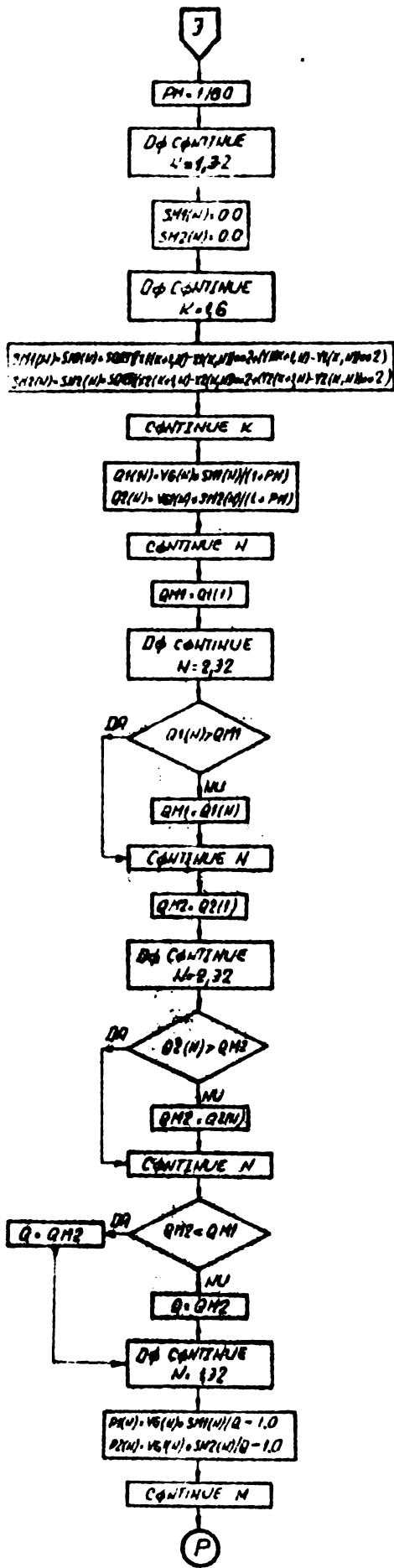


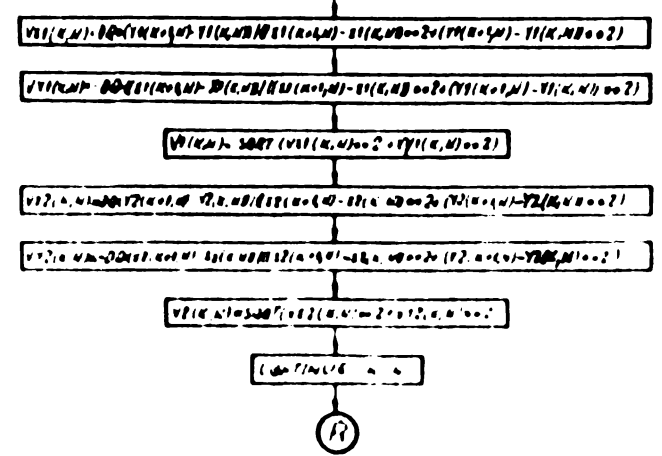
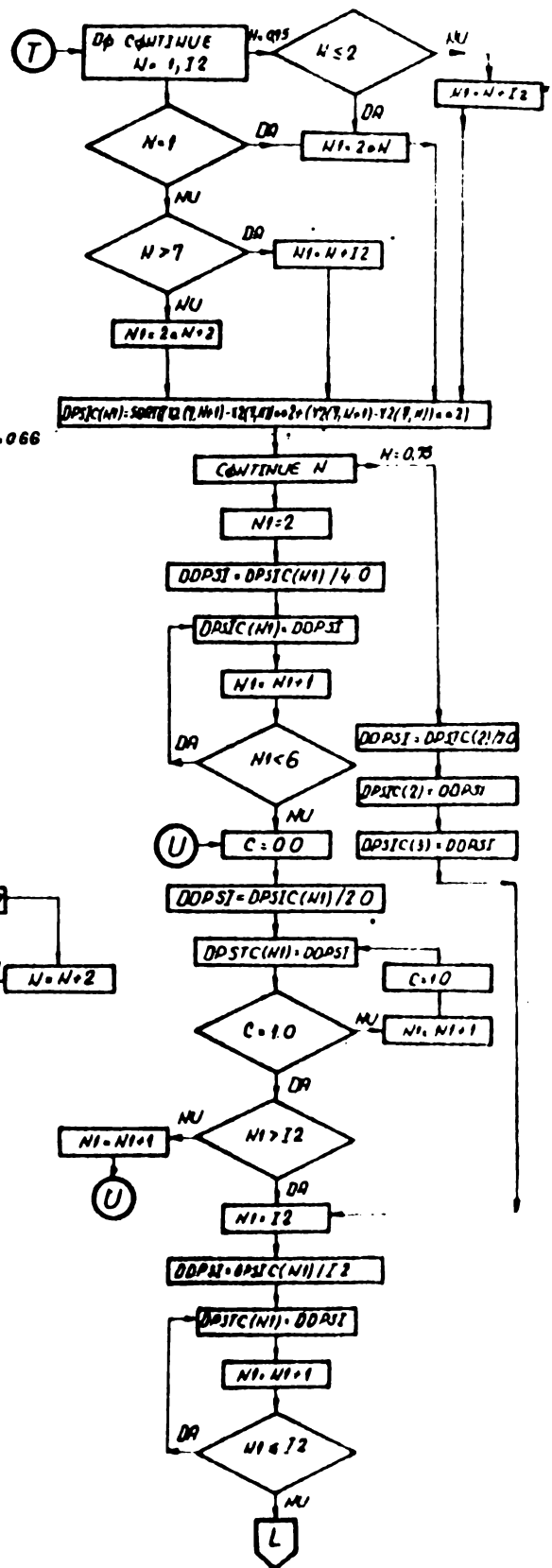
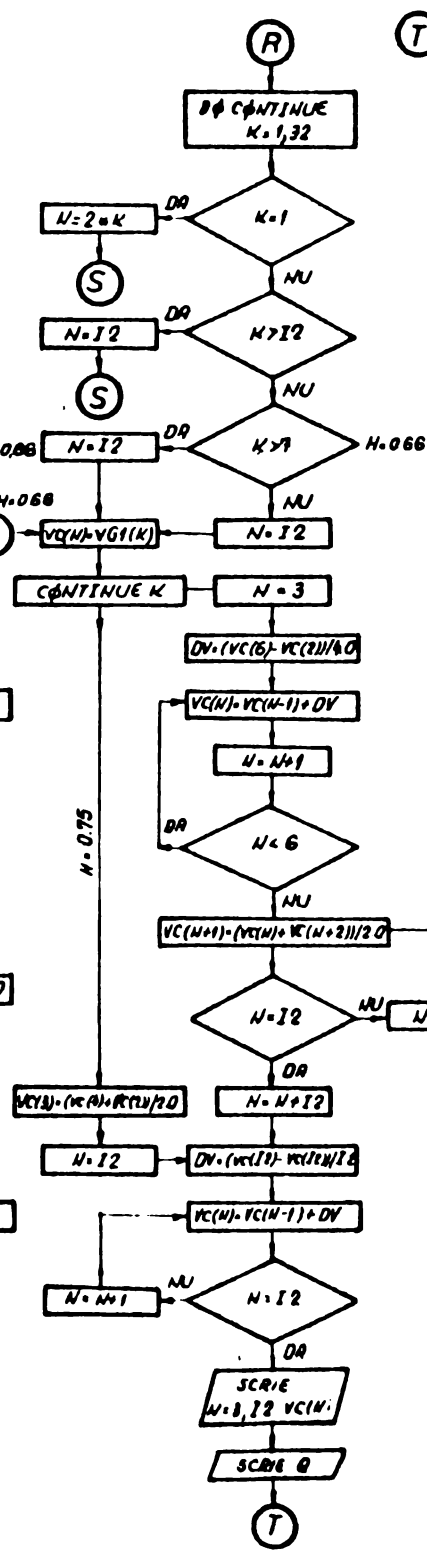
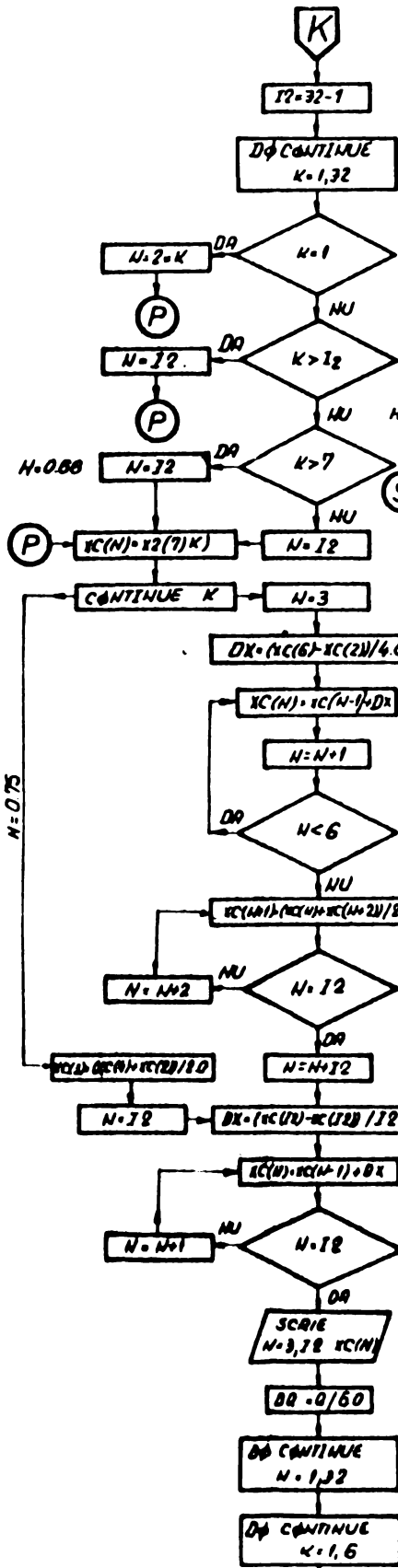












CAPITOLUL VI

LEGEA DE VARIATIE A PRESIUNII IN SEMIDIFUZOARE PLANE .
PENTRU FLUIDUL REAL INCOMPRESIBIL IN MISCARE TURBULENTA,
FARA DESPRINDERE.

6.1. Considerații generale

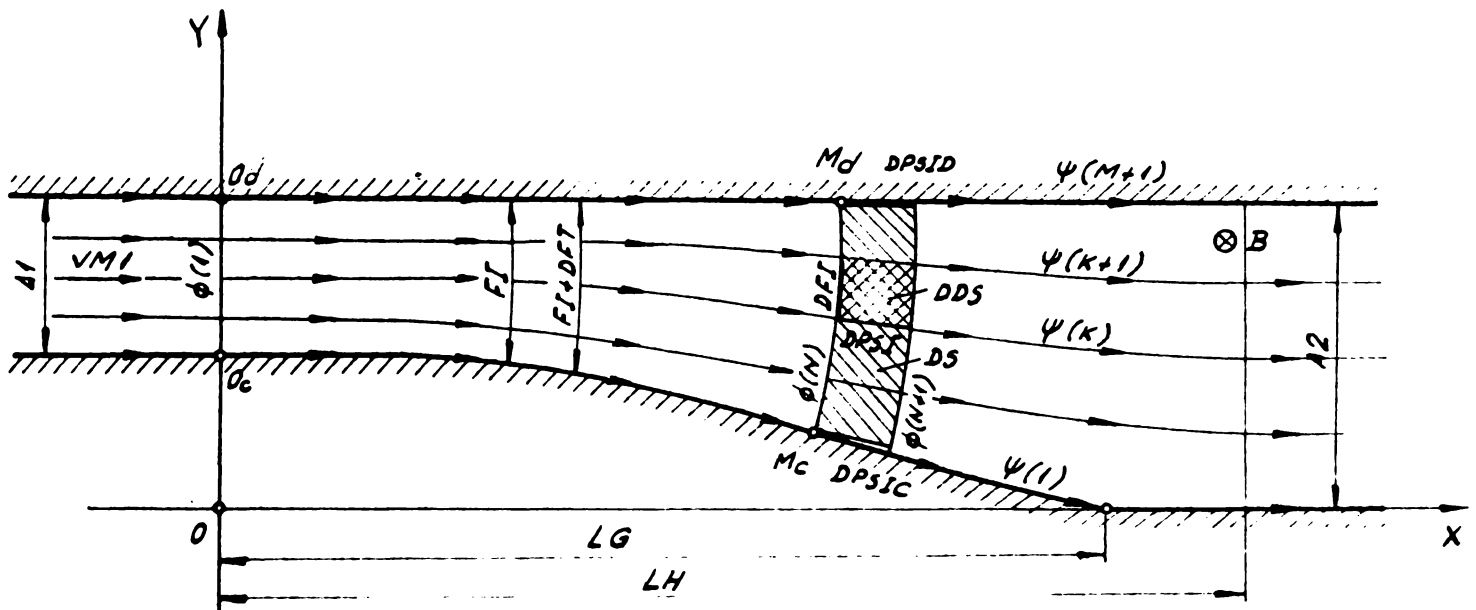


Fig. 6.1.

Bilanțul energetic al mișcării fluidului real incompresibil prin semidifuzorul plan fără desprindere se poate scrie sub forma:

$$p_1 + \frac{\rho v_1^2}{2} = p + \frac{\rho v^2}{2} + DP \quad (6.1)$$

In expresia de mai sus funcția DP reprezintă termenul care ține cont de faptul că fluidul este real.

Această funcție de presiune în cazul semidifuzoarelor plane fără desprindere are următoarea structură:

$$DP = DPF + DPD + DPP \quad (6.2)$$

Introducând notațiile:

$$p - p_1 = P ; \rho = \rho_0 ; v_1 = VM_1 ; v = V,$$

formula de calcul a presiunii va fi:

$$P = \frac{\rho_0 \cdot VM_1^2}{2} \left(1 - \left(\frac{V}{VM_1} \right)^2 \right) - DPF - DPD - DPP$$

Se admite că liniile de egală presiune coincid cu liniile echipotențiale ale mișcării potențiale ale fluidului ideal.

Având în vedere că $V=VM1.V(N)$, rezultă:

$$p = \frac{RO \cdot VM1^2}{2} (1 - V(N)^2) - DPF - DPD - DPP \quad (6.3)$$

Sensul fizic și expresiile matematice corespunzătoare ale funcțiilor de presiune DPF, DPD, DPP se analizează în cadrul paragrafelor următoare.

6.2. Funcția de presiune DPF (tip frecare cilindrică)

În prima etapă se consideră că semidifuzorul plan este format dintr-un număr infinit de tronsoane cilindrice cu diametre hidraulice diferite.

Considerând aceeași expresie pentru tensiuni tangențiale ca și în cazul mișcării turbulente prin conducte cilindrice:

$$\zeta = \lambda \frac{\rho}{8} v_m^2 \quad (6.4)$$

și egalând puterea pierdută corespunzătoare căderii de presiune $dDPF$, cu puterea consumată pentru învingerea frecărilor pe pereții rigizi ai semidifuzorului, rezultă:

$$\int_{Mc}^{Md} (dDPF \cdot B \cdot dFI) \cdot v = (\zeta \cdot B \cdot dPSIC) \cdot v + 2 \cdot \int_{Mc}^{Md} (\zeta \cdot dFI \cdot dPSI) \cdot v + (\zeta \cdot B \cdot dPSID) \cdot v \quad (6.5)$$

Având în vedere notațiile folosite în cadrul paragrafului 6.1, și introducând notațiile:

$$\lambda = CPL, \quad v_m = VM,$$

se obține:

$$\int_{Mc}^{Md} (dDPF \cdot B \cdot dFI) \cdot v = dDPF \cdot VM \cdot B \cdot \int_{Mc}^{Md} dFI = dDPF \cdot VM \cdot B \cdot FI;$$

$$(\zeta \cdot B \cdot dPSIC) \cdot v = CPL \cdot \frac{RO}{8} \cdot VM^3 \cdot B \cdot dPSIC;$$

$$\int_{Mc}^{Md} (\zeta \cdot dFI \cdot dPSI) \cdot v = CPL \cdot \frac{RO}{8} \cdot VM^3 \cdot \int_{Mc}^{Md} dFI \cdot dPSI = CPL \cdot \frac{RO}{8} \cdot VM^3 \cdot dS;$$

$$(\zeta \cdot B \cdot dPSID) \cdot v = CPL \cdot \frac{RO}{8} \cdot VM^3 \cdot B \cdot dPSID;$$

$$dDPF = \frac{RO}{8} \left(\frac{CPL \cdot VM^2}{FI} dPSIC + \frac{CPL \cdot VM^2}{FI} dPSID + \frac{2}{B} \cdot \frac{CPL \cdot VM^2}{FI} dS \right)$$

Căderea de presiune datorită frecării de tip cilindric de la începutul difuzorului pînă la linia echipotențială cu indicele N, va fi:

$$DPF = \frac{RQ}{8} \left(\int_{O_c}^{M_c} \frac{CPL \cdot VM^2}{FI} dPSIC + \int_{O_d}^{M_d} \frac{CPL \cdot VM^2}{FI} dPSID + \frac{2}{B} \int_{\Phi(1)}^{\Phi(N)} \frac{CPL \cdot VM^2}{FI} dS \right)$$

Din ecuația de continuitate rezultă:

$$VM = VM_1 \cdot \frac{A_1}{FI}$$

Funcția de presiune DPF se poate scrie sub forma:

$$DPF = \frac{RQ \cdot VM_1^2 \cdot A_1^2}{8} \left(\int_{O_c}^{M_c} \frac{CPL}{FI^3} dPSIC + \int_{O_d}^{M_d} \frac{CPL}{FI^3} dPSID + \frac{2}{B} \int_{\Phi(1)}^{\Phi(N)} \frac{CPL}{FI^3} dS \right)$$

In cadrul experiențelor mișcarea a fost turbulentă.

In acest caz:

$$\lambda = 0,1 \cdot \left(1,46 \cdot \frac{K}{D_h} + \frac{100}{Re} \right)^{0,25}, \quad D_h = \frac{4 \cdot S}{P} = \frac{2 \cdot B \cdot FI}{B + FI}, \quad Re = \frac{v_m \cdot D_h}{\nu}$$

Introducînd notațiile:

$$\nu = CV; \quad K = R; \quad D_h = DH; \quad Re = RE$$

și exprimînd mărimile dimensionale în funcție de cele adimensionale:

$$FI = A_1 \cdot FI(I)/H; \quad dPSIC = A_1 \cdot DPSIC(I)/H; \quad dPSID = A_1 \cdot DPSID(I)/H;$$

$$dS = A_1^2 \cdot DS(I)/H^2$$

rezultă următoarele formule de calcul:

$$DH = \frac{2 \cdot A_1 \cdot B \cdot FI(I)}{B \cdot H + A_1 \cdot FI(I)}, \quad RE = \frac{2 \cdot A_1 \cdot B \cdot VM_1}{CV \cdot (B + A_1 \cdot FI(I)/H)}, \quad CPL = 0,1 \cdot \left(1,46 \cdot \frac{R}{DH} + \frac{100}{RE} \right)^{0,25} \quad (6.6)$$

Aproximînd integralele prin sumă rezultă următoarea expresie pentru funcția de presiune DPF:

$$DPF = \frac{RQ \cdot VM_1^2 \cdot H^2}{8} \sum_{I=1}^N \frac{CPL}{FI^3(I)} \cdot \left(DPSIC(I) + DPSID(I) + \frac{2 \cdot A_1}{B \cdot H} DS(I) \right) \quad (6.7)$$

6.3. Funcția de presiune DPD (tip divergență)

Comparând curba de distribuție reală a presiunii cu curba rezultantă $P_{ideal-DPF}$ se constată existența unui deficit de presiune la ieșirea fluidului din difuzor. Explicația acestui deficit de presiune se bazează pe faptul că tensiunile tangențiale în acest caz sînt mai mari decît în cazul conductelor cilindrice, din cauza divergenței spațiului în care se deplasează fluidul. Ca măsură a divergenței se introduce raportul: $\frac{dFI}{FI}$.

Presupunînd că pierderea suplimentară de presiune este proporțională cu energia cinetică locală și cu divergența locală, rezultă:

$$dPDP = C \cdot \frac{\rho v_m^2}{2} \frac{dFI}{FI} \quad (6.8)$$

Avînd în vedere ecuația de continuitate:

$$v_m = v_{m1} \frac{A1}{FI},$$

rezultă:

$$dDPD = C \cdot \frac{\rho v_m^2}{2} \cdot A1^2 \cdot \frac{dFI}{FI^3},$$

$$DPD = C \cdot \frac{\rho v_{m1}^2}{2} \cdot A1^2 \cdot \int_{A1}^{FI} \frac{dFI}{FI^3} = \frac{C}{2} \cdot \frac{\rho v_{m1}^2}{2} \left(1 - \left(\frac{A1}{FI} \right)^2 \right)$$

Avînd în vedere notațiile anterioare și notînd: $\frac{C}{2} = CPD$, rezultă pentru funcția de presiune DPD expresia:

$$DPD = CPD \cdot \frac{RO \cdot VM1^2}{2} \left(1 - \left(\frac{H}{FI(N)} \right)^2 \right), \quad (6.9)$$

în care

$$CPD = 0,04 \quad (6.10)$$

valoare rezultată din prelucrarea rezultatelor experimentale.

6.4. Funcția de presiune DPP (tip Pearson)

În cadrul lucrării au fost studiate semidifuzoarele plane care respectă condiția geometrică: $LG < 12(A2-A1)$.

În acest caz, indiferent de valoarea lui LG , s-a constatat că lungimea hidraulică la care practic curentul de fluid este din nou uniformizat are valoarea: $LH = 12(A2-A1)$.

Din prelucrarea rezultatelor experimentale se constată că, în afara căderilor de presiune DPF și DPD, în difuzor apare și o altă funcție diferență de presiune, care are valoarea zero

pentru $X=0$, respectiv $X=LH$ și atinge un maxim pentru $X=LH/2$.

Analizând comparativ distribuția reală de presiune și funcția P_{ideal} -DPF-DPD, s-a constatat necesară introducerea unei funcții de presiune, care se poate aproxima printr-o funcție de distribuție de tip Pearson I:

$$DPP = CPP \cdot \frac{\rho \cdot v_{m1}^2}{2} \left(\frac{X}{LH/2} \right)^{0,5} \left(2 - \frac{X}{LH/2} \right)^{0,5} \quad (6.11)$$

Având în vedere că:

$$LH = 12(A2 - A1),$$

rezultă:

$$DPP = CPP \cdot \frac{\rho \cdot v_{m1}^2}{2} \left(\frac{X}{6 \cdot (A2 - A1)} \right)^{0,5} \cdot \left(2 - \frac{X}{6 \cdot (A2 - A1)} \right)^{0,5}$$

Având în vedere notațiile deja introduse și exprimând mărimile dimensionale cu ajutorul celor adimensionale:

$$A = A1 \cdot XD(N)/H, \quad A2 - A1 = A1 \cdot (1 - H)/H$$

se obține următoarea expresie pentru funcția de presiune DPP:

$$DPP = CPP \cdot \frac{\rho_0 \cdot v_{m1}^2}{2} \left(\frac{XD(N)}{6 \cdot (1 - H)} \right)^{0,5} \cdot \left(2 - \frac{XD(N)}{6 \cdot (1 - H)} \right)^{0,5} \quad (6.12)$$

Din prelucrarea rezultatelor experimentale pentru coeficientul CPP a rezultat expresia:

$$CPP = 0,43 \cdot ARCTG((1 - H)/A1/H/LG) \cdot (1 - H)/H \quad (6.13)$$

CAPITOLUL VII

LEGEA DE VARIATIE A PRESIUNII IN SEMIDIFUZOARE PLANE
PENTRU FLUIDUL REAL INCOMPRESIBIL, IN MISCARE TURBULENTA,
CU DESPRINDERE

7.1. Considerații generale.

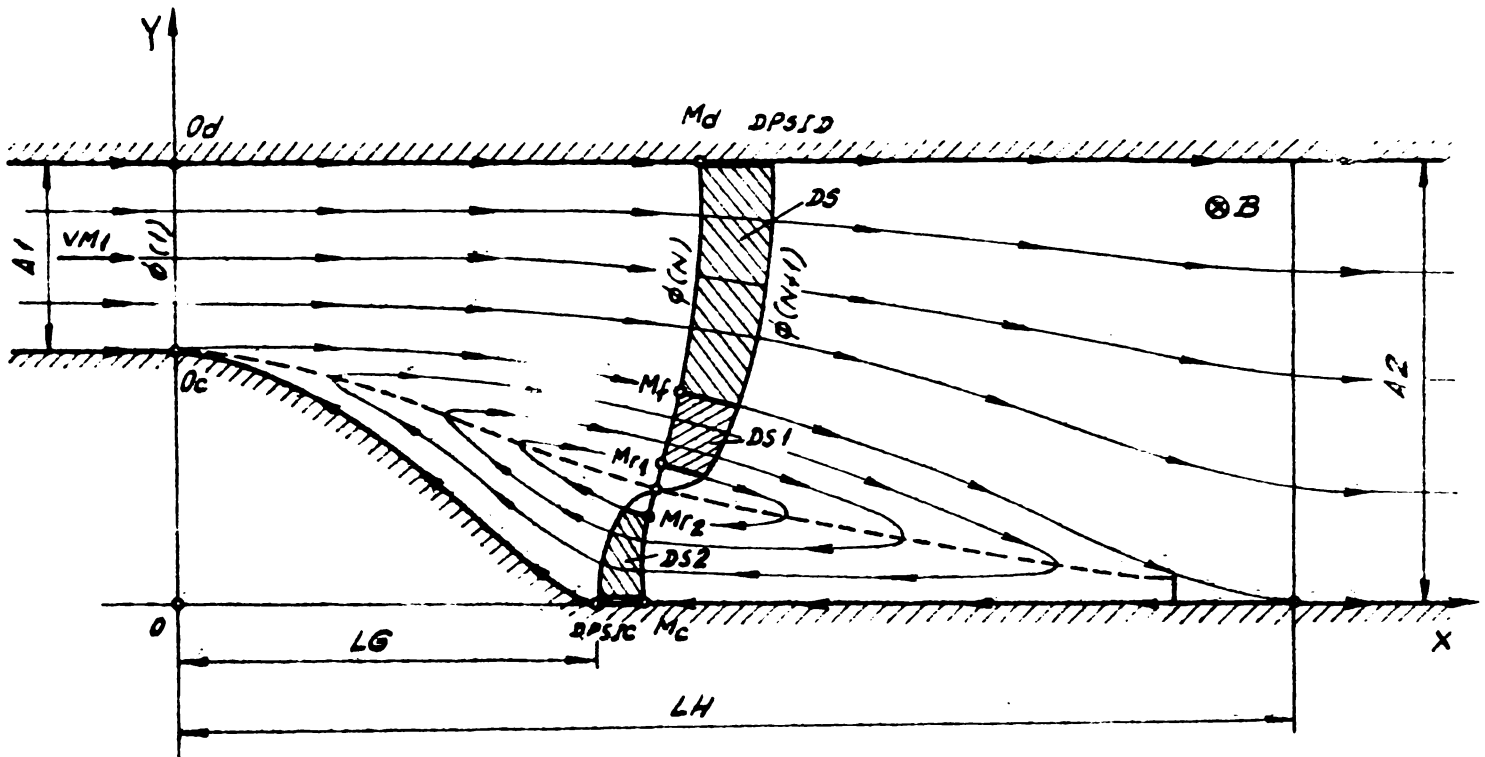


Fig. 7.1

Bilanțul energetic al mișcării fluidului real incompresibil prin semidifuzorul plan cu desprindere se poate scrie sub forma:

$$P_1 + \frac{\rho v_1^2}{2} = p + \frac{\rho v^2}{2} + DP \quad (7.1)$$

Funcția de presiune DP în cazul semidifuzoarelor plane cu desprindere are următoarea structură:

$$DP = DPF + DPD + DPP + DPF1 + DPF2 + DPR \quad (7.2)$$

Folosind notațiile introduse în cadrul Cap.VI, formula de calcul a presiunii va fi:

$$P = \frac{\rho_0 \cdot V_{M1}^2}{2} \left(1 - \left(\frac{v}{V_{M1}} \right)^2 \right) - DPF - DPD - DPP - DPF1 - DPF2 - DPR$$

Avînd în vedere că $v = V_{M1} \cdot V(N)$, rezultă:

$$P = \frac{RO \cdot VM1^2}{2} (1 - V(N)^2) - DPF - DPD - DPP - DPF1 - DPF2 - DPR \quad (7.3)$$

Sensul fizic și expresiile matematice corespunzătoare ale funcțiilor de presiune DPF, DPD, DPP, DPF1, DPF2, DPR se analizează în cadrul paragrafelor următoare.

7.2. Funcția de presiune DPF (tip frecare cilindrică)

Funcția de presiune DPF are aceeași semnificație ca și funcția DPF în cazul semidifuzoarelor plane fără desprindere.

Egalând puterea pierdută corespunzătoare căderii de presiune dDPF cu puterea consumată pentru învingerea frecărilor pe porțiunile de pereți rigizi cu care este în contact fluidul din zona mișcării potențiale, se obține:

$$\int_{Mf}^{Md} (dDPF \cdot B \cdot dFI) \cdot v = 2 \cdot \int_{Mf}^{Md} (\zeta \cdot dFI \cdot dPSI) \cdot v + (\zeta \cdot B \cdot dPSID) \cdot v \quad (7.4)$$

Pe baza unui calcul analog cu cel din Cap.VI, rezultă:

$$DPF = \frac{RO \cdot VM1^2 \cdot A1^2}{B} \left(\int_{Od}^{Md} \frac{CPL}{FI^3} \cdot dPSID + \frac{2}{B} \int_{\phi(1)}^{\phi(N)} \frac{CPL}{FI^3} dS \right)$$

În acest caz diametrul hidraulic va fi:

$$D_h = \frac{4 \cdot S}{P} = \frac{4 \cdot B \cdot FI}{B + 2 \cdot FI}$$

Exprimînd mărimile dimensionale în funcție de cele adimensionale și aproximînd integralele prin sume, rezultă următoarele formule de calcul:

$$DH = \frac{4 \cdot A1 \cdot B \cdot FI(I)}{B \cdot H + 2 \cdot A1 \cdot FI(I)}, RE = \frac{4 \cdot A1 \cdot B \cdot VM1}{CV \cdot (B + 2 \cdot A1 \cdot FI(I)/H)},$$

$$CPL = 0,1 \cdot \left(1,46 \frac{R}{DH} + \frac{100}{RE} \right)^{0,25}; \quad (7.5)$$

$$DPF = \frac{RO \cdot VM1^2 \cdot H}{8} \sum_{I=1}^N \frac{CPL}{FI^3(I)} \left(DPSID(I) + \frac{2 \cdot A1}{B \cdot H} \cdot DS(I) \right) \quad (7.6)$$

7.3. Funcția de presiune DPD (tip divergentă)

Funcția de presiune DPD are aceeași semnificație ca și funcția DPD în cazul semidifuzoarelor plane fără desprindere.

Calculul se va face cu aceeași formulă stabilită în cadrul Cap.VI:

$$DPD = CPD \cdot \frac{RO \cdot VM^2}{2} \left(1 - \left(\frac{H}{FI(N)} \right)^2 \right), \quad (7.7)$$

$$CPD = 0,04 \quad (7.8)$$

7.4. Funcția de presiune DPP (tip Pearson)

Funcția de presiune DPP are aceeași semnificație ca și funcția DPP în cazul semidifuzoarelor plane fără desprindere.

Calculul se va face cu aceeași formulă stabilită în cadrul Cap.VI:

$$DPP = CPP \cdot \frac{RO \cdot VM^2}{2} \left(\frac{XD(N)}{6 \cdot (1-H)} \right)^{0,5} \cdot \left(2 - \frac{XD(N)}{6 \cdot (1-H)} \right)^{0,5}, \quad (7.9)$$

în care:

$$CPP = 0,43 \cdot \text{ARCTG}((1-H) \cdot A1/H/LH) \cdot (1-H)/H \quad (7.10)$$

7.5. Funcția de presiune DPF1 (tip frecare cilindrică)

Egalând puterea pierdută corespunzătoare căderii de presiune dDPF1 cu puterea consumată pentru învingerea frecărilor pe porțiunile de pereți rigizi cu care este în contact fluidul din zona mișcării rotaționale directe, se obține:

$$\int_{Mr_1}^{Mr} (dDPF1 \cdot B \cdot dFI)_{\nu=2} = 2 \int_{Mr_1}^{Mr} (\zeta \cdot dFI \cdot dPSI)_{\nu} \quad (7.11)$$

Pe baza unui calcul analog cu cele de la Cap.VI, rezultă:

$$DPF1 = \frac{2}{B} \cdot \frac{RO}{8} \int_{Oc}^{Mr} \frac{CPL \cdot VM^2}{FI} dS$$

Notînd cu QR debitul zonei rotaționale, prin aplicarea ecuației de continuitate se obține:

$$VM = \frac{QR}{FI \cdot B},$$

$$DPF1 = \frac{2}{B^3} \cdot \frac{RO \cdot QR^2}{B} \int_{Oc}^{Mr} \frac{CPL}{FI^3} dS$$

Debitul QR a zonei rotaționale se poate exprima în funcție de valoarea debitului Q, stabilită în cadrul Cap.IV, paragraful 4.3.3:

$$QR=Q.VM1.A1.B/H$$

În acest caz diametrul hidraulic va fi:

$$Dh= \frac{4.S}{P} = 2B$$

Exprimînd mărimile dimensionale în funcție de cele adimensionale și aproximînd integralele prin sume, rezultă următoarele formule de calcul:

$$DH=2.B, RE= \frac{2.B.Q.VM1}{CV.FI1(I)}, CPL=0,1. \left(1,46. \frac{R}{DH} + \frac{100}{RE} \right)^{0,25} \cdot \frac{1-H}{H}; (7.12)$$

$$DPF1= \frac{RO.Q^2.VM1^2.A1}{4.B.H} \sum_{I=1}^N \frac{CPL.DS1(I)}{FI1^3(I)} \quad (7.13)$$

7.6. Funcția de presiune DPF2 (tip frecare cilindrică)

Egalînd puterea pierdută corespunzătoare căderii de presiune dDPF2 cu puterea consumată pentru învingerea frecărilor pe porțiunile de pereți rigizi cu care este în contact fluidul din zona mișcării rotaționale inverse, se obține:

$$\int_{Mr_2}^{Mc} (dDPF2.B.dFI).v=2 \int_{Mr_2}^{Mc} (\zeta .dFI.dPSI).v+(\zeta .B.dPSIC).v \quad (7.14)$$

Pe baza unui calcul analog cu cel de la paragraful 7.5 se obține:

$$DPF2= \frac{1}{B^2} \frac{RO.QR^2}{B} \left(\int_{Oc}^{Mc} \frac{CPL}{FI^3} .dPSIC+ \frac{2}{B} \int_{Oc}^{Mc} \frac{CPL}{FI^3} dS \right)$$

Diametrul hidraulic în acest caz va fi:

$$Dh= \frac{4.S}{P} = \frac{4.B.FI}{B+2.FI}$$

Exprimînd mărimile dimensionale în funcție de cele adimensionale și aproximînd integralele prin sume, rezultă următoarele formule de calcul:

$$DH = \frac{4 \cdot A1 \cdot B \cdot FI2(I)}{B \cdot H + 2 \cdot A1 \cdot FI2(I)} \quad RE = \frac{4 \cdot A1 \cdot B \cdot Q \cdot VM1}{CV \cdot (B \cdot H + 2 \cdot A1 \cdot FI2(I))}$$

$$CPL = 0,1 \cdot \left(1,46 \cdot \frac{R}{DH} + \frac{100}{RE} \right)^{0,25} \cdot \frac{1-H}{H}, \quad (7.15)$$

$$DPF2 = \frac{RO \cdot Q^2 \cdot VM1^2}{8} \sum_{I=1}^N \frac{CPL}{FI2^3(I)} \cdot \left(DPSIC(I) + \frac{2 \cdot A1}{B \cdot H} DS2(I) \right) \quad (7.16)$$

7.7. Funcția de presiune DPR (tip rotațional)

Zona mișcării rotaționale este echivalentă cu un rotor de turbomașină a cărei sarcină este:

$$H = \frac{\omega}{2 \pi g} \cdot \Gamma, \quad (7.17)$$

unde

$$\Gamma = \oint_{CF+CS} \vec{v} \cdot d\vec{s} \quad (7.18)$$

Valoarea vitezei unghiulare a rotorului echivalent se poate calcula cu ajutorul teoremei lui Stokes:

$$\iint_{SR} \text{rot } \vec{v} \cdot d\vec{S} = \oint_{CF+CS} \vec{v} \cdot d\vec{s}; \quad (7.19)$$

$$\Omega \cdot SR = \Gamma, \quad \Omega = 2 \omega,$$

$$\omega = \frac{\Gamma}{2 \cdot SR} \quad (7.20)$$

Energia de presiune echivalentă sarcinii H va fi:

$$PR = \gamma \cdot H,$$

$$PR = \frac{\rho \cdot \Gamma^2}{4 \pi \cdot SR} \quad (7.21)$$

Fluidul fiind real, această energie a zonei rotaționale are tendința de disipare, din care motiv ea va fi menținută la această valoare de către mișcarea potențială exterioară, care va livra în mod continuu un flux de energie zonei mișcării rotaționale.

Presupunând că fluxul de energie de la fluidul din zona mișcării potențiale spre fluidul din zona mișcării rotaționale este uniform distribuit în raport cu distanța X, căderea de presiune necesară acoperirii energiei disipate va fi:

$$DPR = CPR \cdot \frac{\rho \cdot \Gamma^2}{4\pi \cdot SR} \cdot \frac{X}{LH} \quad (7.22)$$

Exprimând mărimile dimensionale în funcție de cele adimensionale:

$$\Gamma = GA \cdot VM1 \cdot A1 / H, \quad SR = A1^2 \cdot S / H^2,$$
$$X = A1 \cdot XD(N) / H, \quad LH = 12 \cdot (A2 - A1) = 12 \cdot A1 \cdot (1 - H) / H$$

și folosind notațiile introduse anterior, funcția de presiune DPR va fi:

$$DPR = CPR \cdot \frac{RO \cdot GA^2 \cdot VM1^2}{4 \cdot \Gamma \cdot S} \cdot \frac{XD(N)}{12(1-H)}, \quad (7.23)$$

în care $CPR = 0,022 \cdot \frac{1-H}{H}$ (7.24)

7.8. Corecțiile de viteză.

Din compararea distribuției reale de presiune cu cea teoretică rezultă necesitatea introducerii în formulele de calcul a unor corecții pentru viteze.

În formula de calcul a distribuției de presiune se vor introduce vitezele:

$$VCC = CKC \cdot VC(N), \quad VDC = CKD \cdot VD(N),$$

în care VC(N), respectiv VD(N) sînt vitezele în ipoteza fluidului ideal pe pereții curb, respectiv pe pereții drept.

Din prelucrarea rezultatelor experimentale și compararea lor cu rezultatele calculelor teoretice s-au obținut următoarele expresii pentru coeficienții CKC, respectiv CKD:

$$CC = -0,077 \cdot (1-H)/H, \quad XCN = 0,5 \cdot (H/(1-H) - 1), \quad XCM = 1,9 \cdot H/(1-H),$$

$$CKC = 1,0, \quad (X \in (0, XCN)) \cup (X > XCN + XCM)$$

$$CKC = \sqrt{1 - CC \cdot (XC(N) - XCN) \cdot (XC(N) - XCN - XCM)}; \quad X \in (XCN, XCN + XCM)$$

$$CD = -0,0254 \cdot (1-H)/H, \quad XDN = 2,0 \cdot (H/(1-H) - 1), \quad XDM = 3,5 \cdot H/(1-H);$$

$$CKD = \sqrt{1 + CD \cdot (2 \cdot XD(N) - 2 \cdot XDN + XDM)}, \quad X \in (0, XDN);$$

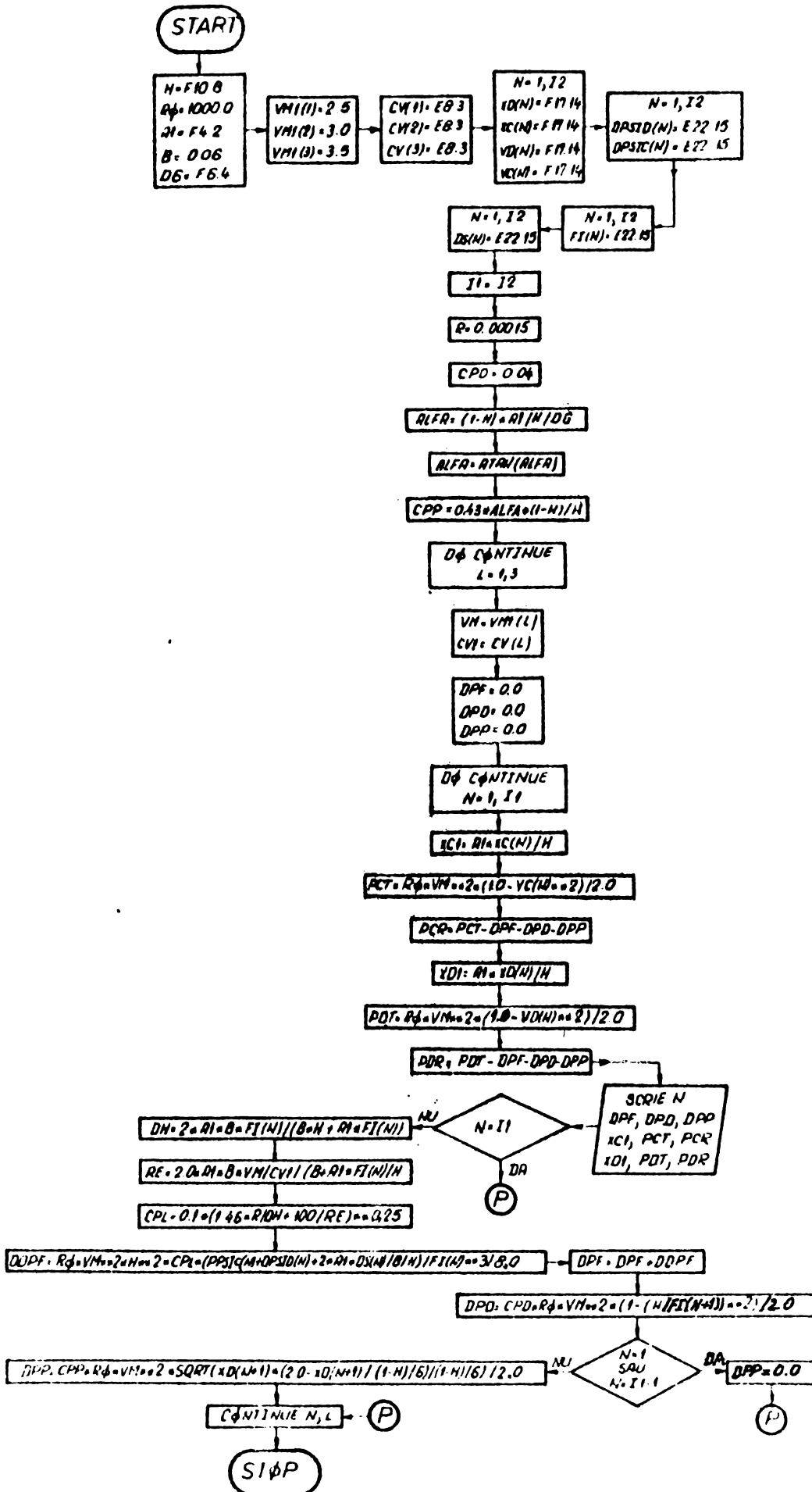
$$CKD = \sqrt{1 - CD \cdot (XD(N) - XDN - XDM)}, \quad X \in (XDN, XDN + XDM);$$

Pentru semidifuzoarele încercate diferența maximă relativă dintre valorile vitezelor calculate conform modelului fluidului ideal și corectate nu depășește valoarea de 0,07, ceea ce confirmă justetea modelului fizic adoptat în cadrul lucrării.

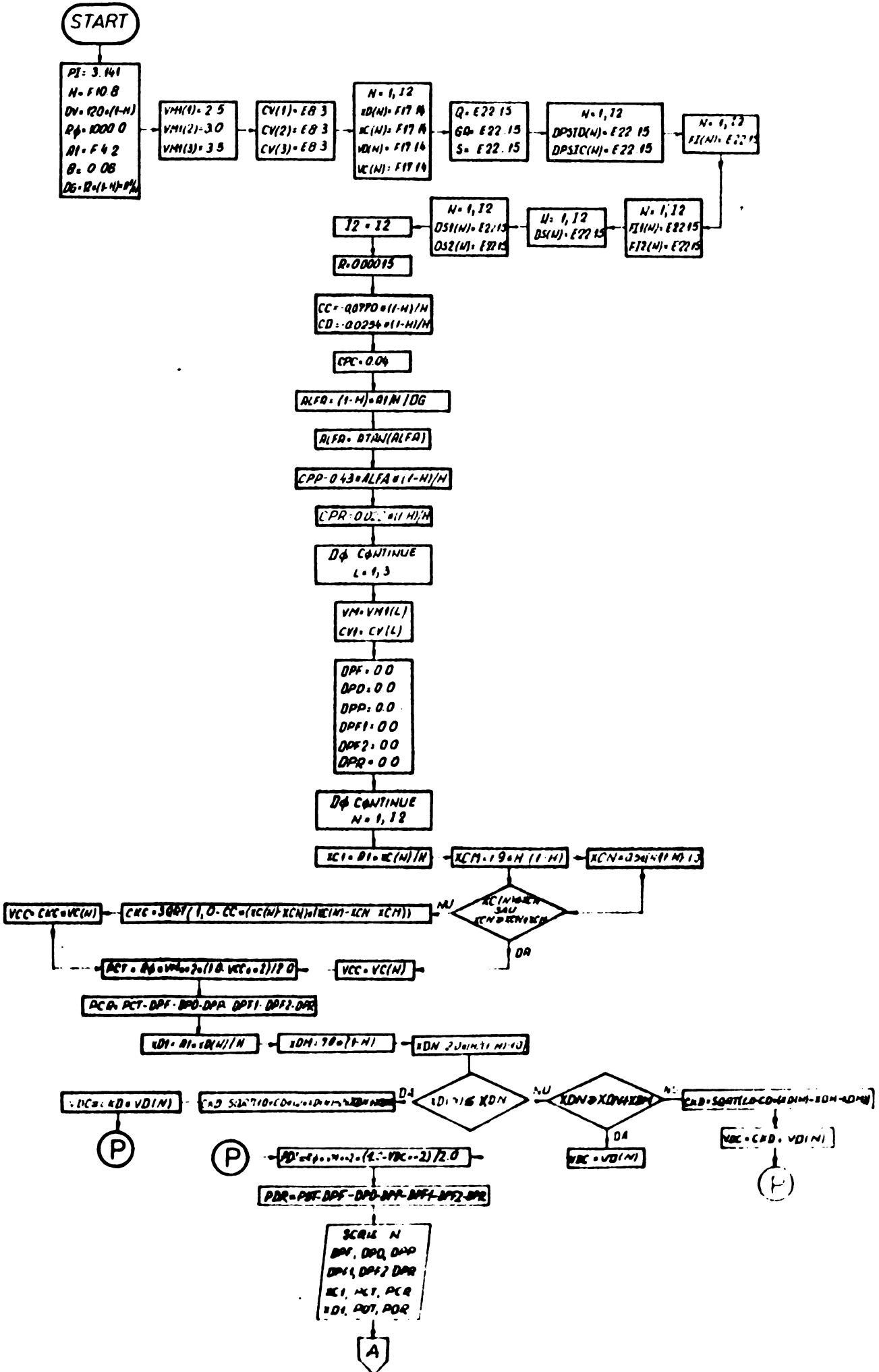
CAPITOLUL VIII.

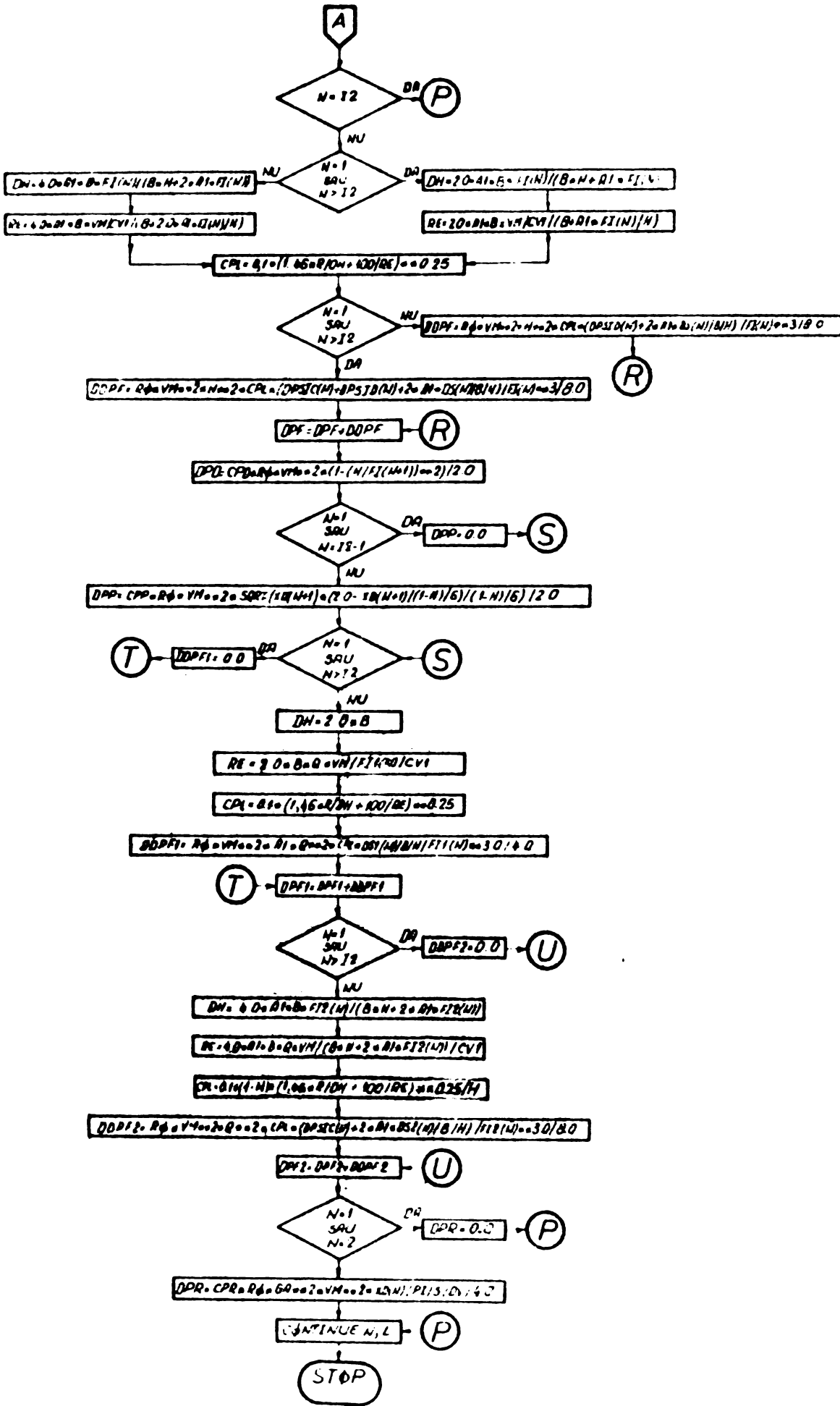
SCHEME LOGICE PENTRU CALCULUL FUNCȚIEI DE PRESIUNE A
MISCĂRII ÎN REGIM TURBULENT A FLUIDULUI REAL INCOMPRESIBIL.
PRIN SEMIDIFUZOARE PLANE

8.1 SCHEMA LØGICA-FUNCTIA DE PRESIUNE SEMIDIFUZØR FÅRÅ DESPRINDERE



8.2 SCHEMA LÓGICĂ-FUNCȚIA DE PRESIUNE SEMIDIFUZOR CU DESPRINDERE





CAPITOLUL IX

DETERMINAREA COEFICIENTILOR DE REZISTENTA HIDRAULICA IN
IN CAZUL SEMIDIFUZOARELOR PLANE.9.1. Generalități.

In literatura de specialitate consultată [33],[35] coeficienții de rezistență hidraulică pentru difuzoare sînt definite prin relația:

$$\zeta_{\text{dif}} = \frac{\Delta P_{\text{tot}}}{\frac{\rho v_1^2}{2}} \quad (9.1)$$

in care ΔP_{tot} reprezintă energia specifică totală pierdută prin difuzor.

Structural, această pierdere de energie se descompune în două părți, una datorită frecării fluidului de pereții rigizi, iar cealaltă datorită lărgirii (destinderii) secțiunii de trecere:

$$\Delta P_{\text{tot}} = \Delta P_{\text{fr}} + \Delta P_{\text{dest}} \quad (9.2)$$

Corespunzător acestor pierderi se introduc coeficienții de rezistență hidraulică datorită frecării, respectiv datorită destinderii, avînd expresiile:

$$\zeta_{\text{fr}} = \frac{\Delta P_{\text{fr}}}{\frac{\rho v_1^2}{2}}, \quad \zeta_{\text{dest}} = \frac{\Delta P_{\text{dest}}}{\frac{\rho v_1^2}{2}} \quad (9.3)$$

9.2. Determinarea coeficientului ζ_{fr} .

In literatura de specialitate [33],[35], pentru calcularea coeficientului ζ_{fr} se ia în considerare pierderea de energie datorită frecării numai pe porțiunea de destindere geometrică a difuzorului.

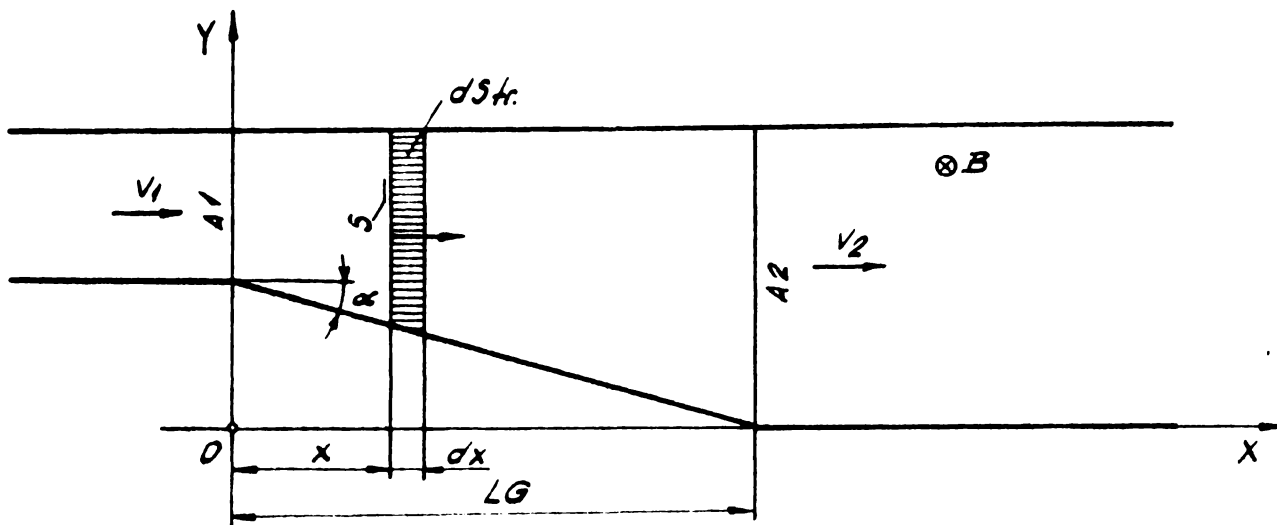


Fig. 9.1

Forța de frecare pe o suprafață de frecare elementară este:

$$dF_{fr} = \zeta \cdot dS_{fr} \quad (9.4)$$

Avînd în vedere că:

$$\zeta = \lambda \frac{\rho}{8} \cdot v^2, \quad (9.5)$$

rezultă:

$$dF_{fr} = \lambda \frac{\rho}{8} \cdot v^2 \cdot dS_{fr} \quad (9.6)$$

Corespunzător, puterea pierdută prin frecare va fi:

$$dW_{fr} = dF_{fr} \cdot v = \lambda \frac{\rho}{8} \cdot v^3 dS_{fr} \quad (9.7)$$

Această putere pierdută se poate exprima și sub forma:

$$dW_{fr} = d\Delta P_{fr} \cdot Q = d\Delta P_{fr} \cdot v \cdot S \quad (9.8)$$

Egalînd cele două expresii, rezultă energia specifică elementară pierdută prin frecare:

$$d\Delta P_{fr} = \lambda \frac{\rho}{8} \cdot v^2 \cdot \frac{dS_{fr}}{S} \quad (9.9)$$

Energia specifică pierdută pe întreagă suprafață de frecare va fi:

$$\Delta P_{fr} = \int_{S_{fr}} \lambda \frac{\rho}{8} \cdot v^2 \frac{dS_{fr}}{S} \quad (9.10)$$

Considerînd λ și ρ constanți, coeficientul de rezistență hidraulică datorită frecării va fi:

$$\xi_{fr} = \frac{\lambda}{4} \cdot \int_{S_{fr}} \left(\frac{v}{v_1} \right)^2 \frac{dS_{fr}}{S} \quad (9.11)$$

Având în vedere că:

$$V \cdot S = v_1 \cdot S_1$$

rezultă:

$$\xi_{fr} = S_1^2 \cdot \frac{\lambda}{4} \cdot \int_{S_{fr}} \frac{dS_{fr}}{S^3}$$

In cazul semidifuzoarelor plane:

$$dS_{fr} = (B + 2 \cdot (A_1 + X \cdot \operatorname{tg} \alpha)) dX + B \cdot \frac{dX}{\cos \alpha},$$

$$S = B \cdot (A_1 + X \cdot \operatorname{tg} \alpha);$$

$$\begin{aligned} \int_{S_{fr}} \frac{dS_{fr}}{S^3} &= \frac{1}{B^2} \cdot \frac{1 + \cos \alpha}{\cos \alpha} \cdot \int_0^{LG} \frac{dX}{(A_1 + X \cdot \operatorname{tg} \alpha)^3} + \frac{2}{B^2} \cdot \int_0^{LG} \frac{dX}{(A_1 + X \cdot \operatorname{tg} \alpha)^2} = \\ &= \frac{1}{2 \cdot B^2} \cdot \frac{1 + \cos \alpha}{\sin \alpha} \cdot \left(\frac{1}{A_1^2} - \frac{1}{(A_1 + LG \cdot \operatorname{tg} \alpha)^2} \right) + \\ &\quad + \frac{2}{B^2} \cdot \frac{1}{\operatorname{tg} \alpha} \cdot \left(\frac{1}{A_1} - \frac{1}{A_1 + LG \cdot \operatorname{tg} \alpha} \right) \end{aligned}$$

Având în vedere că:

$$A_1 + LG \cdot \operatorname{tg} \alpha = A_2,$$

rezultă:

$$\int_{S_{fr}} \frac{dS_{fr}}{S^3} = \frac{1}{2 \cdot B^2} \cdot \frac{1 + \cos \alpha}{\sin \alpha} \cdot \frac{A_2^2 - A_1^2}{A_1^2 \cdot A_2^2} + \frac{2}{B^2} \cdot \frac{1}{\operatorname{tg} \alpha} \cdot \frac{A_2 - A_1}{A_1 - A_2}$$

Având în vedere că $S_1 = A_1 \cdot B$, coeficientul ξ_{fr} în cazul semidifuzoarelor plane se exprimă prin relația:

$$\xi_{fr} = \frac{\lambda}{4} \cdot \left(\frac{1}{2} \cdot \frac{1 + \cos \alpha}{\sin \alpha} \cdot \left(1 - \left(\frac{A_1}{A_2} \right)^2 \right) + \frac{2}{\operatorname{tg} \alpha} \cdot \frac{A_1}{B} \cdot \left(1 - \frac{A_1}{A_2} \right) \right) \quad (9.12)$$

9.3. Determinarea coeficienților ξ_{dif} și ξ_{dest} :

Având determinată valoarea lui ΔP_{tot} (experimental, sau calculată teoretic cu formulele de la capitolele VI și VII), rezultă valoarea coeficientului ξ_{dif} :

$$\xi_{dif} = \frac{\Delta P_{tot}}{\frac{\rho \cdot v_1^2}{2}} \quad (9.13)$$

Valoarea lui ξ_{dest} va fi:

$$\xi_{dest} = \xi_{dif} - \xi_{fr} \quad (9.14)$$

CAPITOLUL X

CERCETARI EXPERIMENTALE ASUPRA SEMIDIFUZOARELOR PLANE

10.1. Instalația experimentală.

Încercările experimentale au fost efectuate pe o instalație special construită în acest scop și a cărei schemă de principiu este prezentată în figura 10.1, respectiv în figura 10.2.

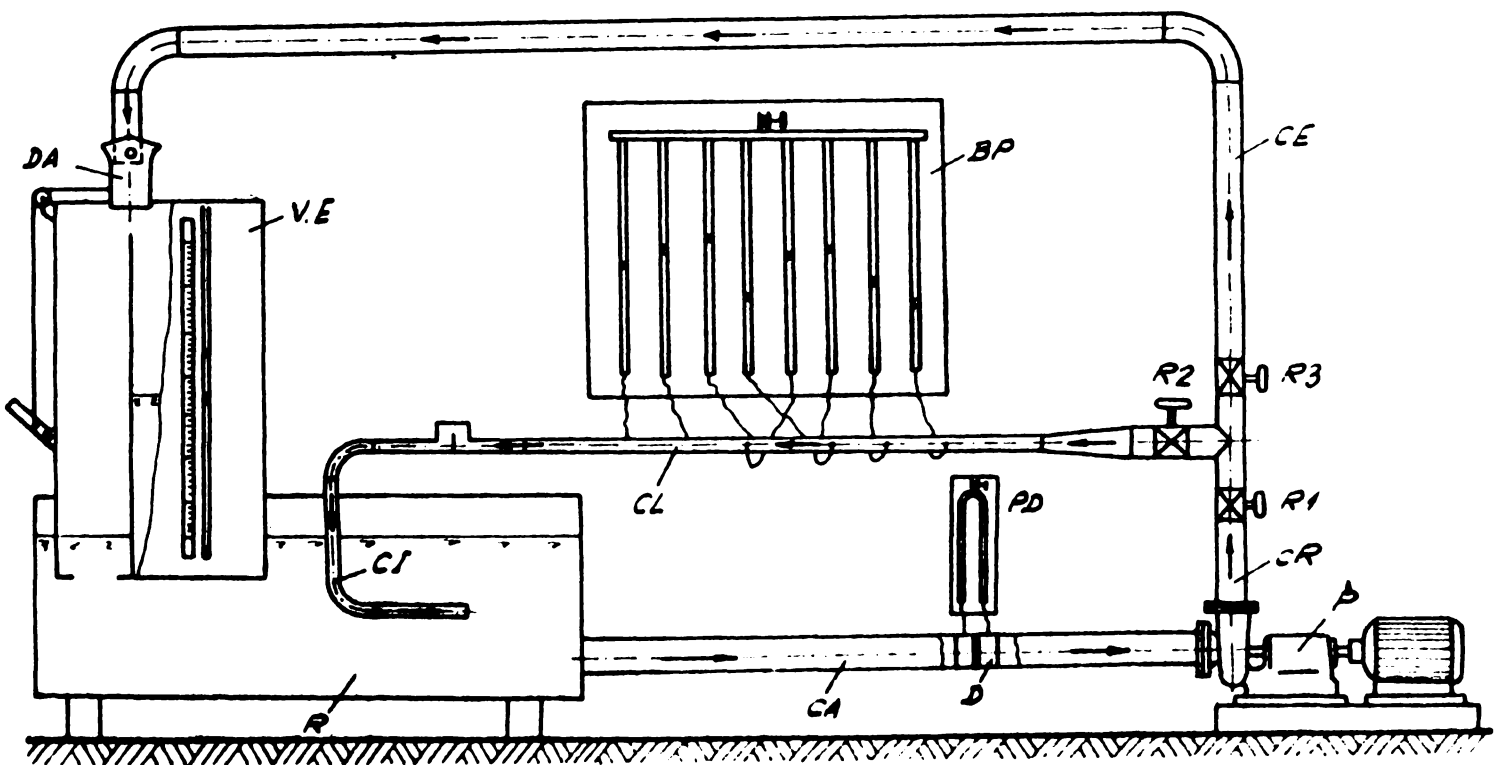


Fig. 10.1

Pompa P aspiră apa din rezervorul R prin conducta de aspirație CA, pe care este montată diafragma D, a cărei prize de presiune sînt legate de piezometrul diferențial direct PD.

Reglarea debitului se face cu ajutorul robinetului R_1 , montat pe conducta de refulare a pompei CR.

În situația cînd robinetul R_2 este deschis și R_3 este închis, debitul de apă va trece integral prin conducta de lucru CL, după care se reîntoarce în rezervor prin conducta de întoarcere CI.

Instalația permite etalonarea diafragmei în poziția de lucru. În acest scop se închide robinetul R_2 și se deschide R_3 , astfel debitul de apă integral va trece prin conducta de etalonare CE, prin care ajunge la valul etalonat VE. Dispozitivul de etalonare

a jetului DA permite manevrarea jetului deasupra compartimentului de etalonare.

Bateria de piezometre directe BP permite determinarea pe cale experimentală a distribuției de presiune pe peretele curb, respectiv pe peretele drept al semidifuzorului plan.



Fig.10.2

În figura 10.3 este prezentată schematic vedere de sus a zonei de lucru unde este amplasat semidifuzorul plan.

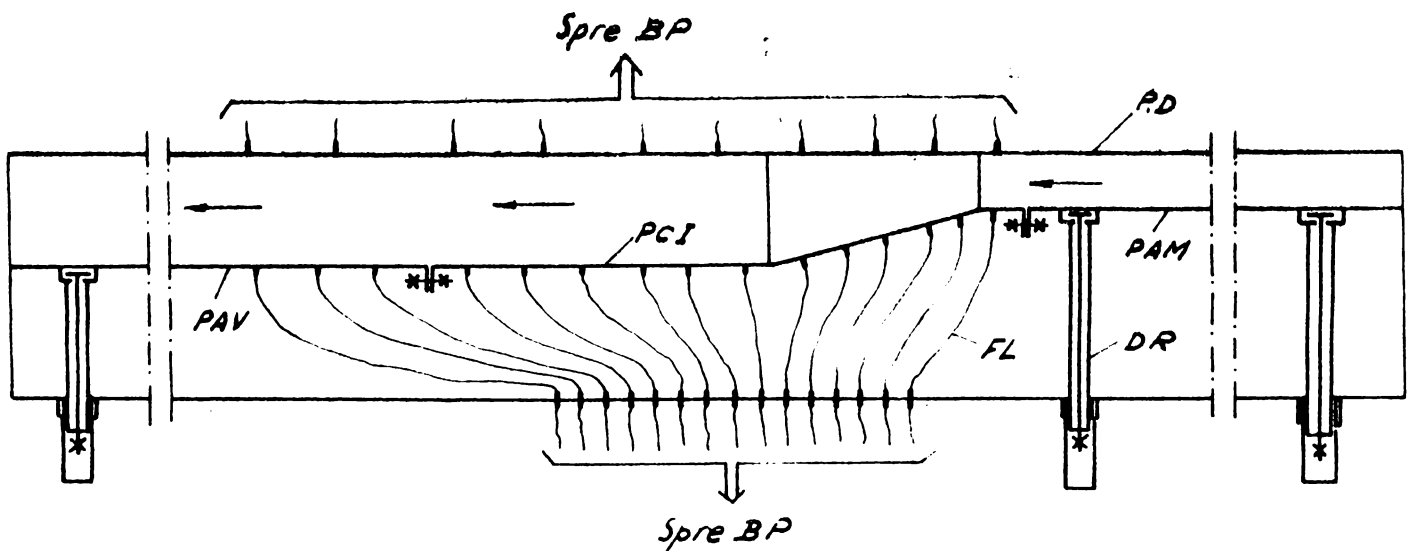


Fig.10.3

În vederea realizării variației în mod continuu a raportului de secțiuni instalația a fost astfel concepută, încât unul dintre pereții laterali ai semidifuzorului plan să fie reglabil.

Astfel, perețele drept PD este fix, iar perețele curb este deplasabil din exterior cu ajutorul a trei dispozitive de reglare DR. Perețele curb este format din trei părți: perețele amonte PAM, perețele curb interschimbabil PCI și perețele aval PAV.

Prizele de presiune statică de pe pereții laterali ai semidifuzorului sînt puse în legătură cu bateria de piezometre BP cu ajutorul racordurilor flexibile FL.

În figura 10.4 este prezentată schematic o secțiune transversală prin zona de lucru unde este amplasat semidifuzorul.

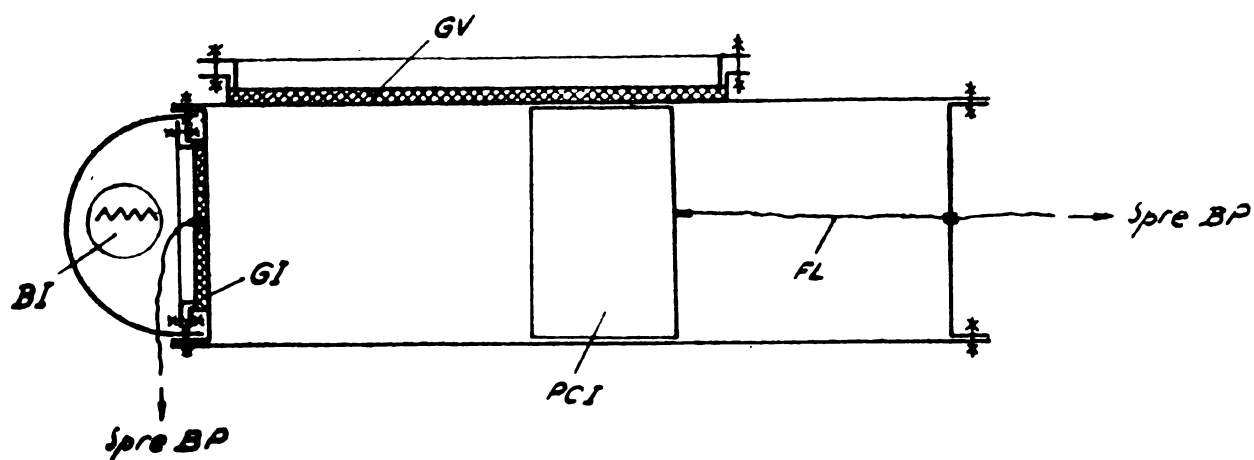


Fig. 10.4

Pentru vizualizarea mișcării în zona difuzorului instalația a fost prevăzută cu un sistem de iluminare laterală, asigurată cu ajutorul becurilor de iluminare BI; geamul de iluminare GI este montat pe perețele lateral drept PD în zona semidifuzorului, iar geamul de vizualizare GV pe capacul superior al conductei de lucru.

10.2. Cercetări experimentale.

Au fost făcute calculele teoretice și supuse încercărilor experimentale câteva semidifuzoare plane cu perete plan înclinat.

În figura 10.5 este prezentat schematic acest tip de difuzor, iar în tabelul 10.1 sînt date dimensiunile geometrice.

In tabelele 10.2 și 10.3 sînt date coordonatele X ale prizelor de presiune statică.

α°	6	10	30	60	90
LG [mm]	286,0	170,0	52,0	17,3	0,0
ΔA [mm]	30	30	30	30	30
B [mm]	60	60	60	60	60

Tabelul 10.1

α°	X [mm]																
	1	2	3	4	5	6	7	8	9	10	11	12	13	14	15	16	17
6	-8	5	15	30	50	80	110	140	170	200	230	260	275	290	300	500	600
10	-8	5	15	30	50	80	110	140	170	185	200	230	260	290	300	500	600
30	-8	5	15	25	40	55	75	87	100	130	160	190	240	290	400	500	600
60	-8	5	10	15	25	40	49	60	85	110	150	190	240	290	400	500	600
90	-8	0	0	10	20	30	40	60	85	110	150	190	240	290	400	500	600

Tabelul 10.2

P	18	19	20	21	22	23	24	25	26	27	28	29	30	31	32	33
X [mm]	-8	42	92	142	192	292	392	492	574	662	778	874	962	1078	1174	1262

Tabelul 10.3

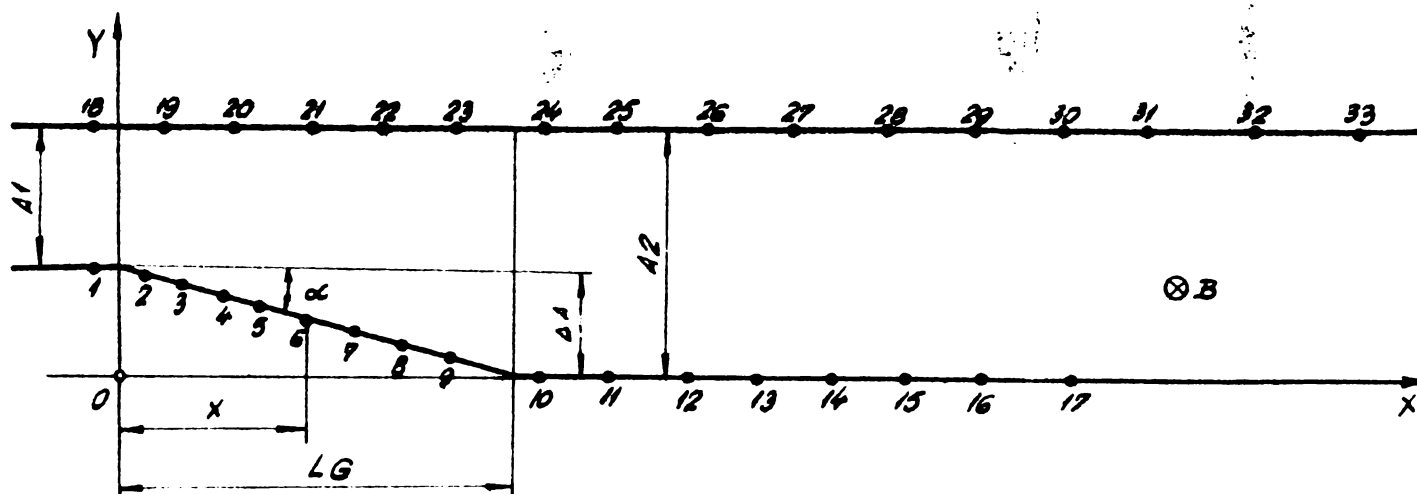


Fig. 10.5

In cazul semidifuzoarelor studiate avînd unghiurile de inclinare $\alpha = 6^\circ, 10^\circ$ nu s-a produs desprinderea curentului, deci nu s-a format nici zona mișcării rotaționale; iar în cazul semidifuzoarelor cu unghiurile de inclinare $\alpha = 30^\circ, 60^\circ, 90^\circ$ desprinderea curentului s-a produs chiar de la intrare, formîndu-se o zonă a mișcării rotaționale.

Aceste constatări s-au făcut prin vizualizarea mișcării cu ajutorul rumegușului de lemn introdus în curentul de apă. În figurile 10.6...10.15 sînt prezentate fotografiile vizualizărilor, care confirmă cele spuse mai sus.

În figurile 10.16...10.25 sînt prezentate diagramele de variație a presiunii calculate cu ajutorul formulelor (6.3), respectiv (7.3). Curbele trasate cu linie plină reprezintă variația presiunii pe peretele curb, iar curba trasată cu linie întreruptă variația presiunii pe peretele drept.

În aceleași diagrame sînt figurate și valorile obținute experimental ale presiunilor (s-au utilizat puncte pline pentru peretele curb, iar cruciulițele pentru peretele drept).

Din analiza acestor diagrame rezultă că diferențele maxime relative între valorile teoretice și cele măsurate experimental ale presiunii calculate cu formula:

$$\xi_p = \frac{P_{\text{teor}} - P_{\text{exp}}}{\frac{\rho v_1^2}{2}}$$

nu depășesc 5%.

În tabelele 10.4, 10.5 și 10.6, respectiv în diagramele 10.26, 10.27 și 10.28 sînt date valorile coeficienților de pierderi ξ_{fr} , ξ_{dif} și ξ_{dest} în funcție de parametrii geometrici definatorii (A_1/A_2 , A_1/B , α) pentru semidifuzoarele studiate teoretic și încercate experimental.

Aceste valori au fost calculate cu ajutorul formulelor (9.12), (9.13) și (9.14).

Determinarea rugozității absolute K a suprafeței interioare a conductei a fost făcută cu ajutorul microscopului dublu linnik (tip Schmaltz).

UNIVERSITATEA
BUCUREȘTI
FACULTATEA DE INGINERIE
MATERIALE



Fig.10.6 $A_1=30$ mm $A_1/A_2=0,5$ $A_1/B=0,5$ $\alpha=6^\circ$

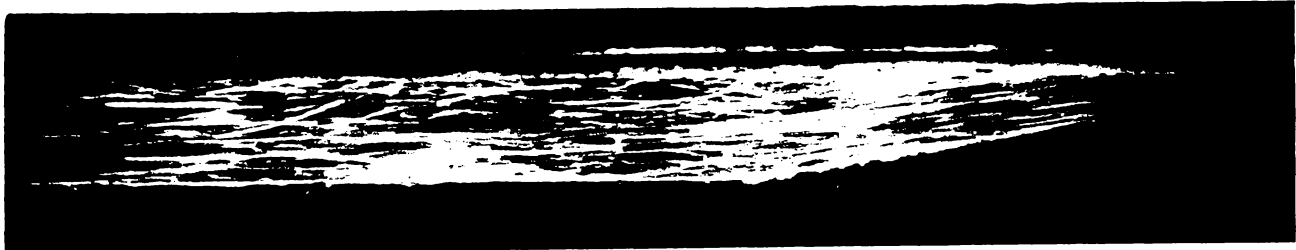


Fig.10.7 $A_1=30$ mm $A_1/A_2=0,5$ $A_1/B=0,5$ $\alpha=10^\circ$



Fig.10.8 $A_1=30$ mm $A_1/A_2=0,5$ $A_1/B=0,5$ $\alpha=30^\circ$



Fig.10.9 $A_1=30$ mm $A_1/A_2=0,5$ $A_1/B=0,5$ $\alpha=60^\circ$



Fig.10.10 $A_1=30$ mm $A_1/A_2=0,5$ $A_1/B=0,5$ $\alpha=90^\circ$

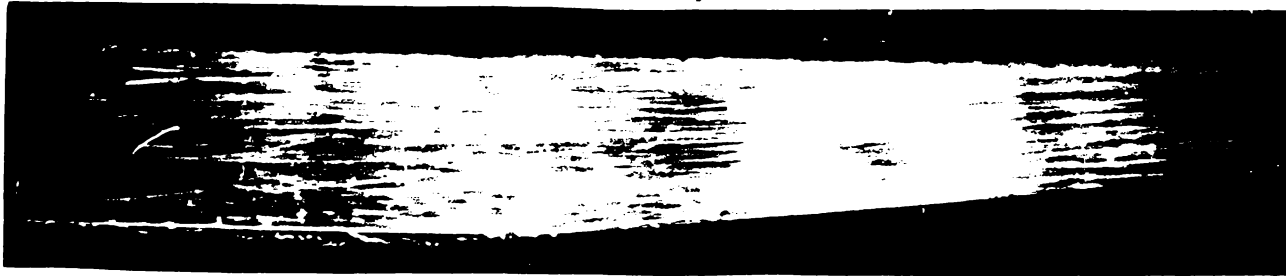


Fig.10.11 $A_1=60\text{mm}$ $A_1/A_2=0,666$ $A_1/B=1,0$ $\alpha=6^\circ$



Fig.10.12 $A_1=60\text{mm}$ $A_1/A_2=0,666$ $A_1/B=1,0$ $\alpha=10^\circ$

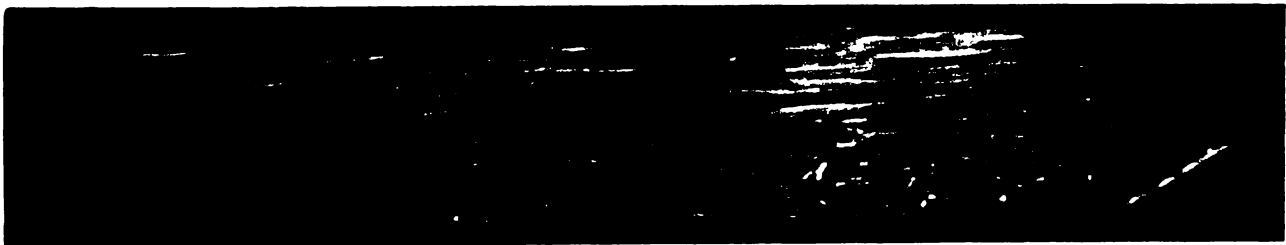


Fig.10.13 $A_1=60\text{mm}$ $A_1/A_2=0,666$ $A_1/B=1,0$ $\alpha=30^\circ$



Fig.10.14 $A_1=60\text{mm}$ $A_1/A_2=0,666$ $A_1/B=1,0$ $\alpha=60^\circ$



Fig.10.15 $A_1=60\text{mm}$ $A_1/A_2=0,666$ $A_1/B=1,0$ $\alpha=90^\circ$

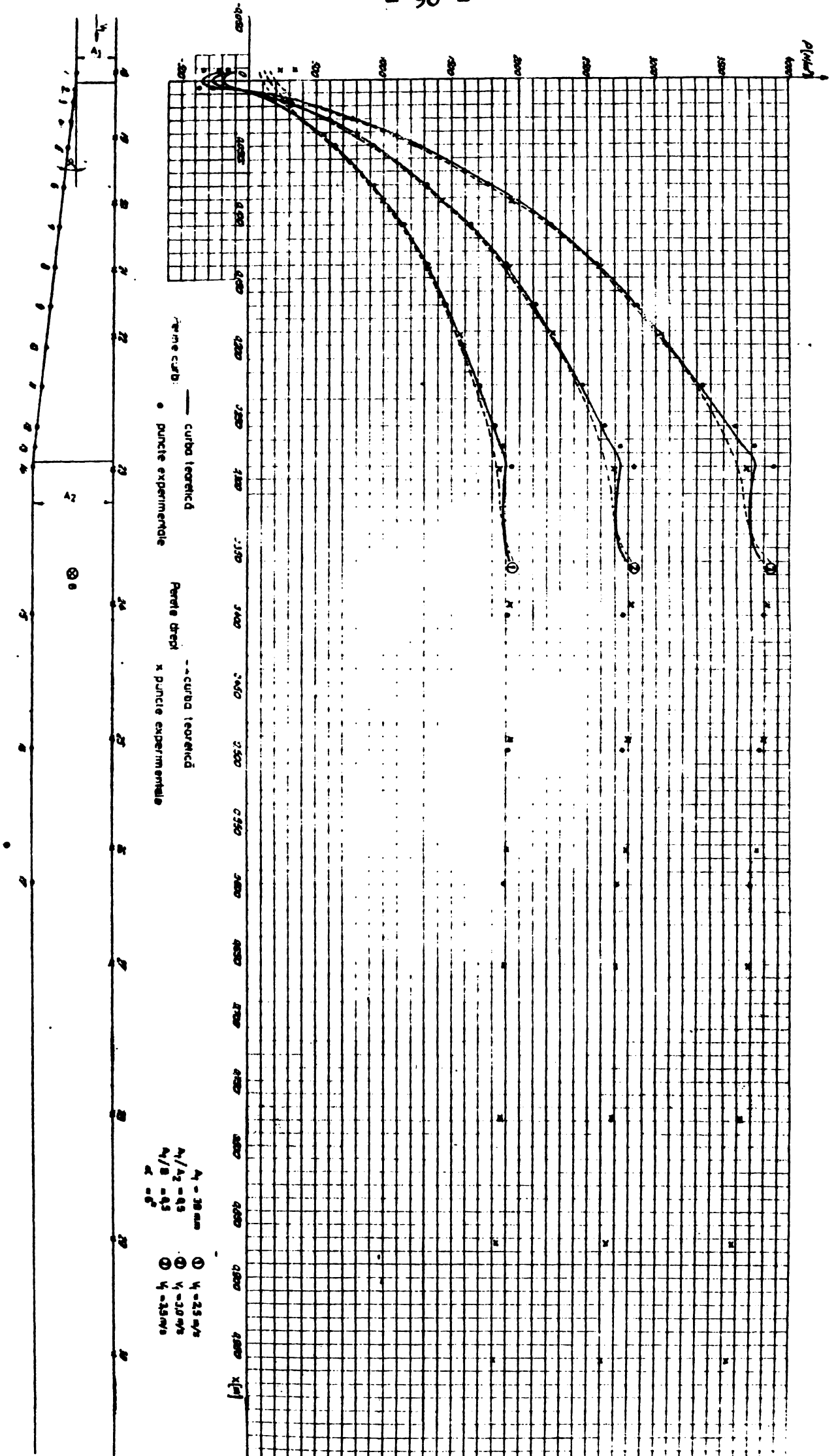


Fig. 10.16

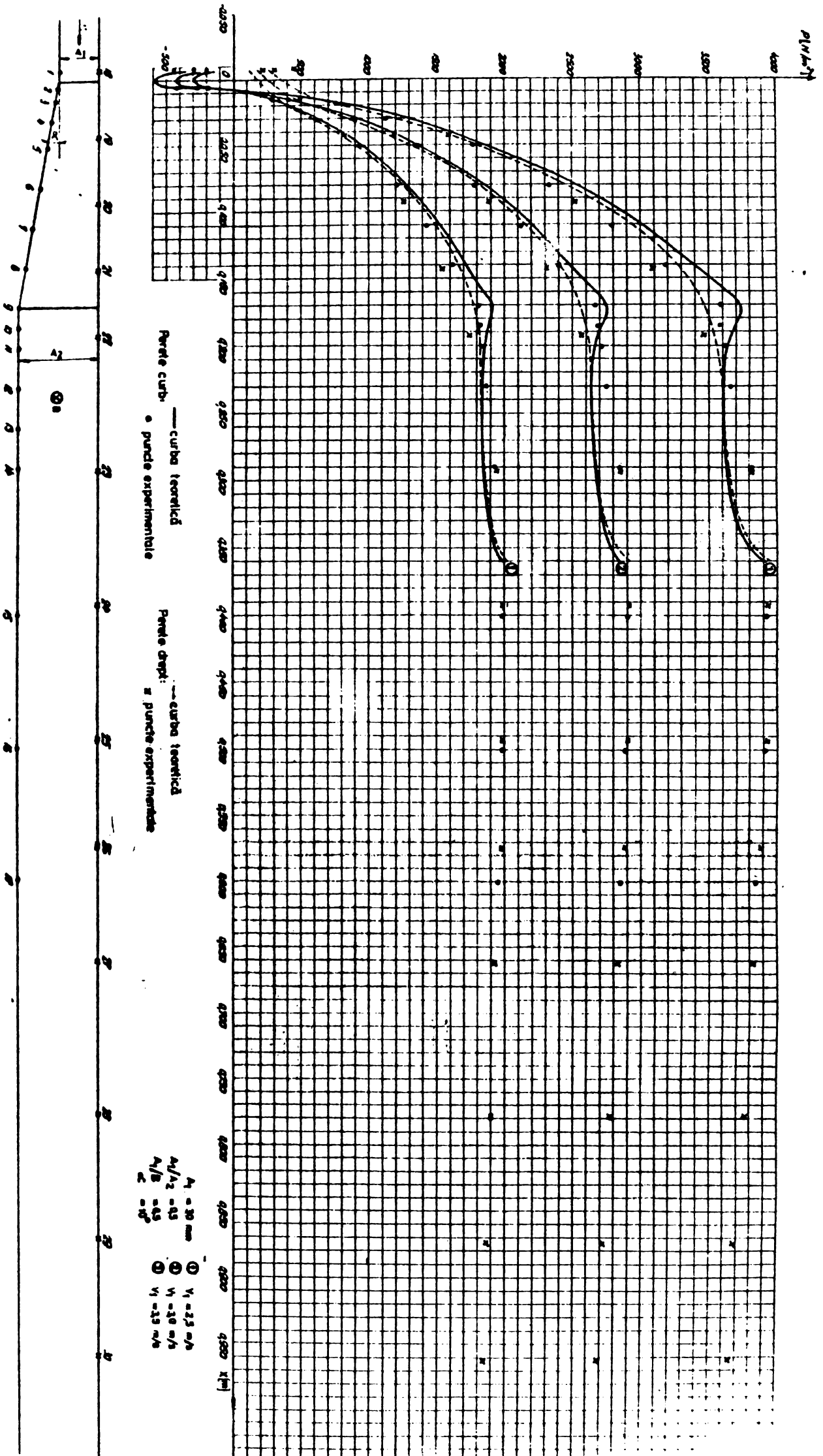


Fig. 10.18

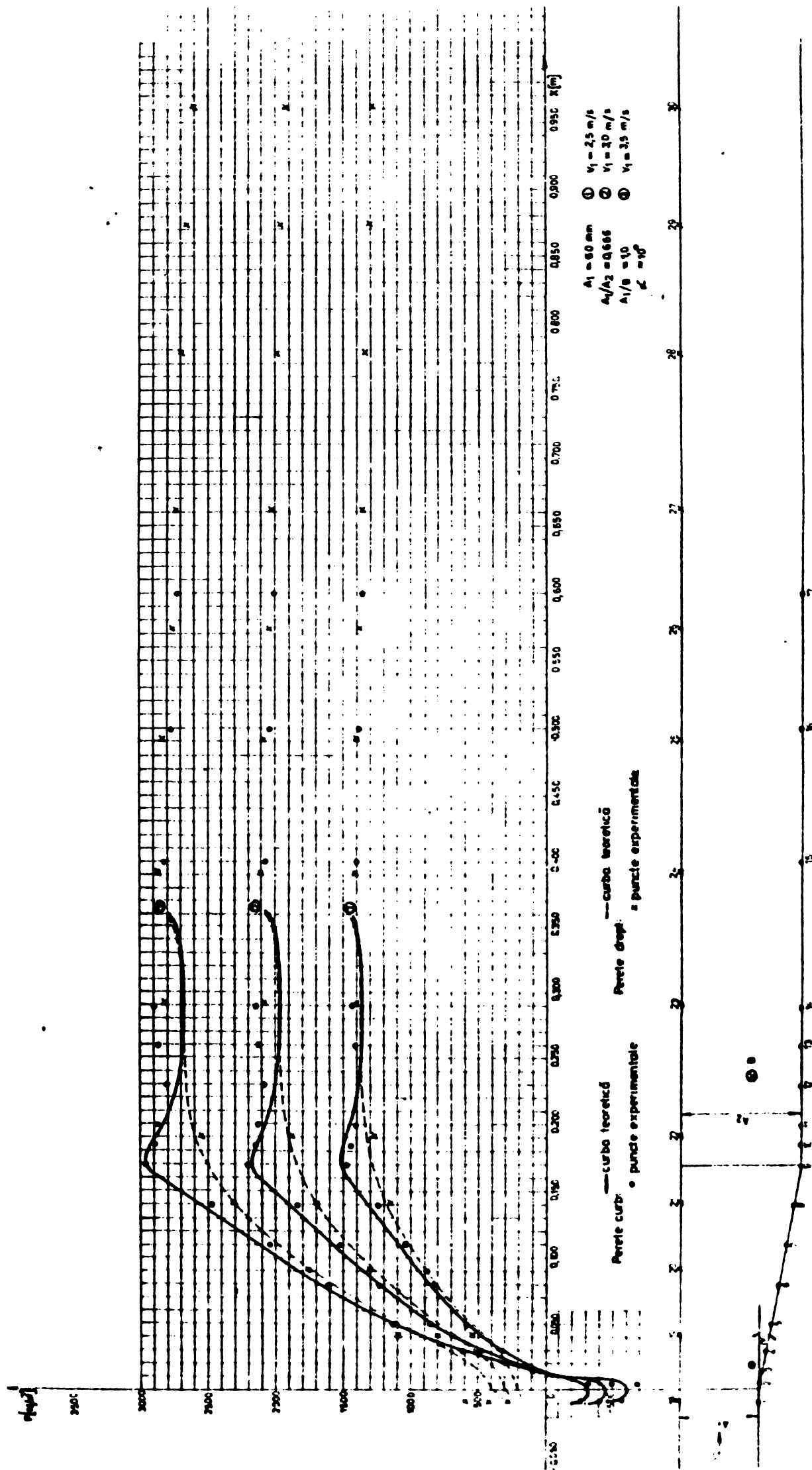


Fig. 10.19

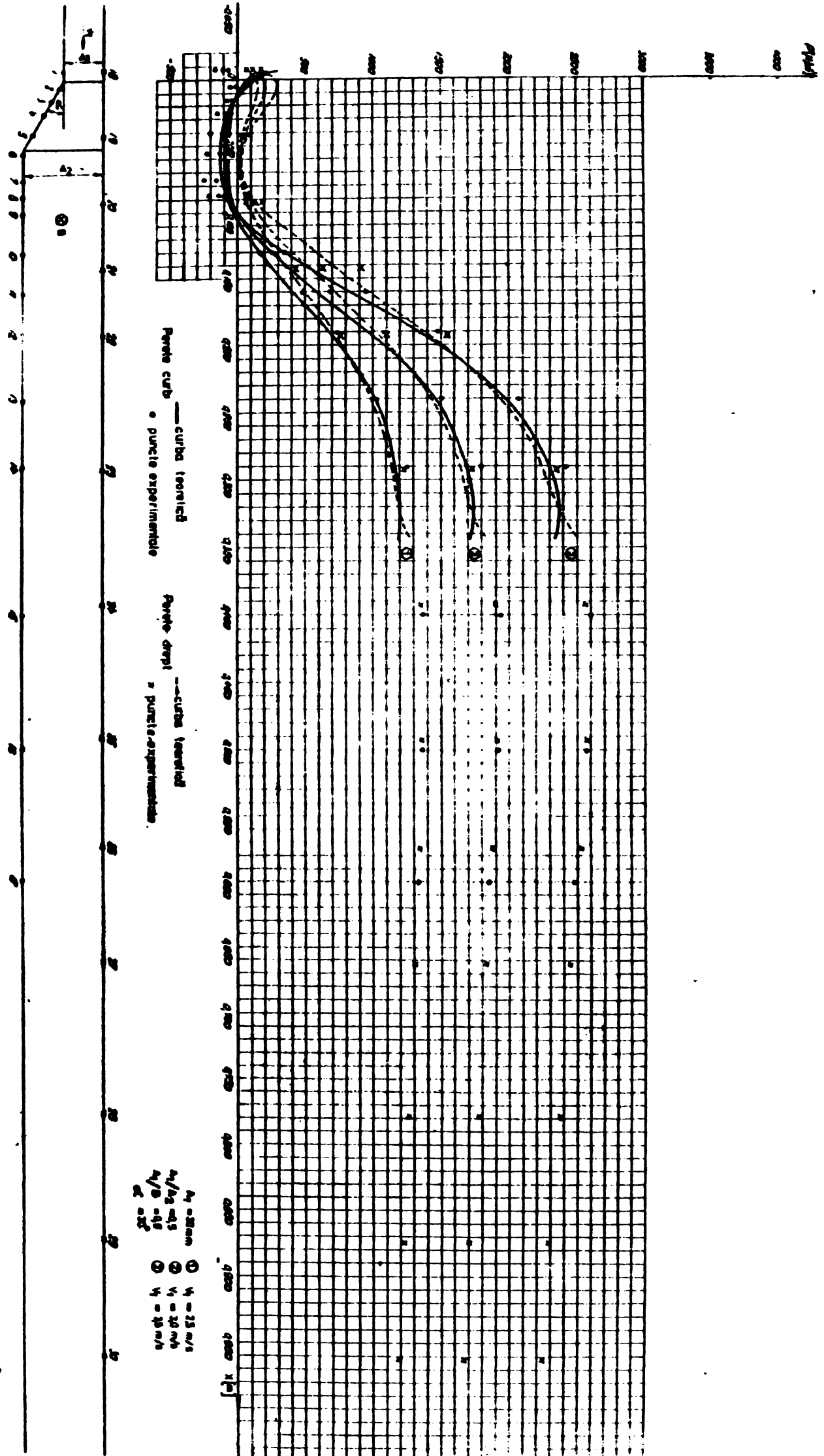


Fig. 10

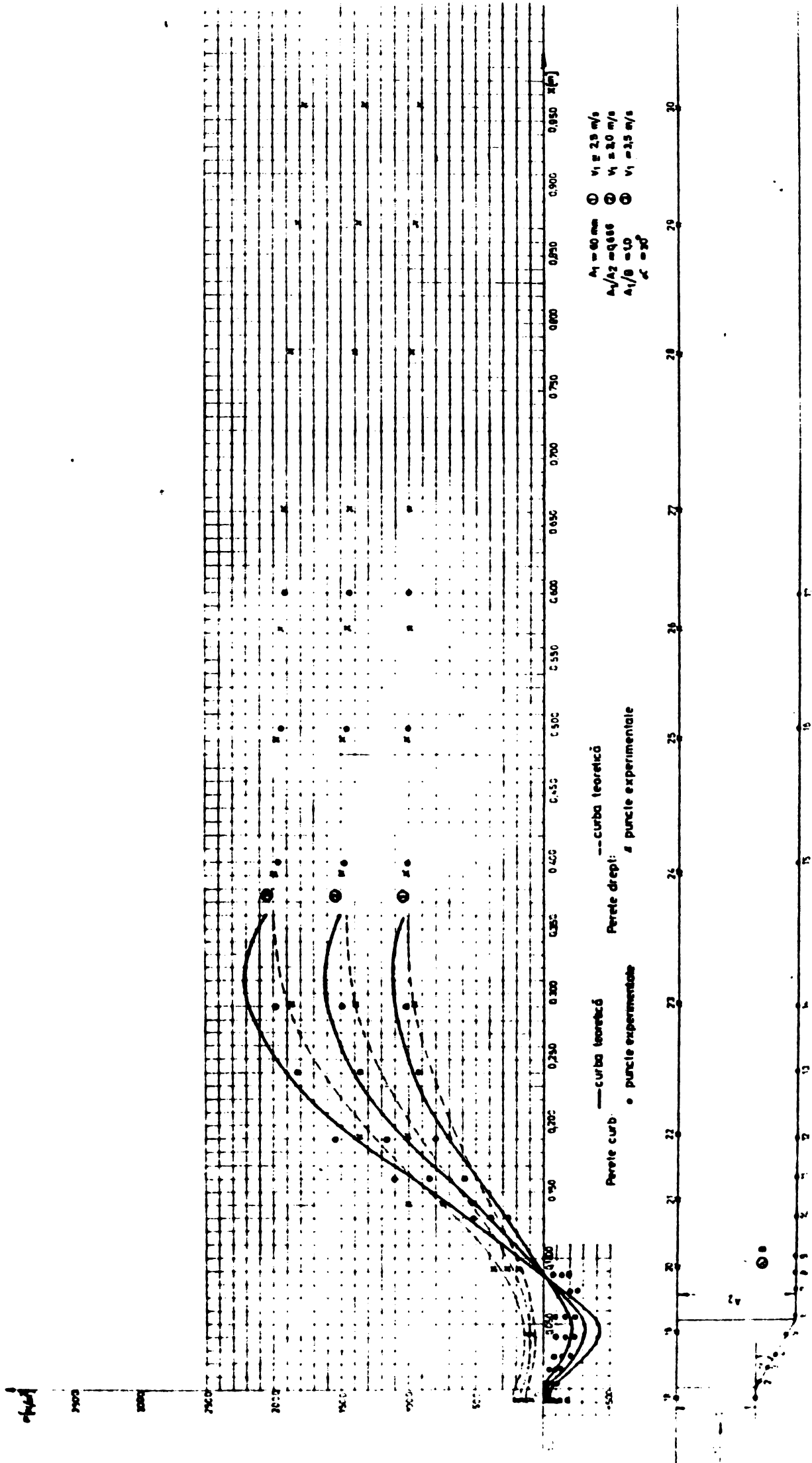


Fig. 10.21

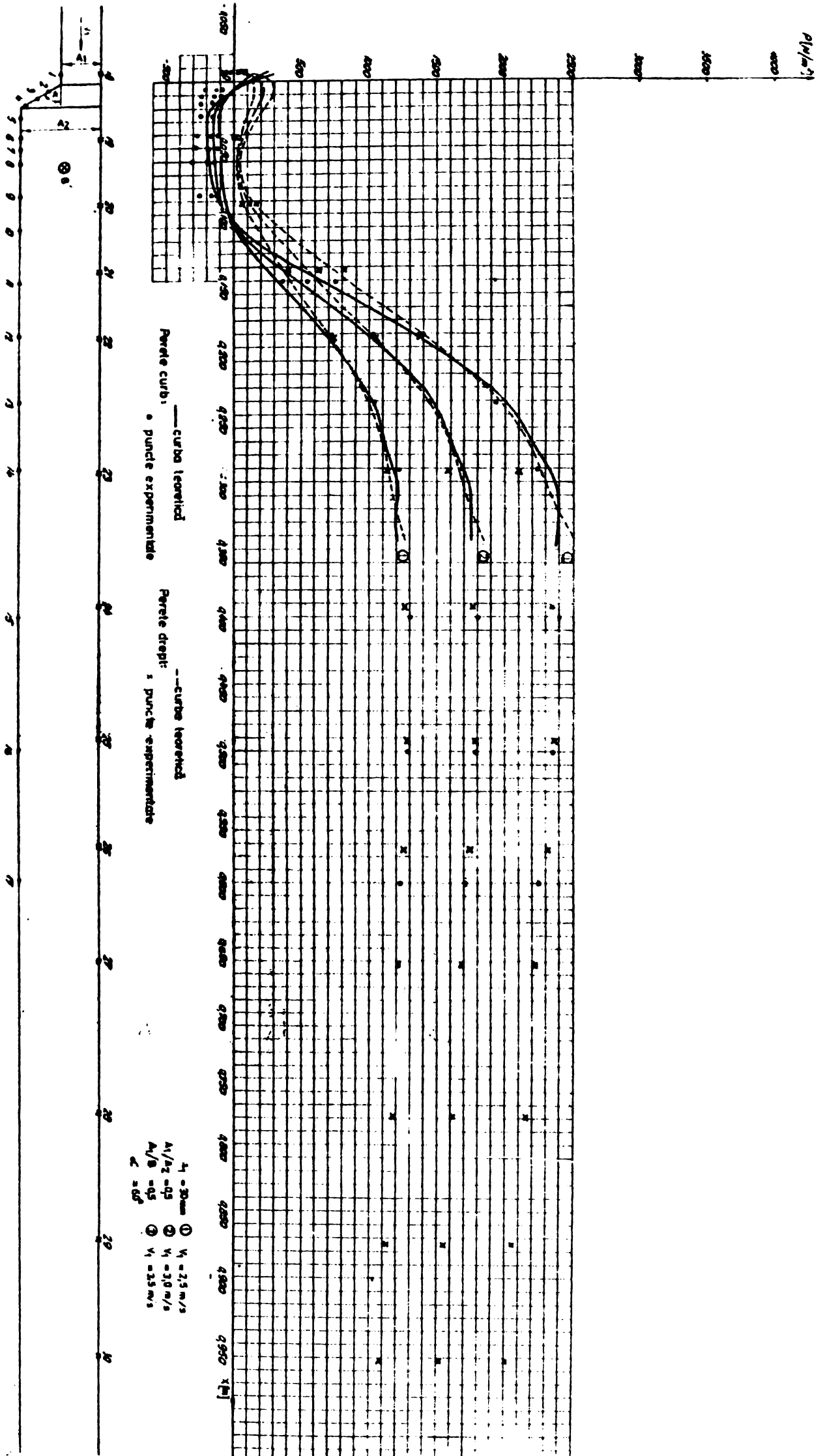


Fig. 1022

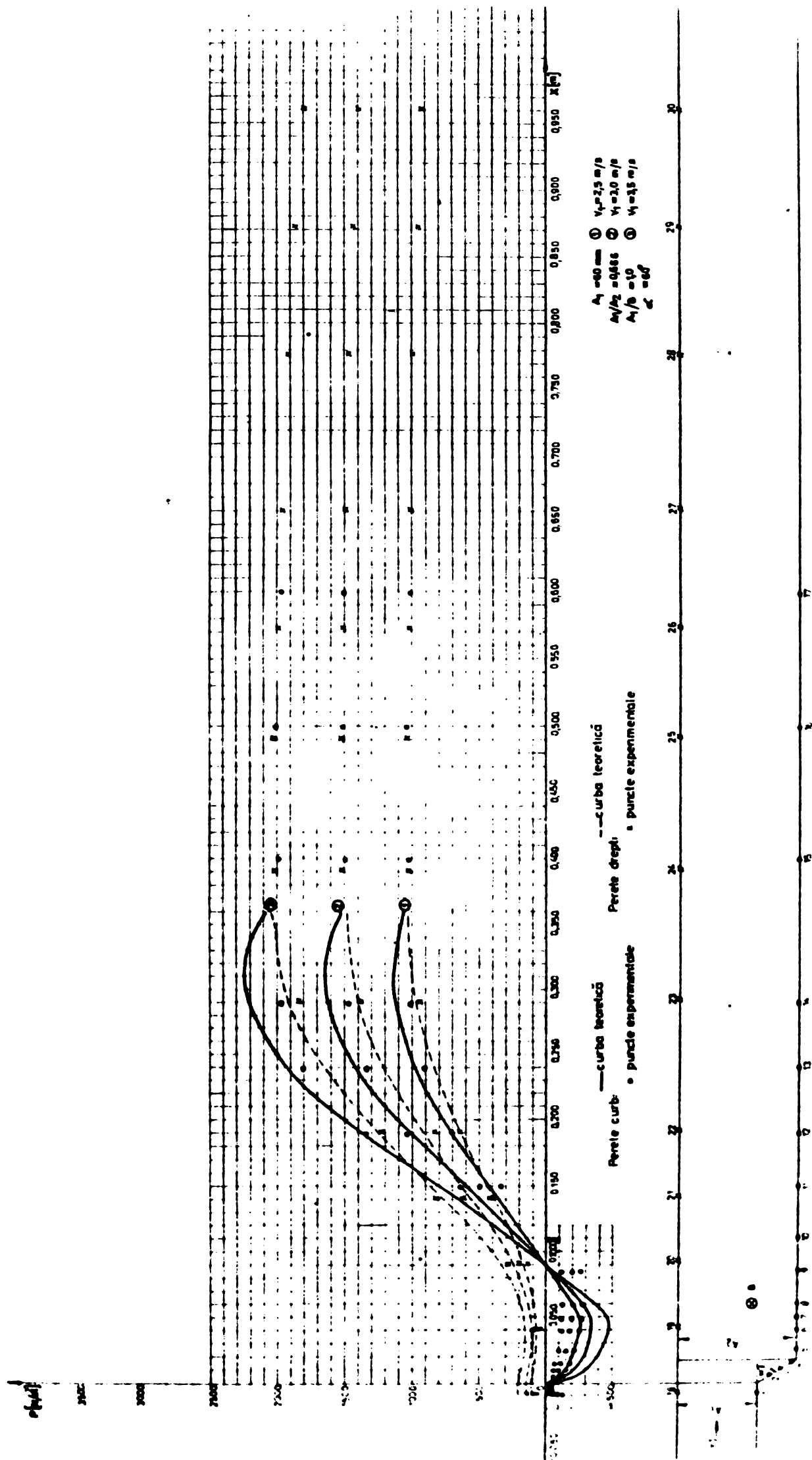


Fig.10.23

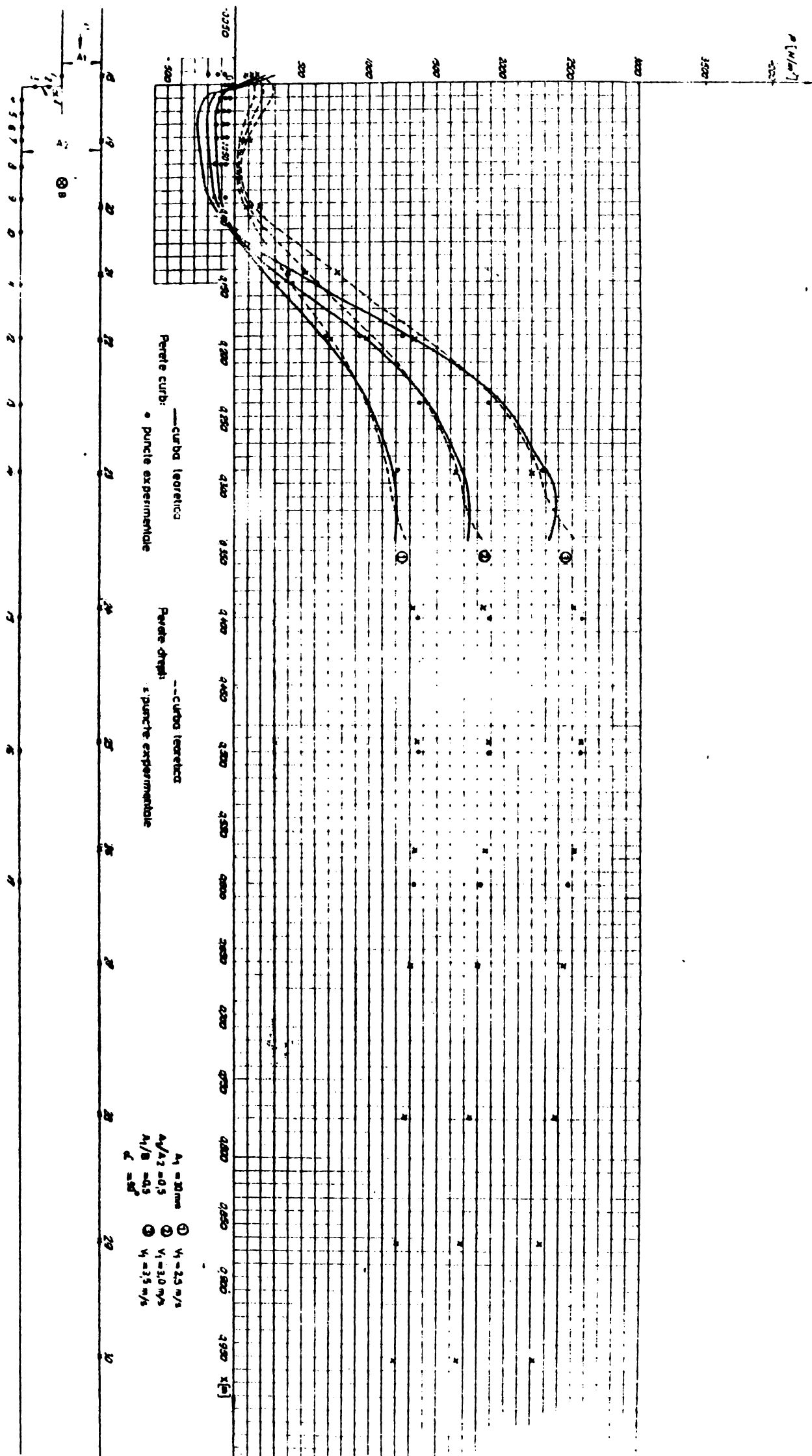


Fig. 10.24

Fig. 10.25

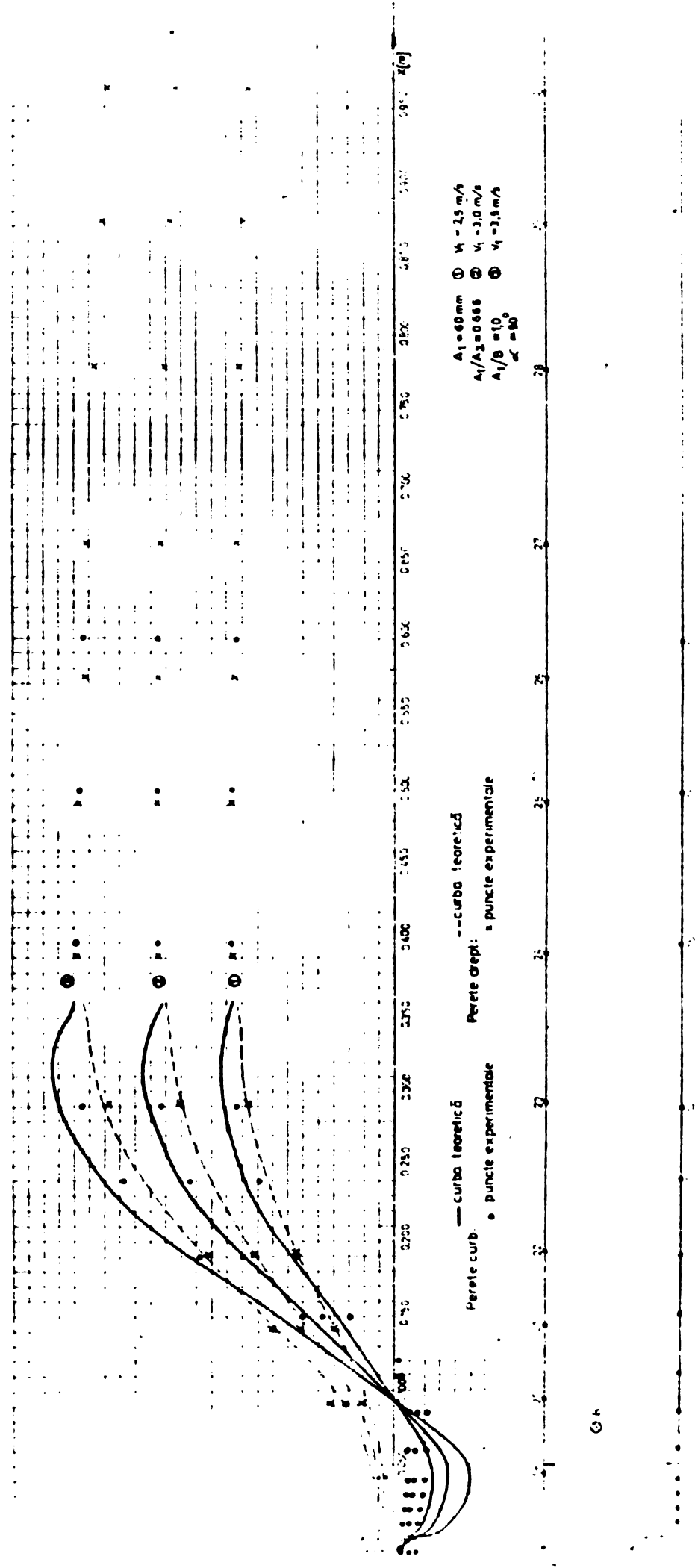


Fig. 10.25

A_1/A_2	0,5	0,666	
A_1/B	0,5	1,0	
λ	0,0281	0,0254	
α	6°	0,0826	0,0738
	10°	0,0498	0,0442
	30°	0,0159	0,0139
	60°	0,0066	0,0055
	90°	0,0026	0,0018

Tabelul 10.4

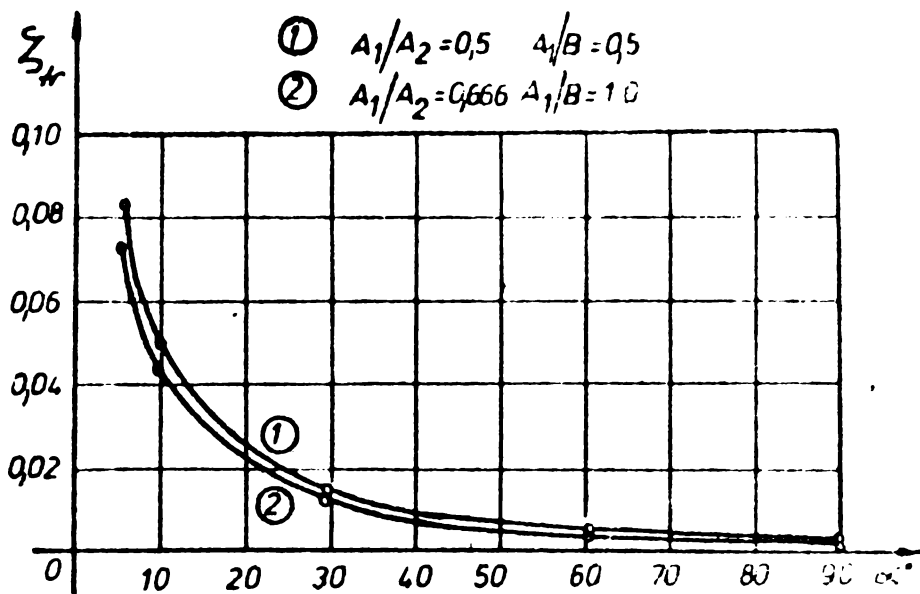


Fig 10.26

A_1/A_2	0,5	0,666	
A_1/B	0,5	1,0	
α	6°	0,1255	0,1115
	10°	0,1054	0,1000
	30°	0,3580	0,2470
	60°	0,3510	0,2430
	90°	0,3550	0,2430

Tabelul 10.5

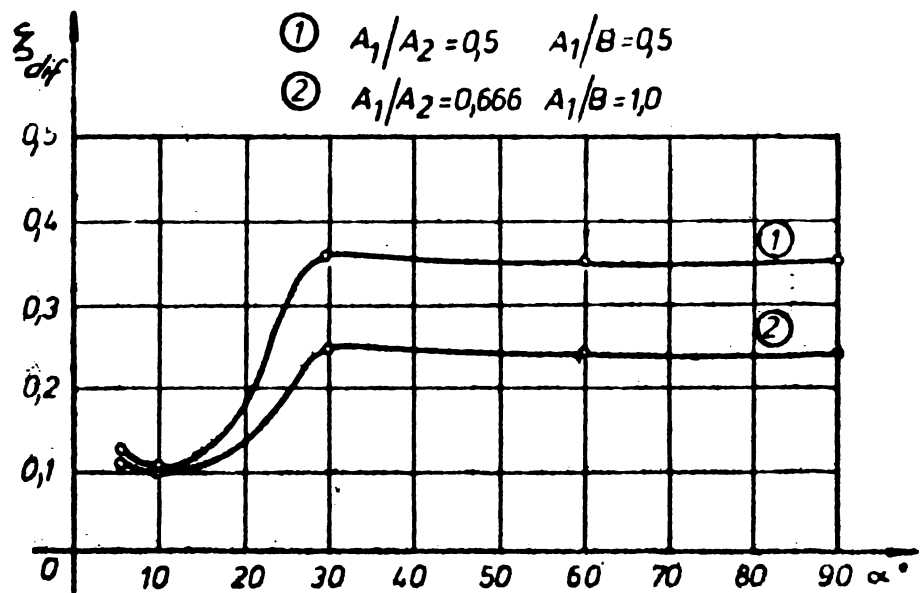


Fig 10.27

A_1/A_2	0,5	0,666	
A_1/B	0,5	1,0	
α	6°	0,0429	0,0377
	10°	0,0556	0,0558
	30°	0,3321	0,2331
	60°	0,3444	0,2375
	90°	0,3524	0,2412

Tabelul 10.6

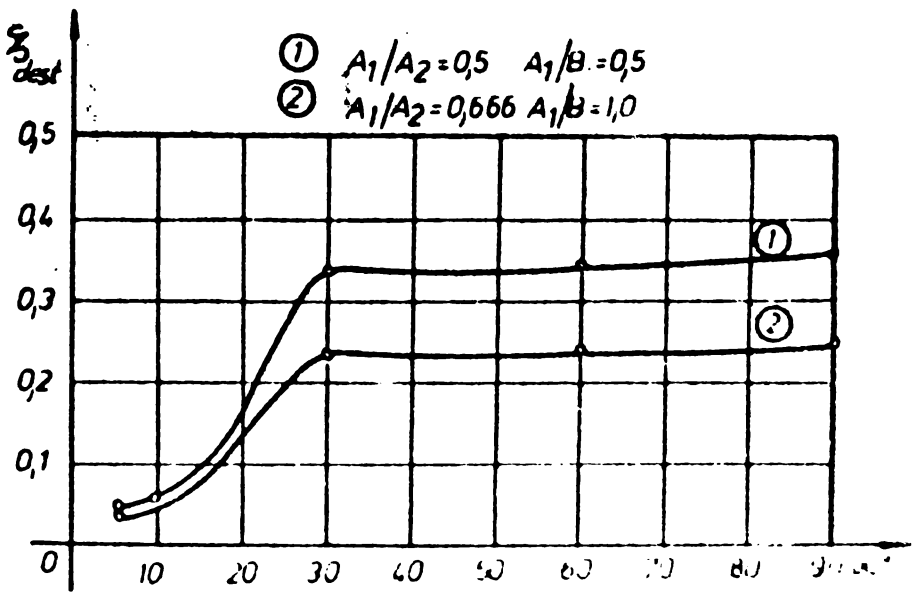


Fig 10.28

CAPITOLUL XI

CONCLUZII GENERALE

Lucrarea se înscrie printre preocupările actuale privind studiul difuzoarelor, încadrându-se în problematica actuală și de perspectivă a hidraulicii teoretice și aplicate.

Principalul scop urmărit în cadrul lucrării este construirea unui model fizico-matematic pentru studiul mișcării fluidelor reale incompresibile în regim turbulent prin semidifuzoare plane.

Motivele abordării studiului semidifuzoarelor plane au fost următoarele:

a. Având în vedere faptul că mișcarea fluidului real prin difuzoare este foarte complicată, în vederea construirii unui model fizico-matematic al mișcării, studiul difuzoarelor trebuie început cu acel tip de difuzor care din punct de vedere fenomenologic este cel mai simplu. În cazul semidifuzoarelor plane mișcarea fluidului este cea mai ordonată în raport cu mișcarea prin alte tipuri de difuzoare, datorită faptului că zona rotațională rămâne fixă, deci nu apare fenomenul de desprindere periodică a vârtejurilor și transportarea lor de curentul de fluid.

b. În literatura de specialitate consultată nu sînt semnalate lucrări legate de studiul acestor tipuri de difuzoare.

Principalele contribuții originale aduse, precum și unele concluzii ce se desprind pe marginea lor sînt următoarele:

1. Prin combinarea unor funcții de transformări simple cu transformări \wedge a fost construit modelul matematic care realizează transformarea conformă aproximativă a fișiiilor infinite lărgite local, respectiv a domeniilor mărginite de linii poligonale curbe închise pe semiplanul superior.

Funcțiile de transformare aproximative construite permit studiul și altor probleme din domeniul mecanicii fluidelor, cum ar fi de exemplu: difuzoarele plane, mișcarea fluidelor în structuri permeabile care au forma unor fișii infinite, lărgite local, ș.a.

Aceste funcții de transformare pot fi utilizate și în studiul unor probleme în domeniul rezistenței materialelor, termo-

tehnicii și electrotehnicii.

2. Pentru cazul semidifuzoarelor plane la care se produce desprinderea curentului a fost stabilită ecuația curbei de lărgire a domeniului mișcării potențiale și a fost construit un model de mișcare în domeniul rotațional.

3. Prin analiza fenomenologică și prin comparație cu rezultatele experimentale proprii au fost separate tipurile de pierderi energetice și stabilite legile lor de variație în cazul mișcării fluidelor reale incompresibile în regim turbulent prin semidifuzoare plane.

Modelul energetic adaptat poate fi utilizat (cu modificările și completările necesare) și la studiul altor tipuri de difuzoare.

4. Au fost stabilite formulele de calcul pentru funcția de presiune în ipoteza fluidului real incompresibil în regim turbulent, care permit cunoașterea distribuției reale a presiunii pe pereții semidifuzoarelor plane.

5. Au fost determinate valorile coeficienților de pierderi ζ_{fr} , ζ_{dest} și ζ_{dif} , date inexistente în literatura de specialitate consultată pentru semidifuzoare plane.

Cunoașterea valorilor acestor coeficienți permite aprecierea globală energetică a semidifuzoarelor plane, ca elemente de rezistență hidraulică individuală.

6. Pentru funcțiile de transformare aproximative, respectiv pentru funcțiile de presiune au fost întocmite schemele logice, respectiv programele de calcul în limbajul FORTRAN și rulate pe calculatorul FELIX C-256.

Realizarea acestor programe asigură precizia și rapiditatea calculului.

7. A fost proiectată, construită și experimentată o instalație originală pentru studiul semidifuzoarelor plane.

Instalația realizată permite continuarea cercetărilor experimentale și extinderea lor asupra altor tipuri de semidifuzoare plane.

Modelul fizico-matematic construit în cadrul lucrării se poate considera numai ca un prim model cinematic și energetic a mișcării fluidelor reale incompresibile în regim turbulent prin semidifuzoare plane care poate fi adâncit și îmbunătățit în lucrările viitoare.

Majoritatea rezultatelor obținute în cadrul lucrării au constituit obiectul a două comunicări intitulate: "Contribuții la studiul mișcării fluidului ideal incompresibil în semidifuzoare plane", "Contribuții la studiul energetic a mișcării fluidului real incompresibil în semidifuzoare plane, regim turbulent", care au fost prezentate în cadrul colocviului de Mecanica Fluidelor din 26-27 nov.1977 organizat de Societatea de Științe Matematice la Cluj-Napoca.

Aceste comunicări sînt semnalate în cadrul recenziei asupra colocviului de către academicianul Caius Iacob în Gazeta Matematică, Nr.12, 1977.

BIBLIOGRAFIE

- [1]. ABRAMOVICI G.N.: Teoria turbulenței aștrui. Gosudarstvennoe Izdatelstvo Fiziko-Matematicheskoi Literatury, Moskva, 1960.
- [2]. ALBRING W.: Angewandte Strömungslehre. Verlag Theodor Steinkopff, Dresden, 1970.
- [3]. ANGHEL A.: Contribuție la studiul pierderilor în tuburile de aspirație ale turbinelor. Bul.șt.și tehn.al IPT, Seria nouă, Tom 11(25), Fasc.1, 1966.
- [4]. ANTON I., ANGHEL A.: Studiul câmpurilor de presiune și viteze în tuburile de aspirație ale turbinelor hidraulice. Bul.șt.și tehn.al IPT, Seria nouă, Tomul 14(28), Fasc.1, 1969.
- [5]. ALCÁRAZ E., CHARNAY G., MATHIEU J.: Caracteristiques turbulentes d'un jet évoluant le long d'une paroi convexe à rayon de courbure constant. Comptes Rendus Acad.Sc.Paris, t.280, Série B, 5 mai 1975.
- [6]. ALCÁRAZ E., CHARNAY G., MATHIEU J.: Bilans de L'énergie cinétique turbulente dans un jet évoluant le long d'une paroi convexe à rayon de courbure constant. Comptes Rendus Acad.Sc.Paris, t.280, Série B, 26 mai 1975.
- [7]. BABB A.F., AMORÓCHO J.: Mean energy in gradually diverging flow. Journal of the hydraulics division, May 1976.
- [8]. BARGLAZAN A., PREDA I., POPOVICI M., POPA D.: Noi forme de tuburi de aspirație pentru turbinele hidraulice. Bul.St,și tehn.al IPT, Seria nouă, Tomul 2 (16), Fasc.1., 1957.
- [9]. BARGLAZAN A., PREDA I., POPOVICI M., AVED I.: Incercarea tuburilor de aspirație în aer. Bul.șt.și tehn.al IPT, Seria nouă, Tomul 4(18), Fasc.1-2, 1959.
- [10]. BARGLAZAN A., PREDA I., POPOVICI M.: Cercetări experimentale în apă asupra a trei tuburi de aspirație. Bul.șt. și tehn. al IPT, Seria nouă, Tomul 5 (19), Fasc. 1-2, 1960.

- [11]. BRUIATKII E.V.: Rasciot graniț vodovorotnoi oblasti pri vnezapnom plavnom rassirenii turbulentnovo potoka. Ghidromehanika, Vîpusk 34, Kiev, Naukova Dumka, 1976.
- [12]. BUSELI A.R.: Issledovanie korotkih radialnyh i kombinirovannyh diffuzorov. Promîşlennaiia aerodinamika, Vîpusk 28, Izdatelstvo Masinostroenie, Moskva, 1966.
- [13]. CARAFOLI E., OROVEANU T.: Mecanica fluidelor Vol.II. Editura Academiei R.P.R., 1955.
- [14]. CARLSON J.J., JOHNSTON J.P., SAGI C.J.: Effects of Wall Shape on Flow Regimes and Performance in Straight, Two-Dimensional Diffusers. Transactions of the ASME, Journal of Basic Engineering, March 1967.
- [15]. CHANG P.K.: Separation of Flow. Pergamon Press, 1971.
- [16]. CRETA G.: Contribuții la studiul teoretic al curgerii prin ajutaje convergent - divergente. Comunicările Conf.de Mașini Hidraulice din septembrie 1964, Partea II, Timișoara.
- [17]. CRETA G., BOZAN GH.: Caracteristicile geometrice și funcționale ale unor ajutaje convergent - divergente. Bul.șt.și tehn. al IPT, Seria nouă, Tom 12(26), Fasc.1, 1967.
- [18]. CRETA G. : Incercarea în tunelul aerodinamic cu vînt liberă a unui ajutaj convergent - divergent de secțiune circulară. Bul.șt.și tehn. al IPT, Seria mecanică, Tomul 15 (29), Fascicola 1, 1970.
- [19]. CRETA G., NEGREA V.: Cercetări experimentale privind vizualizarea liniilor de curent la ventilele de admisie ale turbinelor cu abur. Bul.șt.și tehn.al IPT, Seria mecanică, Tomul 17 (31), Fascicola 1, 1972.
- [20]. CRETA G.: Despre caracteristicile geometrice și funcționale ale ventilelor cu difuzor ale turbinelor cu abur. Bul.șt.și tehn.al IPT, Seria mecanică, Tomul 17 (31), Fascicola 2, 1972.

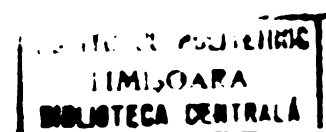
- [21]. CRETA G., BOZAN GH., NEGREA V.: Determinarea cîmpului de viteze în zona secțiunii minime a unui ventil cu difuzor. Bul.șt.și tehn.al IPT, Seria mecanică, Tomul 19(33), Fascicola 2, 1974.
- [22]. DEICI M.E., ZARIANKIN A.E.: Gazodinamika diffuzorov i vîhlopnîh patrubkov turbomasin. Energhia, Moskva, 1970.
- [23]. DORFMAN A.S., SAIKOVSKII M.I.: Priblijennii metod rasciota poteri v krivolineinîh diffuzorah pri otrivnîh teceniiah. Promîslennaia aerodinamika, Vîpusk 28, Izdatelstro Masinostroenie, Moskva, 1966.
- [24]. DORFMAN L.A.: Cislennie metodî v gazodinamike turbomasin. Energhia, Leningradskoe otdelenie, 1974.
- [25]. FILCIAKOV P.F.: Priblijennie metodî konformnîh otobrajenii. Naukova Dumka, Kiev, 1964.
- [26]. GHEORGHIU V. Studiul hidraulic al golirilor Venturi pentru baraje. Bul. șt.și tehn. al IPT, Seria nouă, Tom 8(22), Fasc.1, 1963.
- [27]. GHEORGHIU V., NICOARA T.: Contribuții teoretice și experimentale la dimensionarea hidraulică a golirilor Venturi pentru baraje. St.cerc.mec.aplic., Nr.2, Tomul 21, 1966.
- [28]. GHEORGHIU V., NICOARA T.: Proiectarea golirilor convergent-divergente (tip Venturi). Bul.șt.și tehn.al IPT, Seria nouă, Tom 12(26), Fasc.1, 1967.
- [29]. GHEORGHIU V., NICOARA T.: Studiul hidraulic al unui difuzor hiperbolic de secțiune rectangulară. Bul.șt.și tehn. al IPT, Seria nouă, Tom 14(28), Fasc.1, 1969.
- [30]. GHILIAZOVA N.S., KARATAEV R.N.: Obtekanie ovala potentsialnîm potokom idealnoi jidkostii v ploskom diffuzore. Aviaçionnaia tehnika, Nr.2, 1975.
- [31]. GHINEVSKII A.S.: Teoriia turbulentnîh strui i sledov. Izdatelstvo Masinostroenie, Moskva, 1969.

- [32]. GOGHIS L.V., STEPANOV G.IU.: Otrivnoe obtekanie ustupa s obrazovaniem turbulentnovu sleda. *Mehanika jidkosti i gaza*, Nr.3, 1977.
- [33]. IDELCIK I.E.: Aerodinamika potoka i poterii napora v diffuzorah. *Promislennaia aerodinamika*, Vypusk 3, Moskva, 1947.
- [34]. IDELCIK I.E.: Ghidrovlicheskie soprotivleniia. Gosenergoizdat, Moskva - Leningrad, 1954.
- [35]. IDELCIK I.E.: Spravocinik po ghidrovlicheskim soprotivleniam. Gosenergoizdat, Moskva-Leningrad, 1960.
- [36]. IRWIN H.P.A.H., SMITH P.A.: Prediction of the effect of Streamline curvature on turbulence. *The Physics of Fluids*, Vol.18, Nr.6, June 1975.
- [37]. LAVRENTEV M.A., SABAT B.V.: Problemi ghidrodinamiki i ih matematicheskie modelii. Izdatelstvo Nauka, Moskva, 1973.
- [38]. MITROPOLSKII A.K.: Tehnika statisticeskih vcislenii. Izdatelstvo Nauka, Moskva, 1971.
- [39]. MÜLLER H.P.: Experimentelle Untersuchungen an Kegeldiffusoren einer mehrstutzigen Radialverdichterspirale. *Brennst.-Wärme-Kraft* 28 (1976) Nr.3, März.
- [40]. NICULESCU ST.: Inițiere în FORTRAN. Editura Tehnică, București, 1972.
- [41]. OROVEANU T.: Mecanica fluidelor viscoase. Editura Academiei R.S.R., București, 1967.
- [42]. POVINELLI L.A.: An Experimental and Analytical Investigation of Axisymmetric Diffusers. *AIAA JOURNAL*, Vol.14 Nr.9, September, 1976.
- [43]. RENEAU L.R., JOHNSTON J.P., KLINE S.J.: Performance and Design of Straight, Two-Dimensional Diffusers. *Transactions of the ASME, Journal of Basic Engineering*, March 1967.
- [44]. RICHTER H.: Rohrhydraulik. Springer - Verlag, 1958.
- [45]. SCHLICHTING H.: Grenzschicht - Theorie. Verlag G.Braun, 1965.

- [46]. SELEZNEV V.M., FILCIAKOV V.V.: Obščie uravnenia turbulent-
nih strui i ih rešenie s ispolzovaniem EVM.
Ghidromehanika, Vîpusk 34, Kiev, Naukova Dumka,
1976.
- [47]. SHARAN V.KR.: An Exponential Investigation of the Behaviour
of Conical Diffusers in Turbulent Flow. Journal
of Applied Mathematics and Physics (ZAMP), Vol.27,
1976.
- [48]. TODICESCU AL., TURZO G.: Studii privind randamentul difu-
zorilor plane pentru lichide. Bul.I.P. Brasov,
seria A mecanică, vol.XII.1970.
- [49]. TRUCKENBRODT E.: Strömungsmechanik. Springer-Verlag, 1968.
- [50]. VAGRAMENKO IA.A.: Induĭirovannŭe teceniia vne strui,
protekaiuščih cerez proem. Prikladnaia mehanika,
Tom XIII, Nr.3. 1977.

C U P R I N S

PREFATA	1
LISTA PRINCIPALELOR SIMBOLURI SI NOTATII FOLOSITE IN LUCRARE	3
CAPITOLUL I	
INTRODUCERE	5
1.1 Stadiul actual al studiului mișcării fluidelor reale incompresibile în difuzoare	5
1.2 Modelul fizic al mișcării fluidelor reale incompresibile prin semidifuzoare plane	7
CAPITOLUL II	
TRANSFORMAREA CONFORMA APROXIMATIVA A UNUI DOMENIU APROXIMATIV SEMIPLAN PE SEMIPLANUL SUPERIOR (METODA TRANSFORMARILOR \wedge SUCCESIVE).....	10
2.1 Transformarea conformă a unui domeniu semiplan cu o decupare sub forma unui segment de cerc pe semiplanul superior	10
2.2 Transformarea conformă aproximativă a unui domeniu aproximativ semiplan pe semiplanul superior prin metoda transformărilor \wedge succesive....	12
CAPITOLUL III	
STUDIUL MISCARII FARA DESPRINDERE A FLUIDULUI IDEAL INCOMPRESIBIL IN SEMIDIFUZOARE PLANE	16
3.1 Transformarea conformă aproximativă a unei figii lărgită local pe semiplanul superior	16
3.2 Calculul mărimilor geometrice și cinematice ale mișcării fără desprindere a fluidului ideal incompresibil în semidifuzoare plane	18
CAPITOLUL IV	
STUDIUL MISCARII CU DESPRINDERE A FLUIDULUI IDEAL INCOMPRESIBIL IN SEMIDIFUZOARE PLANE	21
4.1 Determinarea ecuației curbei de lărgire a domeniului mișcării potențiale	21



4.2 Studiul mișcării în zona potențială a semidifuzorului plan cu desprindere	23
4.3 Studiul mișcării în zona rotațională a semidifuzorului plan cu desprindere	23
4.3.1 Considerații generale	23
4.3.2 Transformarea conformă aproximativă a domeniului mișcării rotaționale pe semiplanul superior	26
4.3.3 Studiul mișcării în planul fizic al zonei rotaționale	34
CAPITOLUL V	
SCHEME LOGICE PENTRU STUDIUL MIȘCĂRII FLUIDULUI IDEAL INCOMPRESIBIL ÎN SEMIDIFUZOARE PLANE	
5.1 Schema logică - zona mișcării potențiale	41
5.2 Schema logică - zona mișcării rotaționale	42
CAPITOLUL VI	
LEGEA DE VARIATIE A PRESIUNII ÎN SEMIDIFUZOARE PLANE PENTRU FLUIDUL REAL INCOMPRESIBIL ÎN MIȘCARE TURBULENTĂ, FĂRĂ DESPRINDERE	
6.1 Considerații generale	63
6.2 Funcția de presiune DPF (tip frecare cilindrică)	63
6.3 Funcția de presiune DPD (tip divergență)	64
6.4 Funcția de presiune DPP (tip Pearson)	66
CAPITOLUL VII	
LEGEA DE VARIATIE A PRESIUNII ÎN SEMIDIFUZOARE PLANE PENTRU FLUIDUL REAL INCOMPRESIBIL, ÎN MIȘCARE TURBULENTĂ, CU DESPRINDERE	
7.1 Considerații generale	68
7.2 Funcția de presiune DPF (tip frecare cilindrică)	68
7.3 Funcția de presiune DPD (tip divergență)	69
7.4 Funcția de presiune DPP (tip Pearson)	70
7.5 Funcția de presiune DPF1 (tip frecare cilindrică)	70
7.6 Funcția de presiune DPF2 (tip frecare cilindrică)	70
7.7 Funcția de presiune DPR (tip rotațional)	71
7.8 Corecțiile de viteză	72

CAPITOLUL VIII

SCHEME LOGICE PENTRU CALCULUL FUNCȚIEI DE PRESIUNE A
MISCĂRII ÎN REGIM TURBULENT A FLUIDULUI REAL INCOM-
PRESIBIL PRIN SEMIDIFUZOARE PLANE..... 75

8.1 Schema logică - funcția de presiune, semidifuzor
fără desprindere 76

8.2 Schema logică - funcția de presiune, semidifuzor
cu desprindere 77

CAPITOLUL IX

DETERMINAREA COEFICIENTILOR DE REZISTENȚĂ HIDRAULICĂ
ÎN CAZUL SEMIDIFUZOARELOR PLANE..... 79

9.1 Generalități 79

9.2 Determinarea coeficientului ξ_{fr} 79

9.3 Determinarea coeficienților ξ_{dif} și ξ_{dest} 82

CAPITOLUL X

CERCETĂRI EXPERIMENTALE ASUPRA SEMIDIFUZOARELOR PLANE 83

10.1 Instalația experimentală 83

10.2 Cercetări experimentale 85

CAPITOLUL XI

CONCLUZII GENERALE 101

BIBLIOGRAFIE 104